

الجمهورية العربية السورية جامعة حماة كلية الطب البيطري قسم التشريح المرضي

التأثيرات السمية للبروديفاكوم في أنسجة الكبد والكلى والصورة التأثيرات الدموية لدى دجاج اللحم

رسالة أعدت لنيل درجة الماجستير في العلوم الطبية البيطرية

اختصاص الطب الشرعي

لطالبة الدراسات العليا

حنين محمود الراشد

بإشراف:

أ.د. سمير حمود

(مُشرفاً مشاركاً)

أستاذ في قسم علم الحياة كلية العلوم - جامعة البعث

د. واصف الوسوف

(مُشرفاً علمياً)

مدرس في قسم التشريح المرضي كلية الطب البيطرى - جامعة حماة

Syrian Arab Republic Hama Universit



الجمهورية العربية السورية جـامعـــة حمـــاة كـليــة الطـــب الـبــيـطرى

Faculty of Veterinary.-Medicine

هاتف: ۱۰۱۰۱۸۰ _ ۲۰۱۰۱۸۱ _ ۱۰۹۳۳۳۰۰ _ فاکس: ۱۰۹۳۳۳۲۰۱۰۱۴ . برید الکترونی: vet-med@net.sy

التصنيف:

الرقم:

الموضوع:

التاريخ:

الأستاذ الدكتوس عميد كلية الطب البيطري

بعد الاطلاع على الأطروحة المعدلة من رسالة الماجستير المقدمة من قبل المرشحة لنيل درجة الماجستير في العلوم الطبية البيطرية طالبة الدراسات العليا حنين الراشد (المعيدة الموفدة داخلياً) في قسم التشريح المرضي اختصاص (الطب الشرعي) بعنوان:

" التأثيرات السمية للبروديفاكوم في أنسجة الكبد والكلى والصورة الدموية لدى دجاج اللحم "

نفيدكم بأن الأطروحة بشكلها الحالي قد استوفت التعديلات التي أشارت لها لجنة الحكم والمناقشة التي عقدت يوم الأربعاء بتاريخ ٣٠/ ٨/ ٢٠٢٣ لمناقشة الرسالة، ونعتبر أن الرسالة بهذه الصورة جاهزة للطباعة بشكلها النهائي.

يرجى التكرم بالإطلاع

7.77//

ارد. سمر حمود

عضو و کی کرر ام.د. ودیع شدید

د. طلة قنبر

رئيس قسم التشريح المرضي

الدكتور واصفكرالوسوف 🗸

محرق عميه الكلية/

الإستان الدكتور اعبد العريم قلب ال

Syrian Arab Republic Hama Universit



الجمهورية العربية السورية جامعسة حمساة كليسة الطسب البيطرى

Faculty of Veterinary.-Medicine

هاتف: ۱۰۱۰۱۸۰ _ ۲۰۱۰۱۸۱ _ فاکس: ۱۰۱۰۱۰۱۸۱ _ فاکس: ۱۰۱۰۱۲۳۳۲۰۱ _ برید الکترونی: vet-med@net.sy

التصنيف:

التاريخ:

الرقم:

الموضوع:

قرإم بجنة انحكم والمناقشة

استناداً إلى قرار مجلس الشؤون العلمية بجامعة حماه رقم (٤٧٠) المتخذ بالجلسة رقم (٢٢) للعام الدراسي ٢٠٢٢ – ٢٠٢٣ المنعقدة بتاريخ /٣٠/ ذو الحجة ١٤٤٤ هـ والموافق ١٨ /٧/ ٢٠٢٣ القاضي بتشكيل لجنة والمناقشة لرسالة الماجستير للطالبة حنين الراشد (المعيدة الموفدة داخلياً) بعنوان:

" التأثيرات السمية للبروديفاكوم في أنسجة الكبد والكلى والصورة الدموية لدى دجاج اللحم "

وبعد عرض الرسالة وسردها ومناقشتها ،اجتمعت لجنة الحكم والمناقشة بتاريخ ٣٠/ ٨/ ٢٠٢٣ وبعد المداولة قررت اللجنة ترشيح طالبة الدراسات العليا حنين الراشد لنيل درجة الماجستير في العلوم الطبية البيطرية اختصاص (الطب الشرعي) بتقدير عام (امتياز) وبدرجة (٩١٠١).

وتوصى اللجنة بصرف تكاليف طباعة الأطروحة على نفقة الجامعة نظراً للجهد الذي بذلته الطالبة والتكاليف التى تكبدتها إضافة إلى تناولها موضوعاً حساساً من الناحية الاقتصادية في القطر.

أعضاء اللجنة:

أ.د. سمير حمود اختصاص طبب شرعي كليسة العلوم – جامعة البعث

أ.م.د. وديــــع شــديد اختــصاص التشــريح المرضي كليــة الطب البيطري- جامعة حمـاه



see 83



شهادة

أشهد بأنَّ هذا العمل الموصوف في هذه الرسالة، هو نتيجة بحث قامت به المُرشَّحة الطَّبيبة البيطريَّة: حنين محمود الراشد؛ لنيل درجة الماجستير في العلوم الطَّبية البيطريَّة، باختصاص الطب الشرعي بإشراف الدَكتور: واصف الوسوف المدرس في قسم التشريح المرضي في كليّة الطّبّ البيطريّ في جامعة حماه، وبمشاركة الدّكتور: سمير حمود دكتوراه في الطب الشرعي الأستاذ في قسم علم الحياة في كليّة العلوم في جامعة البعث، وأيُّ رجوع إلى بحث آخر في هذا الموضوع مُوثَّق في النَّص.

المُرشَّحة المشرف العلمي المشرف المشارك حنين محمود الراشد د. واصف الوسوف أ.د. سمير حمود

التاريخ: 11/6/2023

Certificate

It is Hereby Certified that the Work Described in this Thesis is the Result of the Author's Own Investigation Vet Haneen Mahmoud Al Rashid specialization Forensic medicine, Under the Supervision of Dr. Wasef Al Wassouf Lecturer in the Department of Pathology, Faculty of Veterinary Medicine at the University of Hama, and Pro. Dr. Sameer Hammod Doctorate degree in Forensic medicine, Professor in the Department of Biology, Faculty of Science aet Al-Baath University, and any reference to other researcher work has been acknowledged in the paragraphs.

Candidate Supervision

Haneen Mahmoud Al Rashid Dr. Wasef Al Wassouf Pro. Dr. Sameer

Hammod

Date: 11/6/2023

تصريح

أُصرح بأنَّ هذا البَحث المَوسُوم بعنوان:

التأثيرات السمية للبروديفاكوم في أنسجة الكبد والكلى والصورة الدموية لدى دجاج اللحم

لم يَسبِق له أَن حصل على أيَّة شهادة في كليَّة أخرى، ولا هو مقدم حالياً للحصول على شهادة أخرى.

المُرشَّحة: حنين محمود الراشد

التاريخ: 11/6/2023

Declaration

It is Hereby Declared that this Work Under Title:

The Toxic Effects of Brodifacoum on the Tissues of Liver, Kidneys and Bloody Picture of Broiler Chicken

Has not already been accepted for any degree, nor is being submitted concurrently for any other degree.

Candidate: Haneen Mahmoud Al Rashid

Date: 11/6/2023

فهرس المحتويات				
الصفحة	الموضوع	الفصل		
1	ملخص البحث			
2	ملخص البحث باللغة العربية			
4	المقدمة وأهداف البحث	الفصل الأول		
5	المقدمة	1-1		
6	أهمية البحث	2-1		
6	أهداف البحث	3-1		
7	الدراسة المرجعية	الفصل الثاني		
8	مبيدات القوارض المضادة لتخثر الدم	1-2		
8	اكتشاف المبيدات مضادات التخثر وتطورها	2-2		
9	تصنيف مبيدات القوارض المضادة للتخثر	3-2		
9	البروديفاكوم	4-2		
10	الاسم والصيغة الجزيئية والهيكلية للبروديفاكوم	1-4-2		
11	الحرائكية السمية	2-4-2		
13	طرائق التعرض للمادة	5-2		
13	الجرعات السمية	6-2		
14	آلية العمل	7-2		
15	آلية تأثير البروديفاكوم	8-2		
16	التخثر	9-2		
19	تشخيص التعرض لمبيدات القوارض المضادة للتخثر	10-2		
20	المعالجة	11-2		
20	الأعراض المرضية للتسمم بالبروديفاكوم عند الحيوانات المختلفة	12-2		
23	مراجعة الجوانب النسيجية	13-2		
23	الكبد	1-13-2		
23	الكلى	2-13-2		
24	المكونات الخلوية لدم الطيور	3-13-2		
27	الدراسات التشريحية العيانية والنسيجية لحالات التسمم بالبروديفاكوم لدى	14-2		
	الحيوانات المختلفة			
29	الدراسات الفيزيولوجية الدموية	15-2		

32	مواد وطرائق العمل	الفصل الثالث
33	حيوانات التجربة	1-3
33	المادة المستخدمة في التجربة	2-3
34	تصميم التجربة	3-3
34	حساب الجرعة	4-3
36	دراسة الأعراض المرضية المشاهدة على طيور التجربة	5-3
36	دراسة التغيرات التشريحية المرضية العيانية والنسيجية في الكبد والكلى	6-3
36	جمع عينات الدم	7-3
37	تعيين زمن تخثر الدم	1-7-3
37	التعداد الكلي لخلايا الدم الحمر	2-7-3
38	التعداد الكلي لخلايا الدم البيض	3-7-3
40	التعداد التفريقي لخلايا الدم البيض	4-7-3
40	مكداس الدم	5-7-3
41	عد الصفيحات الدموية	6-7-3
42	الفحص النسيجي	8-3
42	التحليل الإحصائي	9-3
43	النتائج	الفصل الرابع
44	الأعراض المرضية الظاهرة على الطيور (قبل الذيح)	1-4
45	التغيرات التشريحية المرضية العيانية	2-4
45	التغيرات التشريحية المرضية العِيانية في الكبد	1-2-4
48	التغيرات التشريحية المرضية العِيانية في الكلى	2-2-4
51	التغيرات العِيانية في أكباد وكلى الطيور النافقة	3-2-4
52	التغيرات التشريحية المرضية العيانية الأخرى المسجلة خلال هذه الدراسة	4-2-4
54	التغيرات التشريحية المرضية المجهرية	3-4
54	التغيرات التشريحية المرضية المجهرية في الكبد	1-3-4
59	التغيرات التشريحية المرضية المجهرية في الكلى	2-3-4
63	التغيرات التشريحية المرضية المجهرية لدى الطيور النافقة	3-3-4
64	تغيرات الصورة الدموية الناتجة عن التسمم بالبروديفاكوم	4-4
66	تأثير البروديفاكوم في العدد الكلي لخلايا الدم الحمر	5-4

67	تأثير البروديفاكوم في العدد الكلي لخلايا الدم البيض	6-4
69	تأثير البروديفاكوم في العد التفريقي لكريات الدم البيض	7-4
69	اللمفاويات	1-7-4
70	المستغيرات	2-7-4
71	الحمضات	3-7-4
73	الأسسات	4-7-4
74	الوحيدات	5-7-4
75	تأثير البروديفاكوم في عدد الصفيحات الدموية	8-4
77	تأثير البروديفاكوم في مكداس الدم	9-4
78	تأثير البروديفاكوم في زمن التخثر	10-4
80	المناقشة	الفصل الخامس
81	الأعراض المرضية الظاهرة (قبل الذبح)	1-5
82	التغيرات التشريحية المرضية	2-5
82	الكبد	1-2-5
85	الكلى	2-2-5
86	التغيرات الدموية	3-5
90	الاستنتاجات	الفصل السادس
91	الاستنتاجات	6
92	التوصيات	الفصل السابع
93	التوصيات	7
94	المراجع المراجع	الفصل الثامن
95	المراجع	8
113	ملخص البحث باللغة الإنكليزية	

	قائمة الجداول	
الصفحة	عنوان الجدول	الرقم
14	الجرعات السامة عند الكائنات الحية المختلفة	1
34	تقسيم مجموعات التجربة والجرعات المستخدمة في كل منها	2
35	حساب جرعات البروديفاكوم الواجب إعطائها لكل طائر من طيور مجموعات التجربة	3
66	(TRBCs) متوسط $ar{x}$ قيم العدد الكلي لخلايا الدم الحمر	4
68	(TWBCs) متوسط $ar{x}$ قيم العدد الكلي لخلايا الدم البيض	5
69	متوسط $ar{x}$ تعداد اللمفاويات	6
70	متوسط $ar{x}$ تعداد المستغيرات	7
72	متوسط $ar{x}$ تعداد الحمضات	8
73	متوسط $ar{x}$ تعداد الأسسات	9
74	متوسط $ar{x}$ تعداد الوحيدات	10
76	متوسط $ar{x}$ قيم العدد الكلي للصفيحات الدموية (PLT)	11
77	(PCV) متوسط $ar{x}$ قيم مكداس الدم	12
79	(CT) متوسط $ar{x}$ قيم زمن تخثر الدم	13

قائمة المخططات البيانية			
الصفحة	عنوان المخطط	الرقم	
67	العدد الكلي لخلايا الدم الحمر (TRBCs)	1	
68	لعدد الكلي لخلايا الدم البيض (TWBCs)	2	
70	متوسط النسب المئوية لللمفاويات	3	
71	متوسط النسب المئوية للمستغيرات	4	
72	متوسط النسب المئوية للحمضات	5	
74	متوسط النسب المئوية للأسسات	6	
75	متوسط النسب المئوية للوحيدات	7	
76	العدد الكلي للصفيحات الدموية (PLT)	8	
78	متوسط النسبة المئوية لمكداس الدم (PCV)	9	
79	متوسط قیم زمن تخثر الدم (CT)	10	

	قائمة الصور والأشكال	
الصفحة	عنوان الشكل	الرقم
10	الصيغة الهيكلية للبروديفاكوم	1
16	يوضح عملية تثبيط البروديفاكوم لدورة فيتامين K عن طريق تثبيط "VKOR "	2
17	شلال التخثر	3
33	الحالة الصحية الجيدة للصيصان بعمر أُسبوع	4
33	مبيد القوارض بروديفاكوم 0.005% المستخدم في التجربة	5
35	عملية وزن الصيصان	6
35	عملية وزن البروديفاكوم	7
36	عملية تشريح طيور التجربة وجمع العينات	8
37	عملية سحب الدم من وريد الجناح لأحد طيور التجربة	9
37	عملية تعيين زمن التخثر على الشريحة	10
38	رسم تخطيطي لعدادة نيوباور المحسنة	11
39	يوضح كيفية تصبغ خلايا الدم وتوزعها ضمن شبكة العد	12
40	عملية قراءة قيم مكداس الدم بواسطة مسطرة هاكسلي	13
41	كيفية فرد قطرة الدم على الشريحة الزجاجية للحصول على فيلم دموي	14
42	الشرائح النسيجية المصبوغة	15
44	يوضح خمول أحد طيور المجموعات بعد 24 ساعة من إعطاء البروديفاكوم	16
44	يوضح الاضطرابات العصبية لدى أحد طيور المجموعة الرابعة	17
45	يوضح النزف في العين، والأذن، وتحت الجناح لدى أحد طيور المجموعة الرابعة	18
45	يوضح نفوق أحد طيور التجربة في اليوم الرابع من إعطاء البروديفاكوم	19
46	المظهر الطبيعي في كبد طيور المجموعة الاولى (الشاهد)	20
47	التغيرات المرضية العيانية في كبد طيور المجموعة الثانية بعد 24 ساعة من إعطاء	21
	البروديفاكوم	
47	التغيرات المرضية العيانية في أكباد طيور المجموعة الرابعة بعد 24 ساعة من إعطاء	22
	البروديفاكوم	
47	التغيرات المرضية العيانية لكبد طيور مجموعات التجربة الثانية G2 والرابعة G4 في	23
	اليوم الخامس من التجربة	
47	التغيرات المرضية العيانية لكبد طيور مجموعات التجربة الثانية G2 والرابعة G4 في	24
	اليوم الخامس من التجربة	

48	التغيرات المرضية العيانية لأكباد المجموعتين الثانية G2 والثالثة G3 في اليوم التاسع	25
	من إعطاء البروديفاكوم	
48	التغيرات المرضية العيانية لأكباد المجموعتين الثانية G2 والثالثة G3 في اليوم التاسع	26
	من إعطاء البروديفاكوم	
49	المظهر الطبيعي للكلى لدى طيور مجموعة الشاهد	27
49	التغيرات المرضية العيانية لكلى طيور المجموعة الرابعة بعد 24 ساعة من الإعطاء	28
50	التغيرات المرضية العيانية لكلى طيور مجموعات التجربة الثالثة G3 والرابعة G4 في	29
	اليوم الخامس بعد إعطاء البروديفاكوم	
50	التغيرات المرضية العيانية لكلى طيور مجموعات التجربة الثالثة G3 والرابعة G4 في	30
	اليوم الخامس بعد إعطاء البروديفاكوم	
50	التغيرات المرضية العيانية لكلى طيور المجموعتين الثالثة والرابعة في اليوم التاسع بعد	31
	إعطاء البروديفاكوم	
50	التغيرات المرضية العيانية لكلى طيور المجموعتين الثالثة والرابعة في اليوم التاسع بعد	32
	إعطاء البروديفاكوم	
51	التغيرات المرضية العيانية لكبد طائر نافق من المجموعة الثانية في اليوم الرابع بعد	33
	إعطاء البروديفاكوم	
51	التغيرات المرضية العيانية لكبد نافق طائر من المجموعة الرابعة في اليوم الخامس بعد	34
	إعطاء البروديفاكوم	
51	التغيرات المرضية العيانية لكلى لطائر نافق من المجموعة الثانية في اليوم الرابع بعد	35
	إعطاء البروديفاكوم	
51	التغيرات المرضية العيانية لكلى لطائر نافق من المجموعة الرابعة في اليوم الخامس بعد	36
	إعطاء البروديفاكوم	
52	يوضح النزف النقطي والكدمي على عضلات الفخد (السطح الوحشي) لدى طيور	37
	المجموعة الثانية بعد إعطاء البروديفاكوم	
52	يوضح النزف الشديد على سطح عضلات الصدر لدى طائر من المجموعة الثالثة في	38
	اليوم السادس بعد إعطاء البروديفاكوم	
53	يوضح النزف الكدمي الشديد على عضلات الفخد لدى طائر نافق من المجموعة الثالثة	39
	في اليوم الخامس بعد إعطاء البرودياكوم	

53	يوضح الاحتقان الشديد في الاوعية الدموية لمساريقا الامعاء لدى طيور مجموعات	40
	التجربة G3في اليوم التاسع بعد إعطاء البروديفاكوم	
53	يوضح النزف الحَبَري لدى أدمغة طيور مجموعات التجربة G3 في اليوم التاسع بعد	41
	إعطاء البروديفاكوم	
55	مقطع نسيجي في كبد مجموعة الشاهد	42
55	مقطع نسيجي في كبد المجموعة الثانية بعد 24 ساعة من الإعطاء	43
56	مقطع نسيجي في كبد المجموعة الثالثة بعد 24 ساعة من الإعطاء	44
56	مقطع نسيجي في كبد المجموعة الثانية في اليوم الخامس من الإعطاء	45
56	مقطع نسيجي في كبد المجموعة الثانية في اليوم الخامس من الإعطاء	46
57	مقطع نسيجي في كبد المجموعة الثالثة في اليوم الخامس من الإعطاء	47
57	مقطع نسيجي في كبد المجموعة الرابعة في اليوم الخامس من الإعطاء	48
58	مقطع نسيجي في كبد المجموعة الثانية في اليوم التاسع من الإعطاء	49
58	مقطع نسيجي في كبد المجموعة الثالثة في اليوم التاسع من الإعطاء	50
58	مقطع نسيجي في كبد المجموعة الرابعة في اليوم التاسع من الإعطاء	51
60	مقطع نسيجي في الكلى لمجموعة الشاهد	52
60	مقطع نسيجي في كلى المجموعة الثانية بعد 24 ساعة من الإعطاء	53
61	مقطع نسيجي في كلى المجموعة الثالثة بعد 24 ساعة من الإعطاء	54
61	مقطع نسيجي في كلى المجموعة الرابعة بعد 24 ساعة من الإعطاء	55
61	مقطع نسيجي في كلى المجموعة الثالثة في اليوم الخامس من الإعطاء	56
62	مقطع نسيجي في كلى المجموعة الثالثة في اليوم الخامس من الإعطاء	57
62	مقطع نسيجي في كلى المجموعة الثانية في اليوم التاسع من الإعطاء	58
62	مقطع نسيجي في كلى المجموعة الثالثة في اليوم التاسع من الإعطاء	59
63	مقطع نسيجي في الكبد لطير نافق من المجموعة الرابعة في اليوم الخامس بعد الإعطاء	60
64	مقطع نسيجي في الكلى لطير نافق من المجموعة الرابعة في اليوم الخامس بعد	61
	الإعطاء	
65	مسحة دموية طيرية مصبوغة بجيمزا من المجموعة الأولى	62
65	مسحة دموية طيرية مصبوغة بجيمزا من المجموعة الثانية بعد 24 ساعة	63
65	مسحة دموية طيرية مصبوغة بجيمزا من المجموعة الثانية في اليوم الخامس	64
65	مسحة دموية طيرية مصبوغة بجيمزا من المجموعة الثالثة في اليوم التاسع	65

قائمة الاختصارات العلمية			
الاختصار	المصطلح باللغة الانكليزية	المصطلح باللغة العربية	
AR	Anticoagulant rodenticides	مبيدات القوارض	
		المضادة لتخثر الدم	
SWs	Superwarfarins	الوارفيرينات الفائقة	
VKOR	Vitamin K epoxide reductase	الايبوكسيد المختزل	
		لفيتامين K	
BDF	Brodifacum	البروديفاكوم	
IUPAC	International Union of Pure and Applied	الاتحاد الدولي للكيمياء	
	Chemistry	البحتة والتطبيقية	
t1/2	Half-life	عمر النصف	
HPLC	High Performance Liquid Chromatography	الكروماتوغرافيا السائلة	
		عالية الأداء	
MS/MS	Tandem Mass Spectrometry	القياس الطيفي الكتلي	
LD50	Median lethal dose	الجرعة القاتلة للنصف	
LC50	Lethal Concentration	التركيز المميت للنصف	
LDL0	The lowest lethal dose	أقل جرعة قاتلة	
TDL0	Lowest published toxic dose	أقل جرعة سامة منشورة	
VKDPs	Vitamin K-dependent proteins	البروتينات المعتمدة على	
		فیتامی <i>ن</i> k	
GGC	γ-glutamylcysteine	غاما غلوتاميل سستئين	
I	fibrinogen	العامل الأول	
II	prothrombin	العامل الثاني	
III	tissue factor	العامل الثالث	
IV	ionized calcium	العامل الرابع	
V	labile factor or proaccelerin	العامل الخامس	
VII	stable factor or proconvertin	العامل السابع	
VIII	antihemophilic factor	العامل الثامن	
IX	Christmas factor	العامل التاسع	
X	Stuart-Prower factor	العامل العاشر	

XI	plasma thromboplastin antecedent	العامل الحادي عشر
XII	Hageman factor	العامل الثاني عشر
XIII	fibrin-stabilizing factor	العامل الثالث عشر
TF	tissue factor	العامل النسيجي
GGT	Gamma-glutamyl transpeptidase	إنزيم غاما غلوتاميل كربوكسيليز
APC	C activator protein	بروتين C المنشط
ZPI	Protein Z-related protease inhibitor	إنزيم البروتياز المرتبط بالبروتين Z
LC- MS/MS	Liquid chromatography–mass spectrometry	الاستشراب السائلي المزود بمقياس طيف الكتلة
PTT	Partial thromboplastin time	زمن الثرومبوبلاستين الجزئي
PT	Prothrombin time	زمن البروثرومبين الأحادي
EPO	Erythropoietin	الهرمون المكون لكريات الدم الحمراء
FLMP	Formyl-methionyl-phenylalanine	فورمیل میثیونیل فینیل آلانین
CBC	Complete blood count	تعداد الدم الكامل
СТ	Clotting Time	زمن التخثر
TRBCs	Total Red Blood Cells Count	التعداد الكلي لخلايا الدم الحمر
TWBCs	Total White Blood Cells Count	التعداد الكلي لخلايا الدم البيض
PCV	Hematocrit (packed cell volume)	مكداس الدم عد الصفيحات الدموية
PLT	Platelet count	عد الصفيحات الدموية

ROS	Reactive oxygen species	مركبات الاوكسجين
		التفاعلية
GPX	Glutathione peroxidase	غلوتاثيون بيروكسيداز
SOD	Superoxide dismutase	فوق الأكسيد ديسميوتاز
COX	Cyclooxygenase	أنزيمات الأكسدة الحلقية
LOX	Lipoxygenase	أنزيمات أكسدة الدهون

مُلخَّص البَحث Abstract

المُلخَّص باللغة العربية:

يهدف هذا البحث إلى دراسة الأعراض المرضية، والتغيرات التشريحية العَيانيّة والمجهرية في أنسجة الكبد والكلى، وتغيرات الصورة الدموية التي يحدثها البروديفاكوم لدى دجاج اللحم.

أُجريت التجربة على (48) طائراً من دجاج اللحم بعمر أسبوعين واستمرت (9) أيام، قُسمت الى أربع مجموعات، تضم الواحدة منها (12) طائراً، أُعطِيَت المجموعات باستثناء الشاهد جرعة واحدة فقط من البروديفاكوم 0.005% عن طريق الفم، بجرعات (2.25، 4.5، 9) ملغ/كغ على الترتيب، وسُجلت الأعراض المرضية ونسبة النفوق خلال التجربة.

أُختيرت عينة عشوائية مؤلفة من أربعة طيور من كل مجموعة جُمعت منها عينات الدم بعد 24 ساعة، وفي اليومين الخامس والتاسع بعد إعطاء البروديفاكوم، ثم ذُبحت وسُجلت التغيرات التشريحية المرضية العَيانيّة، وأُخذت عينات من أنسجة الكبد والكلي؛ بهدف دراسة التغيرات المرضية النسيجية.

أظهرت النتائج بعض الاضـطرابات العصـبية لدى الطيور قبل النفوق إضـافة للنزف في العينين، وتحت الجلد,

لُوحِظت تغيرات مرضية عَيانيّة واضحة في الكبد، على شكل احتقان واصفرار ونزف تحت المحفظة، وتضخم الكبد.

أما التغيرات المرضية النسيجية فكانت على شكل احتقان الجيبانات الدموية والأوردة المركزية، ولُوحظ التورم الغيمي والتنكس المائي في خلايا الكبد بعد 24 ساعة من الإعطاء، وظهر التنكس الدهني والنخر في اليومين الخامس والتاسع من الإعطاء.

ترافقت هذه التغيرات مع ردود فعل التهابية تمثلت بزيادة ارتشاح خلايا كوبفر و المستغيرات والبلاعم واللمفاويات حول المسافات البابية وبالقرب من الأوردة المركزية.

تَجلَّت التغيرات المرضية في الكلى على شكل تضخم خفيف في فصوصها وخاصة الأمامية إضافة لحدوث النزف والاحتقان في المجموعتين الثالثة والرابعة بعد 24 ساعة، وبدت بلون شاحب في المجموعتين الثالثة والرابعة في اليوم الخامس من الإعطاء. ازداد التضخم والنزف في الفصوص الأمامية للكلى لدى جميع طيور المجموعات في اليوم الأخير من التجربة.

تمثلت التغيرات النسيجية المرضية باحتقان الأوعية الدموية، والتنكس المائي والنخر في ظهارة النبيبات الكلوبة والقنوات الجامعة، إضافة للنزف ضمن لمعة بعض النبيبات الكلوبة الدانية والقاصية

والقنوات الجامعة لدى المجموعات التي تناولت الجرعات العالية في اليومين الخامس، والتاسع من إعطاء البروديفاكوم، وتمثل رد الفعل الالتهابي بارتشاح المستغيرات وبعض اللمفاويات.

أظهرت نتائج دراســة المعايير الدموية انخفاضــاً معنوياً (P≤0.05) في كل من العدد الكلي لخلايا الدم الحمر، والصفيحات الدموية، ومكداس الدم، كما أظهرت ارتفاعاً معنوياً (P≤0.05) مُهماً في العدد الكلي لكريات الدم البيض واللمفاويات والمســـتغيرات، وزمن التخثر بعد 24 ســـاعة من إعطاء البروديفاكوم، واستمرت هذه التغيرات حتى نهاية التجربة في اليوم التاسع.

تشــير نتائجنا المجهرية جنباً إلى جنب مع المعايير الدموية إلى التأثير السـام للبروديفاكوم على دجاج اللحم، وأن ما يُحدِثه من تغيرات مرضية تزداد شدتها بازدياد الجرعة وبمرور الوقت، إذ بلغت ذروتها لدى طيور المجموعة الرابعة التي تناولت أعلى جرعة من البروديفاكوم.

الكلمات المفتاحية: مبيدات القوارض - البروديفاكوم - التغيرات التشريحية المرضية - الكبد - الكلى - الصورة الدموية - دجاج اللحم.

الفَصْل الأوّل المُقَدمة وأهداف البَحْث Introduction and Objectives of Research

1−1 المقدمة 1−1−

تُشكل القوارِض مُشكِلة كبيرة في جميع أنحاء العالم لما تسببه من خسائر اقتصادية وصحية، لذا فإنَ مكافحتها يُعد أمراً في غاية الأهمية (Buckle & Smith, 2015). أستخدِمَت طرائق عديدة للتعامل مع هذه المخاطر والسيطرة على القوارض، أحدها الطريقة الكيميائية. إذ أستخدِمَت مضادات تخثر الدم بنوعيها الجيل الأول والثاني.

تُعَد هذه المواد سامة للحيوان والإنسان، وبما أنها تُستخدم في أماكن وجود القوارض في المنازل، والحقول، والمزارع؛ لذلك قد تكون الكائنات الحية الأخرى عُرضة لتسممات عَرْضيَّة أولية، أو ثانوبة.

يحدث التسمم العرضي في قطعان الدواجن على نحو كبير؛ نَظراً للتربية المُكثفة، وكثافة استخدام السموم لمكافحة القوارض ولطبيعة تركيب وتخزين أعلاف الدواجن، إضافة إلى أنَّ الدواجن تُقبِل على كُل ما يُقَدم بغض النظر عن كون هذه المواد ضارَّة أم غير ذلك.

يُثِيرِ الإستِخدام الواسِع لمُبيدات القوارض المُضادَّة للتَخثُر Anticoagulant rodenticides (AR) – التي تُعد حَجَر الزاوية في مُكافَحة القوارض في العالم – تساؤلات حَول التَّعرُّض لهذه المواد ومخاطر التسمم بها ومدى سلامتها.

أستخدِمت المُبيدات المضادة للتخثر مُنذ أربعينات القرن الماضي، كان الوارفارين أول المركبات المستخدمة؛ لكن استخدامه لفترة طويلة من الزمن أدى إلى ظهور سُلالات مُقاومة من القوارض؛ مِمَّا استدعى الحاجة لاستنباط جيل ثاني من مُضادات التخثر أكثر كفاءة ضد السُلالات المُقاومَة، المُسَماة مُضادات التخثر طويلة المفعول أو الوارفارينات الفائقة Superwarfarins (SWs) Superwarfarins).

هذه المُركبات أكثر فعالية من مركبات الجيل الأول نظراً لطول عِمرَها النصفي، ما يعني أنها تبقى لفترة أطول في الأنسجة. هُنالِكَ تناقض كبير بين احْتفاظ الأنسجة بالجيل الأول والجيل الثاني، إذ أن جُزيئات الجيل الأول لها ثبات في الأنسجة لبضعة أيام في حين أن الجيل الثاني لديه إمكانية بقاء في الأنسجة لبضعة أسابيع (Vandenbroucke et al., 2008)، هذا الثبات يستدعي إطالة مُدَة العلاج بالترياق إثرَ التعرُض علاوة على ابْقائِهِ بتراكيز أكبر من جُزيئات المُبيد في أجسام القوارض بَعد مَوتِها، وَيُزيد بذلك من خَطر التسمم الثانوي للحيوانات غير المُستهدفة المُفترِسة أو التي تتَغذى على الجرذان المُعرَضة، وفضلات الطعام الملوثة. إضافة للخطر الناجم عن تراكم جُزئيات المُبيد في لحوم الدَجاج مِمًا يُشكل خَطراً على صِحَة وحياة الإنسان.

تَمت دِراسَــة تَأثیر مُبیدات القوارض علی عددٍ من الحیوانات مثل الجرذان، والکلاب، والســمان، لکن أُجریت مُعظم هذه الدراسات علی الفئران، و هَدَفت لتحدید فعالیة واسـتسـاغة القوارض للطعوم الحاویة علی مُضادات التَختُر (El-Bahrawy & Morsy, 1990; Gill, 1992).

2-1 أهمية البحث Importance of the study

تأتي أهمية البحث الحالي من الإستخدام الكثيف لمبيدات القوارض المضادة للتخثر، وقِلة الدراسات التجريبية المُتعلقة بأنواع أُخرى من الحيوانات، ومدى خطورة هذه المُبيدات على الصحة العامة، والكائنات الحية، ومنها دجاج اللحم، وما يَنجُم عنها من مخاطر جَدية بيئية وصحية واقتصادية، وكان هذا دافعاً لإجراء الدراسة الحالية و تسليط الضَّوء على بعض جوانب التسمم بالبروديفاكوم، وتحديداً التأثيرات السُمية التي يُحدِثُها في أنسجة الكبد، والكِلى، والصورة الدموية لدى دجاج اللحم.

3-1- أهداف البحث Objectives of Research

- 1. دِراسَة الأعراض المَرضية الظاهرة على دَجاج اللَّحم نتيجة التسمُم بالبروديفاكوم .
- 2. دِراسَة التَّغيُّرات التَشريحية المرضية العَيانيّة، والنسيجية التي يُحدِثُها البروديفاكوم في أنسجة الكبد والكلى لدى دجاج اللَّحم.
- 3. دِراسَة تأثیر التسمُم بالبرودیفاکوم علی الصورة الدمویة لدی دجاج اللحم، وتحدیداً عدد خلایا الدم الحمر، والعدد الکلی، والتقریقی لخلایا الدم البیض، وعَدد الصنفیحات الدمویة، ومِکْداس الدَم، وزَمن التَختُر.

الفَصْل الثَّاني الدراسة المرجعيَّة Literature Review

2- الدراسة المرجعية Literature Review:

1-2 مبيدات القوارض المضادة لتخثر الدم Anticoagulant rodenticides):

يُعد هذا النوع من المبيدات الأكثر استخداماً لمكافحة القوارض، ويُشار إلى الجيل الثاني من مبيدات القوارض المستخدمة حالياً في جميع أنحاء العالم باسم الوارفارينات الفائقة Superwarfarins)، وهي مواد منخفضة السمية للإنسان، لكنها أكثر سُمية للحيوانات، بما في ذلك الأليفة مقارنة بالبشر (Zawadzki & Szpot, 2019).

ربما يعود السبب في هذا لزيادة درجة حساسية الحيوانات لهذه المجموعة من المركبات، وقد يكون تسمم الحيوانات عَرَضيّاً أو مُتعَمّداً (Zawadzki et al., 2007).

يحدث التسمم عند الطيور نتيجة لتناول طعم مبيد القوارض مباشرة، أو تغذي الطيور الجارحة على القوارض التي ابْتَلَعْت الطُعم، أو الطيور الآكلة للحشرات المُلَوثة (Brakes & Smith, 2005).

إنَّ لِمُبيدات القوارض المضادة للتخثر (AR) تاريخاً طويلاً من الاستخدام الناجح لمكافحة القوارض (Jacob & Buckle, 2018)، ولا تزال واحدة من المجموعات الكيميائية الرئيسة في صناعة مبيدات القوارض العالمية، في حين أدت مخاطرها على الأطفال، والحيوانات المصاحبة، والحياة البرية غير المستهدفة إلى بعض القيود على استخدام الجيل الثاني، والذي يعد أكثر خطورة مقارنةً بالجيل الأول (Elliott et al., 2016; Buckle & Prescott, 2018).

2-2 اكتشاف المبيدات مضادات التخثر وتطورها:

اكتُشِعَت مضادات التخثر في القرن العشرين عندما حدث تفش لاضطراب نزفي Hemorrhagic disorder غير عادي في الماشية في الولايات المتحدة، وكندا؛ عُزيَ هذا إلى تناول علف البرسيم الحلو، مما أدى في النهاية إلى اكتشاف مضادات التخثر النباتية 4-هيدروكسي كومارين عام 1940، الذي تم تصنيعه في جامعة ويسكُنسن عام 1948 وسُمي الوارفارين، تم اعتماده لاحقاً للاستخدام كَمبيد للقوارض في الولايات المتحدة، وكذلك للاستخدام السريري لمنع تجلط الدم، وأصبح الوارفارين أكثر المواد شيوعاً في السيطرة على أعداد القوارض، ومع ذلك فقد بدأت فعاليته بالإنخفاض في السبعينات بسبب الاستخدام المكثف له (Pirmohamed, 2006)، ونتيجة لفقدان فعالية الوارفارين كمبيد للقوارض بعد عدة سنوات من التعرض له طَوَرت القوارض مُقاومة شبه كاملة لهذا المُرَكب.

ظَهرت هذه المُقاومة كصفة جسمية سائدة أُحادية الجين، عندها أصبح من الضروري انتاج مُبيدات قوارض تكون الحيوانات حساسة لها مما استدعى انتاج الجيل الثاني من مبيدات القوارض المسمى بالوارفارينات الفائقة (Sawadzki et al., 2007) (SWs).

الوارفارينات الفائقة Superwarfarins: هي مضادات تخثر من الجيل الثاني من الكومارين التي تتميز Vitamin K epoxide K 2,3 بعمر نصفي أطول، وذلك لإرتباطها بالإيبوكسيد المُختَزِل لفيتامين VKOR) وهذا الارتباط بين السوبر وارفارين و VKOR أقوى حتى 100 ضعف مقارنة بالوارفارين (watt et al., 2005).

أما الإجراء الثانوي للسوبر وارفارين فهو تثبيط الكربوكسيل من العوامل التي تعتمد على فيتامين K الثاني، والسابع، والتاسع، والعاشر (II, VII, IX, X) في الكبد (Chua & Friedenberg, 1998). تتميز مُركبات الجيل الثاني بأنها أكثر فعالية؛ ويعود هذا إلى التقارب الأكبر لمواقع الارتباط في الكبد وبذلك زيادة التراكم والاستمرارية، ويتأثر استمراره في الأنسجة بعد الابتلاع والامتصاص بالجرعة المتناولة والألفة بين المركب ومواقع الارتباط، وقابلية التشبع بمضادات التخثر (1988). كما يُزيد العمر النصفي الطويل والفعالية المُتزايدة للسوبر وارفارين من خطر تلوث المياه، أو الطعام، وبذلك الإضرار بالبيئة، والكائنات الحية غير المستهدفة (2014).

3-2 تصنيف مبيدات القوارض المضادة للتخثر:

تُصنف مبيدات القوارض المضادة للتخثر اعتماداً على تركيبها الكيميائي، في مجموعتين رئيستين هي: 1. هيدروكسي كوماربن Hydroxycoumarin :

التي تقسم إلى الجيل الأول (وارفارين، كوما كلور، كومافوريل، كوماتيتريل)

والجيل الثاني (بروديفاكوم، بروماديولون، ديفيناكوم، مركبات ديفثيالون، فلوكومافين)

2. ومركبات الإندانديون indandione (كلوروفاسينون، ديفاسينون، بيندون، فالون)

.(Valchev et al., 2008)

-4-2 البروديفاكوم Brodifacum):

هو مُضاد تخثر قوي من مركبات الجيل الثاني تم تطويره في منتصف السبعينيات للتخلص من الفئران المقاومة للوارفارين، وتم اِستخدامه بنجاح في استئصال القوارض، بالإضافة إلى استخدامه بنجاح للقضاء على الأرانب، وحيوان البوسوم، ومكافحة الولب (Robertson et al., 1993).

يُعد البروديفاكوم Brodifacum) أكثر أنواع السوبروارفارين شيوعاً (BDF) Brodifacum)، وهو السبب الرئيس للتسمم في الحيوانات الأليفة (Chua & Friedenberg, 1998).

يُعد البروديفاكوم مُركباً واسع الطيف شديد السُمية، مما يُشَكل خطراً على الثدييات والطيور غير المستهدفة التي قد تتعرض له إما مباشرة أثناء استهلاك الطعوم، أو على نحو غير مباشر أثناء التعرض لأنسجة الحيوانات المسمومة بالبروديفاكوم "التسمم الثانوي". أشارت الكثير من التقارير على مدى العقدين الماضيين إلى التسمم الثانوي ووجود بقايا البروديفاكوم في أنسجة الحيوانات غير المستهدفة، ولاسيما الثدييات والطيور (Eason et al., 2002).

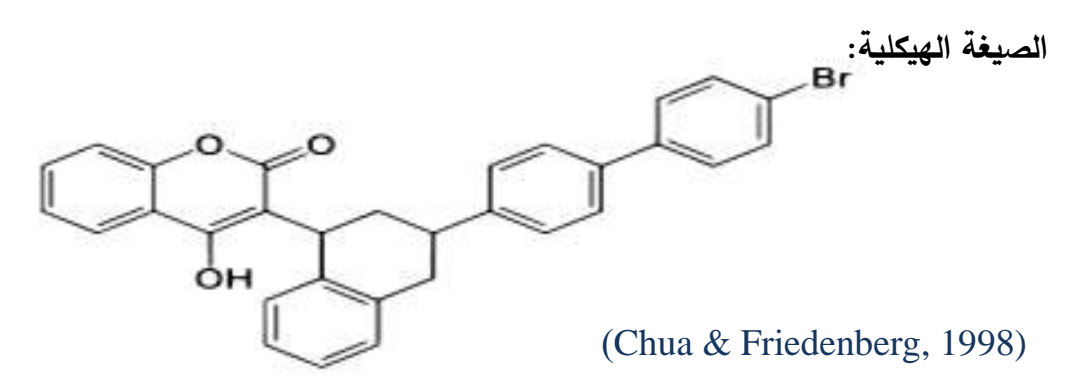
يُمثل البروديفاكوم خطراً مرتفعاً نسبياً للتسمم الثانوي مقارنة بالمبيدات الأخرى بسبب استمرار ثباته لفترات طويلة لاسيما في الكبد (Erickson & Urban, 2004)، كما يُشكل خطراً لتلوث ذبائح الأغنام، والدواجن عن طريق تناول كميات قد تكون مميتة من المركب، فأثناء تسميم الأرانب والقوارض قد تتعرض حيوانات أُخرى إلى الطعوم السامة التي تكون مستساغة بالنسبة لهم، ومع تزايد استخدام هذا النوع من الطعوم في المناطق الزراعية من المحتمل أن تتعرض المزيد من الأنواع غير المستهدفة للخطر، وبذلك القلق من التعرض البشري للبروديفاكوم نتيجة استهلاك لحوم الحيوانات المتسممة به (& Mendenhall .

1-4-2 الاسم والصيغة الجزبئية والهيكلية للبروديفاكوم:

:International Union of Pure and Applied Chemistry (IUPAC)

3-[3-[4-(4-bromophenyl) phenyl]-1,2,3,4-tetrahydronaphthalen-1-yl]-4 hydroxychromen-2-one,

الصيغة الجُزيئية: C31H23BrO3



الشكل رقم (1): يوضح الصيغة الهيكلية للبروديفاكوم

:Toxic kinetics الحرائكية السمية -2-4-2

يدخل البروديفاكوم الجسم عبر القناة الهضمية، إذ يتميز بامتصاصية عالية، وسريعة (Vandenbroucke et al., 2008)، ليصل ذروة تركيزه في البلازما خلال 12 ساعة من الابتلاع (Olmos & López, 2007).

وفي دراسة حرائكيته وصل البروديفاكوم في بلازما الأرانب إلى أقصى تركيز له بعد 24 ساعة من الإعطاء، وتناقصت التراكيز في الأيام الأربعة التالية (Hauck, 2017)، وفي دراسة أُخرى وصلت ذروة تركيزه في البلازما خلال دقيقة إلى ساعة واحدة بعد تناوله عن طريق الفم (Talcott & Peterson, 2012).

يتوزع البروديفاكوم في جميع أنحاء الجسم، وقد يبقى في البلازما لمدة تصل إلى 180 يوم (Watt et al., 2005).

في دراسة أُجريت على الجرذان، والأرانب لتحديد الأنسجة المتأثرة والحرائكية السمية للبروديفاكوم، أظهرت النتائج تراكم البروديفاكوم في أنســـجة المخ، والكبد، والكلى، والبنكرياس، والقلب، والرئة، إذ أظهر الكبد أعلى تركيز واستمر الارتفاع في الأيام الأربعة الأولى باستثناء الغدة الصعترية، إذ انخفضت مستوياته فيها. كذلك استمرت مستوياته في الأنسجة في الارتفاع من اليوم الرابع وحتى اليوم الثامن من الإعطاء، وبحلول اليوم العاشر أظهرت جميع الأنسجة باستثناء الكبد مستويات منخفضة من البروديفاكوم، كما يتراكم البروديفاكوم في العديد من الأنسجة الدهنية؛ ولكن 90% من الكمية المتناولة تتراكم في الكبد إذ يُحدِث معظم الضرر، كما تم الكشف عنه في الدماغ، والطحال، والصفراء، والدم، والسطريق الرئيسة لإطراحه بعد تناوله عن طريق الفم هي البراز، والبول (Watt et al., 2005; King & Tran, 2015; Hauck, 2017).

أظهرت نتائج تجربة مخبرية أُجريت على الفئران ارتباطاً ايجابياً وثيقاً بين تراكيز البروديفاكوم المتبقية في الكبد، وكمية البروديفاكوم المتناولة، إذ تم افراز ما يقدر ب 14-22% من البروديفاكوم المبتلع في الفئران (Gebauer, 2007).

على عكس الوارفارين، فإن للبروديفاكوم عمر نصف حيوي طويل للغاية، وقُدرة على البقاء في الدم، والأنسجة لمدة من130-20 يوماً وحتى 6 أشهر بفضل الحد الأدنى من التمثيل الغذائي والإطراح، وبذلك يمكن أن يُكشف عن هذه المادة في دم المصاب بعد التسمم بعدة أشهر (Marangoni et al., 2016).

يمكن الكشف عن ثمالات الجرعات شبه القاتلة من البروديفاكوم في كبد الأغنام لأكثر من 16 أسبوعاً وتستمر مع عمر نصفي كبدي يزيد عن 114 يوماً بالنسبة للأنواع الحيوانية المختلفة (Laas et al., 1985).

تم تحديد عمر النصف Half-life للبروديفاكوم لدى الفئران في دراسة حديثة باستخدام تقنية التحليل الكمي والنوعي بوساطة الكروماتوغرافيا السائلة عالية الأداء High Performance التحليل الكمي والنوعي بوساطة الكروماتوغرافيا السائلة عالية الأداء Liquid Chromatography والقياس الطيفي الكتابي Liquid Chromatography وأظهرت نتائج تحديد الجرعة (MS/MS)، بمتوسط 91.7 يوم (91.2008)، وأظهرت نتائج تحديد الجرعة السامة بالكروماتوغرافيا السائلة عالية الأداء (HPLC) في حالة تسمم بالبروديفاكوم بقاء المادة حتى 209 يوم بعد التسمم في دم المصاب (Olmos et al., 2007). تم الإبلاغ عن عمر النصف و الإطراح للبروديفاكوم ما بين 15 و 30 يوماً (2008).

لقد أظهرت نتائج (Fisher, 2009) بقاء تراكيز البروديفاكوم في كبد الدجاج في حالة ثبات نسبي على مدار 14 يوماً بعد التعرض، وكان تركيزه في الكبد أعلى بـ 10 مرات من تركيزه في العضلات، والدهون، والذي انخفض في الأيام 14،7،4، أما تركيزه في البلازما في اليوم الأول كان مرتفعاً تقريباً مماثلاً لتركيزه في الكبد؛ لكنه انخفض بعد اليوم الرابع. وقُدر عمر النصف في العضلات بمتوسط 5.3 يوم، للدهون 2.7، للمبيض 3.17، وللبلازما 1.14 يوم.

أشارت نتائج (Rattner et al., 2020) إلى استمرار بقايا البروديفاكوم في الكبد، والكلى لدى طيور العوسق الأمريكية (Falco sparverius) في فترة التعافي البالغة 28 يوماً إذ قُدر عمر النصف النهائي بأكثر من 50 يوماً.

ترجع السمية الشديدة للبروديفاكوم جزئياً إلى طول عمر النصف، ومقاومته لعملية التمثيل الغذائي؛ نظراً لأن الطريق الأساس للتخلص منه هي عبر الأقنية الصفراوية، ومع ذلك فإن ألفته للدهون تؤدي إلى إعادة امتصاصه في القناة الهضمية، ومن ثم يخضع لعملية إعادة تدوير معوية كبدية مما يساهم في إطالة عمره النصفي (Hauck, 2017).

تُشير الدراسات إلى أن البروديفاكوم يرتبط على نحو خاص مع خلايا الكبد بعد 24 ساعة الأولى من تأول جرعة واحدة عن طريق الفم (Bachmann & Sullivan, 1983)، وكان أعلى مستوى للاطراح عن طريق البراز بعد 24 ساعة الأولى من إعطاء البروديفاكوم ثم انخفض بسرعة بعد ذلك، لم يُكشف عن أي مُستقلبات للبروديفاكوم في البلازما، والأنسجة، والبراز، والبول، فهو يتميز بالإفراز دون تغيير عن أي مُستقلبات للبروديفاكوم في البلازما، والأنسجة، والبراز، والبول، فهو يتميز بالإفراز دون تغيير (Vandenbroucke et al., 2008; Watt et al., 2005)

أشار كل من (Talcott & Peterson, 2012) إلى أن مبيدات القوارض المضادة للتخثر (AR) قد تنتشر إلى أنسجة عديدة في الجسم؛ لكن البلازما، والكبد، والحليب، والأجنة هي الأكثر أهمية في الطب البيطري. وإن طول عمر النصف مفيد من أجل إجراء تحاليل الدم للحيوانات المُعرضة، أما بعد النفوق فالنسيج المفضل لتحليل العينات هو الكبد في حالات تشريل الجثة إذ أنه يحوي على أعلى تركيز للمبيد.

<u>5-2</u> طرائق التعرض للمادة:

تحدث حالات التسمم الأكثر شيوعاً بمركبات الهيدروكسي كومارين غالباً بالابتلاع عن طريق الفم، فضلاً عن طرائق التعرض الأُخرى وتشمل الإمتصاص عبر الجلد والجهاز التنفسي، إذ أن بعض الحيوانات كالأرانب، وخنزير غينيا يمكنهما امتصاص كمية كبيرة من السم عن طريق الجلد مما يؤدي إلى التسمم الحاد (Nicpoń et al., 2007).

يُعد التسمم العرضي بالبروديفاكوم الشكل الأكثر شيوعاً للتعرض يليه استخدامه عند البشر كوسيلة للانتحار ومن ثم الإضرار المتعمد جنائياً (King & Tran, 2015).

6-2- الجرعات السمية Toxic doses:

تتطلب مُركبات الجيل الثاني جرعة واحدة فقط لقتل الفئران، في حين أن مركبات الجيل الأول تحتاج لعدة جرعات قبل إنجاز تأثيرها (Petterino & Paolo, 2001; Erickson & Urban, 2004).

تختلف سُــمية البروديفاكوم في كل من الثدييات والطيور، تُقدر كميات الطعوم المُســتخدمة معيارياً بالإعتماد على الجرعة القاتلة للنصــف Median lethal dose)، إذ تُقدر الجرعة القاتلة للنصف عند الدواجن بـ 4.5 ملغ /كغ (Worthing, 1991).

تحوي معظم طعوم القوارض على تراكيز متفاوتة صـــغيرة جداً من المادة الفعالة وتتراوح على نحو عام بين 0.005 % إلى 0.25% (Campbell & Chapman, 2000).

الجدول رقم (1): يوضح الجرعات السامة عند الكائنات الحية المختلفة

المصدر	الجرعة ملغ/كغ وزن حي	مصدر الجرعة	نوع الجرعة*	النوع
Worthing, 1991	25	فمو <i>ي</i>	LD50	كلاب
Worthing, 1991	0.25	ف <i>موي</i>	LD50	قطط
Worthing, 1991	4.5	ف <i>موي</i>	LD50	دجاج
Worthing, 1991	0.29	ف <i>موي</i>	LD50	فئران
Worthing, 1991	0.16	فمو <i>ي</i>	LD50	جرذان
Worthing, 1991	200	جلا	LD50	
Worthing, 1991	0.5	استنشاق	LC50	
Worthing, 1991	2	فمو <i>ي</i>	LD50	بط
Godfrey et al., 1985	3	ف <i>موي</i>	LDL0	اغنام/ماعز
Worthing, 1991	2.8	ف <i>موي</i>	LD50	خنزير غينيا
Godfrey et al., 1981	0.20	فمو <i>ي</i>	LD50	أرانب
National Technical information service	2.5	جلد	LDL0	
Sheen <i>et al.</i> , 1994; Morgan <i>et al.</i> , 1996	0.12 0.167	فمو <i>ي</i> فمو <i>ي</i>	TDL0 TDL0	رجال نساء

التركيز المميت للنصف: LC_{50} : التركيز المميت للنصف LD_{50}^*

:Mechanism of action آلية العمل -7-2

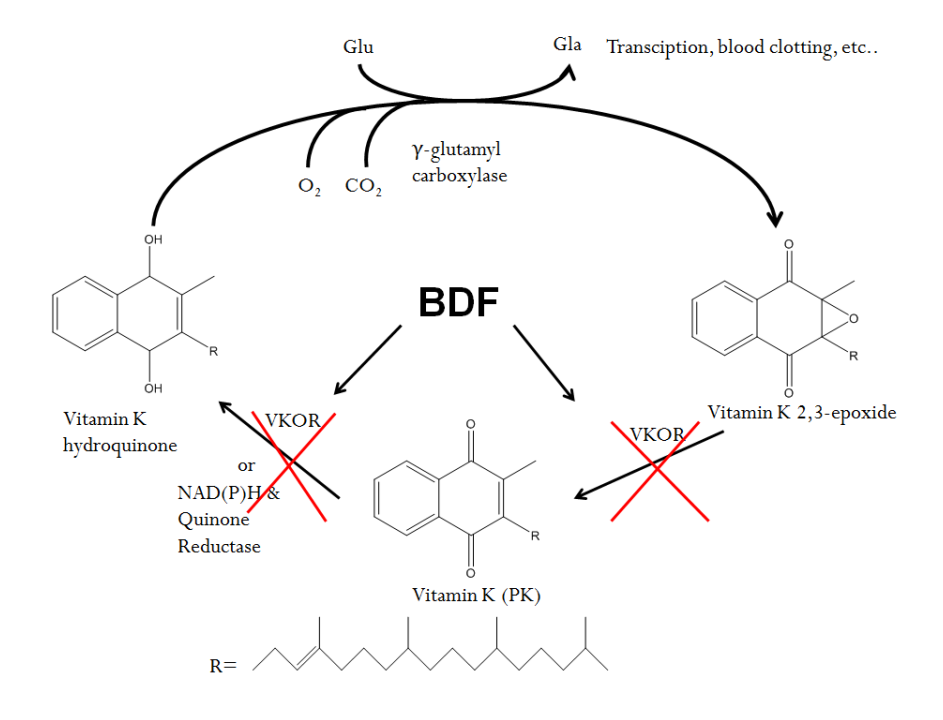
تتماثل آلية عمل جميع مبيدات القوارض المضادة لتخثر الدم (AR) مع الوارفارين المختزل (Hadler & Shadbolt, 1975)، وهي تُحدث تأثيرها عن طريق تثبيط إنزيم الايبوكسيد المختزل الفيتامين K الفيتامين VKOR " K1 " كينون (K1)، وهو عامل مساعد ذو أهمية أساسية يخضع له تغيرات دورية مختلفة بفعل إنزيم ايبوكسيد ريدوكتاز لتفعيل عوامل تجلط الدم "الثاني، والسابع، والتاسع، والعاشر" مما يؤدي إلى استنفاد فيتامين K1 النشط وإضعاف تخليق عوامل التجلط سالفة الذكر وتبقى غير وظيفية لأنها تعتمد

الجرعة غير القاتلة، TDL_0 :أقل جرعة سامة منشورة LDL_0

على فيتامين ك، وكذلك البروتينات المضادة للتخثر C و مما يؤدي إلى حدوث نزيف دموي شديد، قد يستمر هذا التأثير فترة طويلة جداً (أسابيع أو أشهر) بعد تناول جُرعة واحدة من السُم (Oldenburg et al., 2006; Wetiz, 2011; Laszkowska-lewko et al., 2017).

2-8- آلية تأثير البروديفاكوم:

يعمل البروديفاكوم مثل سائر مُركبات السوبر وارفارين، عن طريق التداخل مع التركيب الطبيعي لفيتامين Κ بنثيط الإنزيم المُختزِل لفيتامين Ε κ2 ومقاطعة دورة فيتامين Κ ومنع تكون الخثرة، وكذلك عن طريق تثبيط الإنزيم المُختزِل لفيتامين وعامل التخثر في كبد الفقاريات. عندما يحدث هذا التثبيط ضمن فترة زمنية كافية، يفشل الدم في التخثر استجابة للإصابة بالإضافة إلى ذلك يُزيد البروديفاكوم من نفادية الشعيرات الدموية؛ إذ تبدأ بالازما الدم، والدم بالتسرب من أصغر الأوعية الدموية، ويعاني الحيوان المتسمم من نزيف داخلي حاد وفقر دم شديد، مما يؤدي إلى الصدمة Shock وفقدان الوعي Coma والنفوق في المطاف (Chua & Friedenberg, 1998; Eckhardt, 2008; King & Tran, 2015). إضافة إلى تأثيرات البروديفاكوم المضادة للتخثر فإن له تأثيرات سُمية عصبية مباشرة قد تكون مرتبطة بالنفادية الغشائية الخلوية للعصبونات (Marangoni et al., 2016)، إذ أن للبروتينات المعتمدة على المنافدية الغشائية الخلوية للعصبونات (VKDPs) Vitamin K-Dependenz Proteins لفي إنزيم غاما فيتاميل سستثين عمل فيتامين K في الدماغ بوساطة دوره كعامل مساعد للكربوكسيل في إنزيم غاما غلوتاميل سستثين النخاعين الخلايا العصبية والخلايا الدبقية وتكوين النخاعين Myelin، كما يمكن أن يكون للبروديفاكوم آثاراً سلبية على نمو والخلايا الدبقية وتكوين النخاعين Myelin، كما يمكن أن يكون للبروديفاكوم آثاراً سلبية على نمو الدماغ، و وظائف الأعضاء بسبب هذه التأثيرات على VKDPs في الدماغ (Eckhardt, 2008).



الشكل رقم (2): يوضىح عملية تثبيط البروديفاكوم لدورة فيتامين K عن طريق تثبيط الشكل رقم (2): "VKOR"

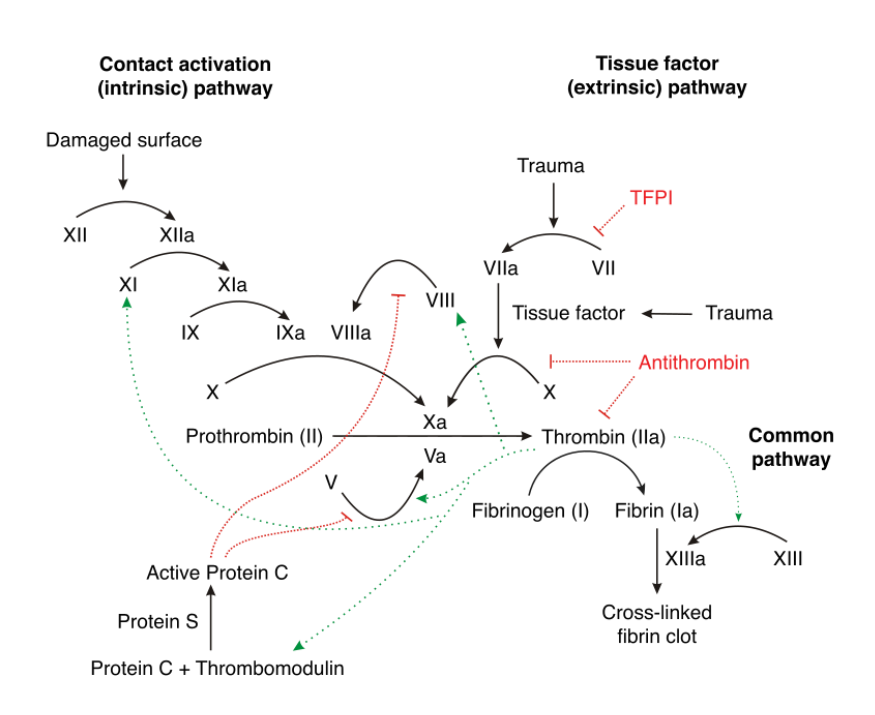
<u>9-2 التخثر:</u>

التخثر (الإرقاء) Hemostasis هو استجابة الجسم الفيزيولوجية لإصابة بطانة الأوعية الدموية والتي تؤدي إلى سلسلة من العمليات للحفاظ على الدم داخل الجهاز الوعائي الدموي عبر تكوين الخثرة. يُمكن تقسيم الإرقاء إلى إرقاء أولي وثانوي، يتضمن الإرقاء الأولي الذي ينتج عنه تكوين سدادة ناعمة من الصفائح الدموية: تضيق الأوعية، التصاق الصفيحات الدموية، تنشيط الصفيحات الدموية، وتكدسها، ويُعرَّف الإرقاء أنه تحويل مولد الليفين Fibrinogen إلى الليفين Fibrin والذي يحول في النهاية سدادة الصفيحات الدموية الرخوة إلى جلطة فيبرين صلبة غير قابلة للذوبان. تتضمن عملية الإرقاء الأولي والثانوي، ثلاث مسارات تخثر (داخلية وخارجية ومشتركة) (Key et al., 2017; Chinnaraj et al., 2018).

تشمل عوامل التخثر المُتدخلة في المسار الداخلي على العوامل XIX و XI و VIII الثاني عشر أو هاجمان، الحادي عشر، أو عامل طليعة الثرومبوبلاستين في البلازما، التاسع أو عامل كريسماس والعامل الثامن أو عامل مضاد الهيموفيليا. وتشتمل عوامل التخثر المشاركة في المسار الخارجي على العاملين VII السابع عامل التثبيت والثالث العامل النسيجي.

بينما يشمل المسار المشترك على عوامل التخثر X و V و V و V و العاشر أو ستيورات براور وطليعة الاكسليرين، والثاني أو البروثرومبين، والأول أو الغيبرينوجين، والثالث عشر أو عامل تثبيت الغبرين على التوالي. أما عامل التخثر الرابع والذي هو أيون الكالسيوم Ca^{++} فيلعب دوراً مهماً في جميع المسارات الثلاثة.

تُضَنع الغالبية العظمى من عوامل التخثر على نحو أساسي في خلايا الكبد المسؤولة عن تزويد الجسم بعوامل التخثر XIII و XI و XI و XII و V و II و I باستثناء العامل الثالث، والرابع، والثامن (Swieringa et al., 2018).



الشكل رقم (3): يوضح شلال التخثر Coagulation cascade

عوامل التخثر (بروتينات التخثر) (clotting factors (coagulation proteins:

هي جوهر وأهم مكونات نظام التخثر والإرقاء، التي تدخل في تفاعلات معقدة تؤدي إلى تحويل مولد الليفين القابل للذوبان إلى خيوط الليفين غير الذوابة. إنَّ غالبية عوامل التخثر هي طلائع الإنزيمات المُحلِلة للبروتين المعروفة باسم zymogens والتي تنتشر على نحو غير نشط.

تخضع هذه البروتينات لتعديل انتقالي (يعتمد على فيتامين KY الكربوكسيل لبقايا حمض الجلوتاميك) والتي تُمكنها من ربط الكالسيوم وغيره من الكاتيونات تُنائية التكافؤ والمشاركة في شالل التخثر، يؤدي

نقص فيتامين K أو تناول مضادات فيتامين K "الوارفارين" إلى منع تخثر الدم (Pallister & Watson, 2010).

يُعد فيتامين K في الحالة الطبيعية عاملاً أساسياً في شلال التخثر بالنسبة لإنزيم غاما غلوتاميل كربوكسيليز (GGT) Gamma-glutamyl transpeptidase (GGT) الذي يفرزه الكبد والذي يضيف مجموعة كربوكسيل إلى رواسب حمض الغلوتاميك الموجودة في العوامل II و VII و XI و X، بالإضافة إلى عدد من البروتينات مثل بروتين S و C و Z. أثناء إضافة مجموعة غاما كربوكسيل لرواسب الغلوتامات الموجودة على عوامل التجلط غير النشطة فإن فيتامين X نفسه يتأكسد، وهناك إنزيم آخر يسمى إنزيم الإيبوكسيد المختزل لفيتامين (VKOR) X يقوم بإعادة فيتامين X إلى حالته النشطة (VKOR) X يقوم بإعادة فيتامين X إلى حالته النشطة (VKOR) X و المنافقة معموعة غاما كربوكسود (VKOR) X

Vitamin K epoxide Reductase) VKOR هو مركب بروتيني إنزيمي مســؤول عن اختزال (Vitamin K epoxide Reductase) VKOR فيتامين النشط المهم للتخثر الفعال، وهو إنزيم رئيس في دورة فيتامين المحددة لله النشط المهم للتخثر الفعال، وهو إنزيم رئيس في دورة فيتامين المحددة للله الله المحددة المحددة الله الله الله الله الله الله الله المحددة الكربوكسيل لبقايا المحددة العربوكسيل لبقايا المحددة العربوكسيل المحددة الم

فيتامين X: هو فيتامين غذائي مهم يضبطه الجسم بإحكام، لا يتم اصطناعه في الجسم ويجب الحصول عليه من المكملات الغذائية أو الأطعمة، يتم تنظيم فيتامين X عبر دورة فيتامين K ويُخزن على شكك كينون، ويختزل إلى شكل هيدروكينون نشط عند الحاجة عن طريق اختزال إيبوكسيد فيتامين X، ويعمل الهيدروكينون بوساطة الكربوكسيل للبروتينات المعتمدة على فيتامين X، ويقوم اختزال فيتامين X ايبوكسيد بعد ذلك بتحويله إلى فيتامين X كينون، والذي يُخزن لحين الحاجة (Beulens & Booth, 2013).

يُعد بروتين C أحد العناصر الفيزيولوجية الرئيسة المضادة لتجلط الدم، إذ أنه يُنَشِط إنزيم السيرين بروتياز الذي يعتمد على فيتامين K بوساطة الثرومبين وتحويله إلى بروتين C المنشط C activator protein الذي يعتمد على فيتامين K بوساطة الثرومبين وتحويله إلى بروتين C عبر سلسلة تبدأ بارتباط كل من بروتين C، والثرومبين ببروتين الثرومبوموديولين المبطنة للأوعية الدموية ومن ثم يربط الثرومبوموديولين بين هذه البروتينات بدرجة تعمل على تنشيط البروتين C.

أما البروتين S فهو بروتين سكري موجود في بلازما الدم يعتمد في تركيبه على فيتامين K ويُعد العامل البروتين S فهو بروتين المكمل C4b.

يعمل بروتين Z كوسيط يساعد في التصاق الثرومبين بجزيئات الفوسفوليبيد ويحفز تثبيط نشاط العامل X بفعل مثبط إنزيم البروتياز المرتبط بالبروتين Z (ZPI) (ZPI) (ZPI). بفعل مثبط إنزيم البروتياز المرتبط بالبروتين لا (ZPI) (ZPI) الذي يحول 10يئتج العامل II (البروثرومبين) في الكبد ويُحور بعدة تفاعلات تعتمد على فيتامين K الذي يحول 1012 من أحماض الغلوتاميك في الطرف N في الجزيء إلى حمض غاما كاربوكسي غلوتاميك. تعزز بقايا حمض غاما كاربوكسي غلوتاميك بوجود الكالسيوم ارتباط البروثرومبين بالطبقات الفوسفورية. يثبط نقص فيتامين K أو إعطاء مادة مضادة للتخثر إنتاج مستقلبات حمض غاما كاربوكسي غلوتاميك، مما يؤدي إلى إبطاء تنشيط عملية التخثر. يقوم العامل III النشط بتفعيل مجموعة من عوامل تجلط الدم ألا وهي I و V و VII و VII و XII و XII و وتين C والصفيحات.

يُعد العامل السابع (بروكونفيرتين) Proconvertin وهو واحد من بروتينات تجلط الدم وإنزيم من عائلة سيرين البروتياز، ويعد ضرورياً لتكوين البروثرومبين المنشط، يتلخص دوره في تجلط الدم: بدعم التحويل، وتنشيط العاملين IX و X.

العامل التاسع IX أو عامل كريسماس Christmas factor، هو أحد بروتينات سيرين البروتياز التي تدخل في عملية نظام التخثر، وينتمي إلى عائلة الببتيداز، ينشط العامل X: الذيل يشترك مع العامل VIII في تكوين المركب الإنزيمي.

العامل العاشر X أو عامل ستيورات براور Stuart-Prower factor أحد إنزيمات عملية تجلط الدم وينتمي لعائلة سيرين البروتياز، يُصنع العامل العاشر في الكبد ويتطلب تخليقه لفيتامين K، يُنشط من قبل كل من العامل التاسع (مع العامل المساعد له وهو العامل الثامن في مسار التخثر الداخلي) والعامل السابع مع العامل المساعد له وهو العامل النسيجي Tissue factor) (في مسار التخثر الخارجي)، وهو أول عضو في المسار المشترك النهائي أو مسار الثرومبين، ودوره في عملية تخثر الدم هو تنشيط العامل Iin & Gopinath, 2016).

2-10- تشخيص التعرض لمبيدات القوارض المضادة للتخثر:

يُعد التشخيص الطبي الشرعي لحالات التسمم بمبيدات القوارض المضادة للتخثر (AR) مُعقداً ويستند إلى عدة عناصر منها الصورة السريرية والتشريح المرضي والفحوصات النسيجية ونتائج الاختبارات السمية ومعايير الارقاء، إذ أن طرائق الكشف عن مضادات التخثر في العينات البيولوجية والفحص السريري إذا كانت متوافرة لاختصاصي الطب الشرعي فهي متعددة وواسعة جداً؛ لكن لا تشمل الاختبارات

المخبرية للتخثر أو السُمية الروتينية؛ نظراً لعدم توافر طرائق التحليل المتقدمة في علم السموم البيطرية (Zawadzki et al., 2007).

يُغد الكشف عن المبيد واختيار الأنسجة المناسبة للفحص والتي تحوي على أكبر كمية من بقايا المركب الأصلي أمراً مُهماً في حوادث التسمم، ويشيع استخدام الكبد لأنه يعرف بتراكم مضادات التخثر فيه لمدة طويلة إضافة لسهولة اخذ عيناته لتأكيد التسمم بهذه المواد في الحيوانات النافقة (1995, Berny et al., 1995). تتمثل الطرائق البسيطة لتحديد التسمم بمضادات التخثر الاختبارات الدموية واختبارات التخثر، أما الطريقة الأكثر دقة فهي اختبار مستوياتها البلازمية والتي تتم بطريقة الاستشراب السائلي المزود بمقياس طيف الكتلة (Hauck, 2017) Liquid chromatography—mass spectrometry LC-MS/MS).

<u>11-2 المعالجة:</u>

يعد تناول فيتامين K1 هو العلاج الوحيد للتسمم بالبروديفاكوم حالياً ، نظراً لطول عمر النصف قد تكون هناك حاجة لمكملات الفيتامين K1 لفترة طويلة (King & Tran, 2015; Watt et al., 2005). تمت الإشارة في دراسة حديثة (Zowail et al., 2019) إلى أنه للمستخلص المائي لنبات الزنجبيل تأثيراً وقائياً من التأثير الضار لمبيد البروديفاكوم.

2- 12- الأعراض المرضية للتسمم بالبروديفاكوم عند الحيوانات المختلفة:

يتجلى التسمم بمضادات التخثر بنزيف حاد داخلي وأحياناً خارجياً مع ضعف تخثر الدم، وترتبط العلامات السريرية الأولية بفقر الدم، شحوب الأغشية المخاطية، وضعف وعدم انتظام دقات القلب (Berny, 2007) Arrhythmia).

والأعراض الأكثر شيوعاً هي ضيق التنفس Dyspnea، والسعال cough، وشحوب الاغشية المخاطية، والأعراض الأكثر شيوعاً هي ضيق التنفس Rhinorrhagia، ونزيف اللثة Ulemorrhagia، والعلمات العصبية (Haines, 2008).

تصنف الأعراض حسب شدة التسمم على الشكل الآتي: في حالات التسمم البسيطة قد تظهر الأعراض «Asymptomatic على شكل نزيف طفيف من الأنف epistaxis أو غياب تام للأعراض المرضية Ecchymosis ورُعاف، ونزيفاً أما حالات التسمم المعتدلة فتُظهر نزيفاً في الأغشية المخاطية، وكدمات Ecchymosis، ورُعاف، ونزيفاً في القناة الهضمية العلوية، وبيلة دموية Hemoptysis، ونفث الدم Hemoptysis. وفي حالات التسمم

الخطيرة تظهر الأعراض بهيئة نزيف دماغي Cerebral hemorrhage، ونزيف حاد في الأعضاء التناسلية او الجهاز التنفسي.

أشارت التقارير إلى حالات موت ناتجة عن التسمم بالبروديفاكوم مصحوبة بنزيف رئوي Subarachnoid إضافة للأعراض السابقة، ونزيف تحت عنكبوتي Pneumonorrhagia شديد Kruse & Carlson, 1992) hemorrhage

أشار (Palmer et al., 1999) إلى إن الصورة الإكلينيكية للتسمم بمضادات التخثر قد تكون غامضة Bacterial وتشبه أعراض ابيضاض الدم Leukemia، أو الأمراض المعدية مثل الانتان الجرثومي Rickettsia. والطاعون Plague، وداء البريميات

بينما أشار (Kuhn & Hendrix, 2013) لعرض غير عادي وحيد نتيجة لابتلاع البروديفاكوم ظهر Unilateral Subconjunctival Hemorrhage، ونزف بهيئة نزف أُحادي الجانب تحت المُلتحمة Retrobulbar Hemorrhage ، دون ملاحظة أي انحلال Hemolysis أو خول وخلف مقلة العين Anemia ، دون ملاحظة أي انحلال Anemia.

كما تشير بعض التقارير لحالات من التعرض غير النمطي لتحلل الدم بسبب مبيدات القوارض المضادة للتخثر، تشمل العرج Arthritis الناجم عن التهاب المفاصل (Bellah & Weigel, 1983).

بينما أشير من قبل (Dpakauskas et al., 2005) لسمية البروديفاكوم للفئران والجرذان البيض إثر تجريعها البروديفاكوم عن طريق الفم بجرعات قاتلة للنصف بلغت 0.4 ملغ/كغ للفئران، و 0.3 ملغ/كغ للجرذان، وظهور الأعراض السمية بعد 24–36 ساعة على هيئة خمول Lethargy، وفقدان الشهية Anorexia، وضعف عام Weakness، واضطرابات عصبية المخاطية من العينين والأنف والفم، إضافة لتلون البول والبراز باللون الأحمر Hemorrhage في الأغشية المخاطية من العينين والأنف والفم، إضافة لتلون البول والبراز باللون الأحمر Hematuria and Hemafecia، والإقياء مُدمى Bloody vomiting، والنفوق بعد سبعة أيام.

أظهرت نتائج دراسة (Gül et al., 2016) التي أجريت على الفئران المعرضة لمبيدات القوارض، اضطرابات سلوكية Behaviour disorder بعد 24 ساعة من التعرض ونزوفاً خارجية، نتج عنها حدوث وفيات بعد سبعة أيام مصحوبة بنزيف في العينين والأنف والفم، وأشار (Talcott & Peterson, 2012) لظهور الأعراض الإكلينيكية للتسمم بمبيدات القوارض المضادة للتخثر بعد 36 ساعة من التعرض على الأقل.

بينما أشار (Declementi & Sobczak, 2012) لتأخر ظهور العلامات المرضية لاضطراب التخثر Thrombopathy بالبروديفاكوم حتى 2-5 أيام من الابتلاع مع اختلاف موقع وشدة النزف.

أما بالنسبة لظهور الأعراض المرضية لدى الدجاج البياض المعرض لمضادات التخثر فقد ذكر (Kammerer et al., 1998) أنها استغرقت من 3 إلى 7 أيام بعد تناول السم، كانت الأعراض الأولية بهيئة نزيف داخلي Internal hemorrhage، لذلك غالباً ما تكون الأعراض غامضة وقد شملت الضعف والخمول ونقص الشهية أو انعدامها، يمكن أيضاً العثور على الدجاج نافقاً دون ملاحظة أية علامات مرضية.

يُعد تأخر ظهور السمية هذا عاملاً مهماً في فعالية مبيدات القوارض المضادة للتخثر، إذ تقل احتمالية ربط القوارض ابتلاع الطعم بظهور التسمم و تجنب ابتلاع كمية مميتة منها (Kaukeinen & Rampaud, 1986).

أما الأعراض المرضية في دراسة (Fisher, 2009) عند الدجاج البياض بعد التعرض للبروديفاكوم بجرعة 0.50 ملغ/كغ من البروديفاكوم وهي جرعة منخفضة شبه مميتة للدجاج والطيور الأخرى، على مدى14 يوم فقد كانت غير واضحة، وكانت الشهية طبيعية، مع عدم وجود تغيرات كبيرة في وزن الجسم بين أي من مجموعات التحكم أو التي تناولت البروديفاكوم، ولم تلاحظ أي علامات على التسمم أثناء المراقبة اليومية.

كانت نسبة النفوق 100% في دراسة (Bailey et al., 2005) لدى عشر دجاجات أُعطيت 3 ملغ/كغ بروديفاكوم 2002% عن طريق الحقن. أثبتت الدراسات وجود آثار البروديفاكوم المتبقي في بيض الدجاج المعرض للمبيد، مما يثير أسئلة حول تأثيراته الضارة على نمو الصيصان أو قابلية البيض للفقس (Gebauer, 2007).

أما الأعراض المرضية التي أشار لها (Boermans et al., 1991) نتيجة تعرض الخيول للبروديفاكوم، فكانت الخمول، والاكتئاب Depression، وفقدان الشهية وانخفاض الوزن، إضافة للنزف وتغيرات واضحة في قابلية تخثر الدم.

2-13- مراجعة الجوانب النسيجية:

: Liver الكبد 1-13-2

هو العضو والغدة الأكبر في الجسم، له الدور الرئيس في إزالة المواد السمية، كما أنه عضو الاستقلاب الأساس، إضافة للعديد من الوظائف كتصنيع الأملاح الصفراوية وتخزين المواد الكيميائية وتصنيع الأساس، إضافة للعديد من الوظائف المهمة (Coles, 1986) ، يُعد الكبد عضواً أساسياً للحياة ويمكن عده البروتينات وغيرها من الوظائف المهمة (glace) ، يُعد الكبد عضواً أساسياً للحياة ويمكن عده الجهاز المركزي لاستقرار الجسم وتوازنه والمحافظة على تزويده بالطاقة الضرورية التي يحتاجها الطائر (Whittow, 2000; Saran, 2017) . يتلقى الكبد أغلب الدم قرابة 70% عن طريق الوريد البابي Hepatic artery نحو 30% في حين يشكل الدم الوارد عبر الشريان الكبدي Hepatic artery نحو (Anthony, 2010).

يتألف الكبد عند الدواجن من فصين، الأيمن منها أكبر من الفص الايسر، و فصين صغيرين، ينقسم الأيسر منهما إلى أجزاء ظهرية وبطنية (Ibrahim et al., 2016). يفتقر كبد الطيور إلى الهيكل الفصي الحقيقي لكبد الثدييات لأنه يفتقر إلى الحاجز بين الفُصيعصات Lobules الذا لا تكون الحدود بينها واضحة ماعدا تلك المحيطة بمناطق الثالوث البابي Portal triad، تُرتب الخلايا الكبدية في صفائح وهي خليتان سميكتان في العديد من أنواع الطيور (Schmidt et al., 2003; El-Zoghby, 2005; Dyce et al., 2010).

الفصوص الكبدية خلايا ظهارية متعددة السطوح والزوايا وحجمها أكبر مما هو عند الثدييات، تتجمع على . (Hristov et al., 2017) . شكل صفائح متصلة مع بعضها البعض وهي الوحدة البنيوية الوظيفية للكبد

2-13-2- الكلى kidney:

تُعد الكلى عضواً أساسياً للإطراح، ويحتاجه الجسم لأداء العديد من الوظائف المُهمة بما في ذلك الحفاظ على ثبات البيئة الداخلية، والتي تظهر العديد من التَّكيفات في الشَّكل والوظيفة. تقوم الكليتان بالعديد من الوظائف المهمة منها تنظيم اتزان الماء والأيونات غير العضوية، والتخلص من مخلفات الأيض الغذائي في الجسم واطراحها عن طريق البول، وتشترك الكلى أيضاً في تنظيم ضغط الدم، وتؤدي دوراً كبيراً في إبقاء تراكيز المواد المختلفة الذائبة في الدم ثابتة ضمن تراكيز معينة، وقد اشتمات على الصوديوم، الكالسيوم، البوتاسيوم، الفوسفات والبيكربونات، ويتم ذلك بعمليات رئيسة تتمثل بالترشيح وإعادة الامتصاص والإفراز الانبوبي (Goldny et al., 2009).

تُعد الكلى من الأعضاء الرئيسة المتأثرة بالمواد السامة، وتَحدث السمية الكلوية عندما لا تُزال السموم منها على نحو صحيح (Zager, 1997). أضافة إلى ذلك دور الكلية المتمثل بتخليق مجموعة من الهرمونات والإنزيمات وإفرازها، منها الهرمون المكون لكريات الدم الحمر الإريثروببتين (EPO) Erythropoietin وتحرير هرمون ، وهرمون الرينين الذي يحفز تكوين الرنين—انجوتسيين Renin—angiotensin وتحرير هرمون الالدوستيرون Aldosterone من قشرة الكظر (Farquhar et al., 1999).

تمتلك الدواجن زوجاً من الكلى الكبيرة المتطاولة تتموضع على نحو متناظر ضمن انخفاض عظمي لمنطقة العجز، ويخرج منهما البول عن طريق حالبين ينتهيان في الجزء الأوسط من المجمع، ولا يوجد في الطيور مثانة بولية.

تتكون كل كلية من ثلاثة فصــوص أو أقسـام تتمثل: بقسـم قحفي أمامي Cranial وقسـم وسـطي Middle وقسـم ذيلي (خلفي) Caudal. يُعد الفصـيص وحدة البناء الأسـاسـية لنسـيج الكلية، ويمكن مشـاهدة العديد من الفصـوص على السطح الخارجي لكل قسـم من أقسـام الكلية على هيئة مناطق غير منتظمة عديدة الأضـلاع، شـديدة التراص. يتكون كل فصـيص من نسـيج قشـري وآخر نخاعي (لُبي)، ولا توجد حدود فاصـلة واضـحة بين طبقتي القشـرة واللب في كلية الطيور مثلما هو الحال في الثدييات (Bacha & Bacha, 2012; Abdul-Aziz et al., 2016).

وقد أشارت الدراسات إلى أن الوحدات الوظيفية لكلية الطيور تكون مُشابهة نسيجياً لما هو عليه الحال في اللبائن. تُظهر كلية الطيور نوعين من الوحدات الكلوية هما: النوع القشري Cortical Tape، ويتميز بفقدانه لعروة هانلي في القشرة، وهذا النوع يشابه نفرونات الزواحف، أما النوع الآخر من الوحدات الكلوية فهو النوع اللبي: Medullary Tape ويتميز هذا السنوع بوجود عروة هانسلي في القشرة التي تخسسترق المخروط اللبي أيضاً، ويشبه هذا النوع الوحدات الكلوية في اللبائن (Bacha & Bacha, 2012; Abdul-Aziz et al., 2016).

2-13-2 المكونات الخلوية لدم الطيور:

خ خلايا الدم الحمر Erythrocytes:

هي خلايا كبيرة بيضوية مُسطحة بنواة بيضوية، تملك الخلية طرف عريض في أحد أقطاب الخلية أكثر منه في الجانب الآخر، وتختلف أبعاد الخلايا اختلافاً واسعاً ليس من طائر إلى آخر فقط ولكن في الطائر نفسه أيضاً، تتراوح أبعاد الخلايا الحمر بين $10.7 \times 6.1 \times 10.8 \times 10.2$ مايكرومتر أما الهيولى فهي تتلون بلون زهري أو برتقالي شاحب ولها بنية متجانسة وتتشكل النواة من شبكة منتظمة من مجموعات

الكروماتين الخشن، على العكس مما هو عليه الحال في دم الثدييات، فإنه من الطبيعي أن تجد في دم الطيور خلايا حمر غير ناضجة أو أشكال كروية لمراحل مبكرة من تطور هذه الخلايا. وتُشكل الخلايا الشبكية الشكل الأكثر شيوعاً من خلايا الدم الحمر غير الناضجة، كما أن الخلايا الشبكية في الطيور البالغة الطبيعية تكون نادرة ولا تتجاوز 5% من مجموع الخلايا الدموية، وكلما تقدمت الخلايا الحمر بالعمر، فإن النواة تميل لتصبح أكثر قتامة، لكن الخلايا المتصفة بتنكس حقيقي ونواة تغلظية فمن النادر مشاهدتها لأن الطحال يقوم بالتقاطها واحتجازها وتفكيكها، وقد توجد في الدم الطبيعي أحياناً كريات حمر شاذة غير طبيعية ويظهر ذلك بجسم الخلية، أو في النواة، أو في كليهما. كما أن فترة حياة الكريات الحمر الطيرية أقصر من مثيلاتها في الثدييات إذ أن معدل دورة حياة خلايا الدم الحمر عند الدجاج قد يصل إلى Sturkie & Griminger., 1986).

❖ الصفيحات الدموبة

خلايا كروية إلى بيضوية قليلاً (مغزلية) مع نواة بيضوية مركزية وهيولى صافية. يمكن ملاحظة حبيبة صغيرة واضحة واحدة أو أكثر عادة في أقطاب الصفيحات الدموية. تتجمع الصفيحات مع بعضها البعض في كتل عندما يحدث النزف وتتحطم بسرعة. تنشأ الصفيحات الدموية في الثدييات من الخلايا عملاقة النواة Megakaryocytes الموجودة في الرئة ونخاع العظم ولا توجد هذه الخلايا في نخاع عظم الطيور لذلك تنشأ الصفيحات الدموية في الطيور من خلايا سليفة وحيدة النواة Mono nucleated cells (Sturkie & Griminger., 1986).

:White Blood Cells (leucocytes) خلايا الدم البيض

تكون خلايا الدم البيض ما يقارب % 1-1.5 من حجم الدم. تُقسم خلايا الدم البيض عند الدواجن إلى: أ- الخلايا البيض المحببة Granulocytie Cells:

تتضمن خلايا الدم البيض المحببة الموجودة في الدم المحيطي عند الدجاج: المستغيرات والحمضات، والأسسات، وتنشأ هذه الخلايا من خلايا سليفة موجودة في نقي العظام.

أ-أ- الكريات البيض المستغيرة Hetrophils: وهي ذات شكل دائري وقطرها تقريباً حوالي (13) مايكرومتر، وهيولى غير ملونة وتحوي حبيبات عصوية الشكل لونها أحمر أو برتقالي تغطي أجزاء من النواة، وتملك النواة عادة من 1-3 فصوص مع نموذج الكروماتين الخشن.

تمثل وظائف الخلايا المستغيرة وظائف العدلات عند الثدييات، ومع ذلك فهناك اختلافاً بينهما يكمن في محتويات الحبيبات، وهي طبيعة الاستجابة لبعض المحفزات إذ تفتقد المستغيرات مثلاً لوجود البروكسيداز

القلوي، والفوسفاتاز القلوي. فضلاً عن أن الكريات المستغيرة بخلاف العدلات فهي لا تستجيب للتحفيز بوساطة بوساطة (FLMP) Formyl-methionyl-phenylalanine وهي تنتج كميات قليلة من الجذور الاوكسجينية 1998; Kogut et al., 1998) H2O2 كما تملك مستغيرات الدجاج مقدرة القضاء على الجراثيم فهي تحتوي على الببتيدات اللازمة لذلك، إذ أن حبيبات الهيولى الكبيرة (الأولية) تحتوي على نحو رئيس إنزيمات حالة Lysozyme enzyme والعديد من البروتينات المهبطية (Evans et al., 1995) Cationic Proteins).

إن مقدرة مستغيرات الدجاج في القضاء على الجراثيم مماثلة لمقدرة عدلات الانسان والكلاب. لكن قدرتها على البلعمة وإنتاج المؤكسدات أقل. وتكون قدرة كريات المستغيرة على البلعمة والقتل غير فعالة عند الصيصان بعد الفقس مباشرة (Brooks et al., 1996).

أ- ب- الكريات البيض الحمضة Eosinophils: تتميز هذه الكريات بمظهرها الدائري إلى غير المنتظم، ويقدر قطرها بحوالي (62) مايكرومتر تقريباً. نواتها مفصصصة وهيولاها زرقاء فاتحة مع حبيبات دائرية إلى بيضوية، تتميز عن الكريات المستغيرة أن حبيباتها تأخذ لوناً أكثر سطوعاً من حبيبات المستغيرات بعد صبغها، وبما أن حبيبات المستغيرات غير الناضجة تظهر بشكل دائري أيضاً فقد تلتبس مع حبيبات الكريات الحمضة، قد تشترك الحمضات في تفاعلات فرط التحسس من النمط الأجل عند الطيور، لكن أهميتها في المناعة لم تثبت حتى الآن (Maxwell, 1984).

أ-ج- الكريات البيض الأســـســة Basophils: كريات دائرية قطرها حوالي (12) مايكرومتر مع نواة مركزية لونها أزرق فاتح تُغطى جزئياً بوساطة حبيبات الهيولى شـديدة القاعدية، والتي يمكن أن تنحل أو تندمج عند استخدام صبغة رايت (Katiyar et al., 1992).

ب-الكربات البيض غير المحببة وتضم:

ب-أ- الوحيدات Monocyte: تُعد الوحيدات أكبر الكريات الدموية البيض حجماً عند الدجاج، قطرها حوالي (14) مايكرومتر في فيلم دموي مأخوذ من الدم المحيطي، وهي تلتبس في بعض الأحيان مع اللمفاويات الكبيرة لذلك يجب التفريق بينهما بدقة. للكريات الوحيدة خلايا دائرية مع هيولي زرقاء رمادية، تحتوي على حبيبات أليفة اللازورد، وأنويتها متعددة الأشكال من بيضوية إلى دائرية إلى مقرصة أو مسننة. تتشابه الكريات البيض الوحيدة الموجودة عند الدجاج وظيفياً مع تلك الموجودة لدى الثدييات، فهي قادرة على القيام بالنشاط المؤكسد والبلعمة والقتل، بالإضافة إلى البلعمة فالوحيدات عند الدجاج قادرة على إنتاج وسائط نتروجينية منشطة (Sung et al., 1991) Nitrogen intermediates reactive).

ب-ج- اللمفاويات Lymphocytes: هي الكريات البيض السائدة في الدم المحيطي عند الدجاج، وكلا اللمفاويات الصغيرة هي خلايا مستديرة مع نواة اللمفاويات الصغيرة هي خلايا مستديرة مع نواة دائرية وكروماتين متكتل، تتميز بارتفاع نسبة حجم النواة إلى الهيولى، وكمية قليلة من الهيولى القاعدية، حتى انها قد تبدو فقط على شكل نتوء أو بروز هيولي. تملك اللمفاويات المتوسطة كمية هيولى أكبر وأكثر ألفة للصبغات القاعدية ومن الضروري تمييز الكريات اللمفاوية المتوسطة او الكبيرة عن البيض الوحيدة، فالكربات الوحيدة تمتلك هيولى الفتها للصبغات القاعدية أكثر قليلاً من اللمفاوبات (Sung et al., 1991).

14-2 الدراسات التشريحية العيانية والنسيجية لحالات التسمم بالبروديفاكوم لدى الحيوانات المختلفة:

أظهرت نتائج (Zowail et al., 2019) دراسة التغيرات النسيجية المرضية لبعض الأعضاء الداخلية (كبد، خصى) في ذكور فئران التجارب البيض بعد إعطاء البروديفاكوم بجرعات 0.04 و 0.02 ملغ / كغ من وزن الجسم، حدوث تغيرات نسيجية كبدية على شكل احتقان Congestion في الوريد المركزي، ونزف الاستماد Hemorrhage في اشباه الجيوب الكبدية ، وتكثف النوى Pyknotic nuclei، وانتكس مائي المنوية المحال نوى الخلايا Karyolysis، وارتشاح دهني Hydropic degeneration، و النخر Necrosis في خلايا الكبد. لوحظت تغيرات نسيجية خصوية تنكسية المنوية المحيطية مع عدم انتظام الغشاء القاعدي، وتراجع وانعدام تكوين الحيوانات المنوية، وظهور النطاف العملاقة.

أظهرت نتائج الفحص النسيجي لعينات الكبد في دراسة (Ragab et al., 2019) توسعاً في الأوردة المركزية وامتلائها بالدم المنحل، وتكثف أنوبة الخلايا الكبدية إضافة لمناطق نخر كبدى.

أما نتائج دراسة (Gül et al, 2016) التي أُجريت على كبد الفئران تحرياً عن التأثيرات السمية للبروديفاكوم وعند الفحص بالمجهر الإلكتروني بعد أربعة أيام من التعرض فقد أظهرت بنية غير طبيعية لنوى الخلايا الكبدية، وإنغماد الغلاف النووي وتكتل الكروماتين بالقرب من الغلاف النووي. أظهرت خلايا الكبد أعداداً متزايدة من الجسميمات الحالة Lysosomes كما لوحظ تضمخم ثم تحلل المتقدرات والجسيمات الحالة بالإضافة إلى تضخم الفراغ المحيط بالنواة وقنوات الشبكة الاندوبلازمية الخشنة، وعدم انتظام الجيوب الكبدية واحتوائها على كريات دم حمر منحلة وخلايا كوبفر Kupffer cells، وتسبب التعرض للبروديفاكوم لمدة سبعة أيام في تكوبن العديد من الفجوات والقطرات الدهنية، وتخرب المتقدرات.

أشار (Ware et al., 2015) في دراسة عن المؤشرات الحيوية للتسمم بالبروديفاكوم عند الجرذان إلى أن البروديفاكوم يحفز بيلة خضابيه مبكرة وبيلة دموية في وقت متأخر من التسمم، أما التقييم النسيجي لتغيرات الكلى فقد أظهر وجود نخر أنبوبي حاد وتنكس في ظهارة النيبات الملتفة الدانية، وانسداد نبيبي كلوي بفعل كُتل من خلايا الدم الحمر.

أظهرت دراسة أخرى لحالة نفوق إثر تسمم حاد لكلبة بعمر 5 سنوات، نزيفاً في تجويف الصدر والصفاق، بالإضافة لورم دموي Hematoma كبير تحت المحفظة الكلوية (Radi & Thompson, 2004)، أما تطبيق مبيدات القوارض المضادة للتخثر على جلد فئران المختبر، فقد أظهر بأن لها تأثيرات سمية كبدية وكلوية (Kataranovski et al., 2003).

وأشير من قبل (Rattner et al., 2020) إثر سلسلة من الدراسات على طيور العوسق الأمريكية، بعد تغذيتها على البروديفاكوم لمدة 7 أيام لظهور نزيف دموي ازدادت شدته بازدياد الجرعة. أظهرت نتائج النقييم المرضي للأنسجة نزيفاً مختلف الشدة وآفات نسيجية في جميع المجموعات التي تناولت الجرعات، تم العثور على نزيف خفيف ومعتدل ونزيف حاد في القلب والكلى، مع وجود منطقة من النزيف الحاد في العضلة الصدرية لطائر في المجموعة التي تلقت أعلى جرعة، ولم يلاحظ أي نزيف في الكبد أو الأمعاء في أي طائر من هذه المجموعة. تضمنت النتائج المجهرية الأخرى، تصلب الشريانين في أي طائر من هذه المجموعة. تضمنت النتائج المجهرية الأخرى، تصلب الشريانين الخلائم والتاجي، وتكون الدم خارج النخاع Extramedullary hematopoiesis الخيف، والتهاب الكلية الخلالي اللمفاوي Pericarditis البسيط، وتنكس أنبوبي كلوى بسيط.

وفي دراسة أجراها (Lambert et al., 2007) على عدد من الطيور البرية والمائية، تبين بعد تشريح الحيوانات النافقة عدم ملاحظة أية تغيرات تشريحية عيانية واضحة، وأثبتت نتائج فحص عينات الكبد وجود تراكيز من مبيدات القوارض المضادة للتخثر كان أحدها البروديفاكوم.

بينت نتائج دراسة (Kalinin et al., 2017) لتمييز التأثيرات العصبية للبروديفاكوم في ذكور الجرذان البالغة، تراكم البروديفاكوم في جميع أنحاء الجسم بعد قياس مستوياته في الأنسجة، بما في ذلك الجهاز العصبي المركزي، كما لوحظت التأثيرات السامة المباشرة للبروديفاكوم على الخلايا العصبية والدبقية، وأظهرت نتائج هذه الدراسة أيضاً أن تراكم مضادات التخثر من الجيل الثاني يزيد من مؤشرات الالتهاب العصبي وتلف الخلايا العصبية؛ مما يشير إلى أن الطرائق التي تُقلل من سمية البروديفاكوم المستخدمة في علاج حالات التسمم قد لا تعالج التغيرات الحاصلة في النسيج العصبي.

كما أشار (Zawadzki et al., 2007) إلى حالة تسمم لكلب، كشفت فيها نتائج الاختبارات السمية عن وجود ثمالات البروديفاكوم في دمه. وقد عانى من إقياء دموي شديد وإسهال دموي مستمر، كما تبين بالتنظير المعدي وجود التهاب معدة نزفي Hemorrhagic gastritis، وتراكم كمية كبيرة من الدماء في تجويف القناة الهضمية، وقد نفق الحيوان أثناء نوبة تشنجية لم تستجب للمعالجة بالديازيبام، وأظهر تشريح الجثة نزفاً دموياً في الأغشية المخاطية، وتجمع سوائل دموية في التجويف البريتوني والجنبي والتاموري، وامتلاء تجويف المعدة والأمعاء بالكثير من الدم المتخثر. كشف الفحص النسيجي عن احتقان شديد في الأعضاء الداخلية، واحتقان الأوعية الدموية في الرئتين وعضلة القلب ونزيف ونخر كبدي، بالإضافة لتلف كبدى سمى حاد.

أظهرت نتائج (Đpakauskas et al., 2005) بعد تشريح الفئران والجرذان البيض المُجرعة بالبروديفاكوم عن طريق الفم، نزوفاً في الأعضاء الداخلية والأغشية المخاطية والعضلات، وتجمعات دموية في تجويف البطن؛ لزيادة نفوذية الأوعية الدموية.

كما أكدت مجموعة من الدراسات على أن مضادات التخثر تحدث النزف الداخلي في تجاويف الجسم مما للصدر Declementi & Sobczak, 2012; والنزيف خلف الصفاق Hemothorax ، والنزيف خلف الصفاق Hemothorax ، انصباب التامور (Petrus & Henik, 1999) ، موه الكلية الثانوي وجلطات في المثانة البولية (Hansen & Becks, 2003) ، انسداد القصيبة الهوائية , (Marks & Gieger, 2001) . (Marks & Gieger, 2001)

15-2 الدراسات الفيزبولوجية الدموبة:

أظهرت نتائج الدراســة الدموية (Ware et al., 2015) عند التســمم بالبروديفاكوم للجرذان بعد إعطاء (PCV) Hematocrit في نصف ساعة. 0.4 ملغ /كغ من العقار، انخفاضاً كبيراً في قيم مكداس الدم Schulman & Furie, 2015; Lee et al., 2014) في نصف ساعة. كما أشارت نتائج (Schulman & Furie, 2015; Lee et al., 2014) إلى أن التسمم بالبروديفاكوم عادة ما يؤدي إلى إرتفاع زمن البروثرومبين وزمن الثرومبوبلاستين الجزئي النشط.

بعد 48 ساعة. كما أظهرت نتائج التحليل الدموي في الأيام الأولى من التسم عدم وجود تأثير معنوي في تعداد الكريات البيض والحمر، ومكداس الدم، والهيموغلوبين. هذه النتائج تؤكد أن التعرض والنزف الحاصل كان حديثاً ومن المحتمل أن يكون مستمراً إذ أدى في الأيام التالية الى انخفاض في المعايير الدموية تمثلت على نحو ارتفاع متوسط في قيم PT، PTT في الفترة من اليوم الرابع إلى اليوم الثامن. ظلت أوقات تخثر الثرومبين دون تغيير في اثنين من الخيول ولم تحدث إطالة في وقت التخثر حتى اليوم الثالث والعشرون، وانخفض تركيز الهيموغلوبين وعدد كريات الدم الحمر من اليوم السادس حتى اليوم الرابع عشر، وانخفض عدد الصفيحات الدموية في اليوم السادس حتى اليوم التاسع، بالإضافة لانخفاض متوسط مكداس الدم الذي استمر من اليوم الثامن حتى اليوم الرابع عشر.

أظهرت نتائج فحص حالة تسمم عرضي لدى كلب ناتجة عن تعرضه لمبيد القوارض المضاد للتخثر (Lanirat 0.005) قلة عدد الكريات البيض والعدلات وإطالة زمن التخثر (Binev et al., 2005) كما أظهرت نتائج (Woody et al., 1992) لدراسة تأثر تخثر الدم عند التسمم بالبروديفاكوم لدى الكلاب زيادة في زمن الثرومبوبلاستين ووقت التخثر النشط، وأشار (Robben et al., 1997) إلى ضرورة التحليل الدموي للتشخيص الدقيق للتسمم بمضادات التخثر، إذ يظهر فقر دم، نقص تنسج، انخفاض قيم مكداس الدم، زيادة عدد خلايا الدم البيض مع زيادة في العدلات وقلة الصفيحات.

أشارت نتائج (Bailey et al., 2005) في الدجاج المعرض للبروديفاكوم، إلى ارتفاع في وقت التخثر ووقت البروثرومبين، وأظهرت نتائج (Rattner et al., 2020) في دراسة على طيور العوسق الأمريكية بعد تعرضها للبروديفاكوم اطالة في زمن التخثر ليعود إلى القيم الأساسية في غضون أسبوع، كما بينت تقارير (Kuhn & Hendrix, 2013) بالنسبة لحالة تسمم عرضي بالبروديفاكوم لدى الكلاب، حدوث اطالة في زمن الثرومبوبلاستين الجزئي وزمن البروثرومبين، في حين كان تعداد كريات الدم والصفيحات وقيم مكداس الدم في مستوى الحدود الطبيعية.

ينبغي أن يؤخذ بالاعتبار أن النتيجة السلبية لاختبارات الدم السمية لا تحكم على التسمم بهذه المركبات، فهي تخترق خلايا الكبد بسرعة وتسبب تغيرات كيميائية مرضية مديدة لعدة أشهر بعد التسمم (Thomas et al., 2011; Lambert et al., 2007).

لدى قياس (Murphy et al., 1985) لأثار تجلط الدم في مصل دم الكلاب كشفت النتائج عن وجود البروديفاكوم بتراكيز منخفضة، إذ أن هذه الاختبارات مهمة للتأكد من حالات التسمم المشبوهة التي تدل على تدخل مضادات التخثر.

وأظهرت نتائج (Bagardi et al., 2022; Park et al., 2011) لتعداد الدم الكامل (CBC) Complete blood count في حالات التسمم بمبيدات القوارض مضادات التخثر من الجيل الثاني لدى الكلاب، انخفاضاً في تعداد كريات الدم الحمر وارتفاعاً بسلطاً في تعداد الكريات البيض والعدلات مع وجود فقر الدم متجدد معتدل مع قلة الصفيحات المعتدلة.

وكشف تعداد الدم الكامل لدى كلبين متسممين بمبيدات القوارض هذه عن كثرة خفيفة الى متوسطة للكريات البيض، كثرة العدلات غير الناضجة، زيحان يساري تجديدي Shift to Left ، كثرة اللمفاويات والأسسات بصورة خفيفة، قلة الصفيحات بصورة شديدة، فقر دم سوي الصباغ Normochromic anemia شديد (Declementi & Sobczak, 2012).

أظهرت نتائج الفحوصات الدموية لمجموعة من الدراس الدراس المعاربة المجموعة من الدراس المعاربة المجموعة المجموعة المجموعة (James et al., 1998; Robben et al., 1998; Kohn et al., 2003) فقر دم ناقص المعاربة المعاربة عدد الكربات البيض، قلة الصفيحات.

كما بينت نتائج (El Gendy et al., 1996) في دراسة تأثير البروديفاكوم والديفيناكوم على نمط الدم في الجرذان البيض انخفاضك كبيراً في تعداد خلايا الدم الحمر ومحتوى الهيموغلوبين وقيم PCV. في المقابل، حدثت زيادة في عدد خلايا الدم البيض WBC وزمن البروثرومبين PT وزمن الثرومبوبلاستين الجزئى PPT.

الفصل الثّالث المواد وطرائِق العَمل Material and Methods

3- مواد وطرائق العمل Materials and method:



الشكل رقم (4): يوضح الحالة الصحية الجيدة للصيصان بعمر أسوع

3-2- المادة المستخدمة في التجربة:

مبيد القوارض بروديفاكوم 0.005% بشكل محبحب.



الشكل رقم (5): مبيد القولض بروديفاكوم 0.005% المستخدم في التجبة

3-3 تصميم التجرية:

وُزعت طيور التجربة عشوائياً الى أربع مجموعات، ضمت كل مجموعة (12) طائراً، أُعطِيَت المجموعات باستثناء مجموعة الشاهد جرعة واحدة ولمرة واحدة من البروديفاكوم 0.005%، إذ حُددت الجرع المعطاة اعتماداً على الجرعة القاتلة للنصف (LD50) عند الدجاج وهي 4.5 ملغ من البروديفاكوم كغ وزن حي (Worthing, 1991). أُعطِيَت الجرعات كما هو موضح في الجدول التالي رقم (2):

الجدول رقم (2): يوضح تقسيم مجموعات التجربة والجرعات المستخدمة في كل منها

الجرعة	المجموعة
لم تُعطَ شيئاً	الأولى (الشاهد)
أُعطِيَت 2.25 ملغ من البروديفاكوم /كغ وزن حي	الثانية
أُعطِيَت 4.5 ملغ من البروديفاكوم /كغ وزن حي	الثالثة
أُعطِيَت 9 ملغ من البروديفاكوم /كغ وزن حي	الرابعة

وقد أُعطِيَت المادة عن طريق الفم، إذ قُدمت الجرعات المحددة لكل مجموعة صباحاً بعد فترة صيام لمدة 8 ساعات؛ وذلك لضمان تناول الطيور الجرعة كاملة، ومن ثم قُدم لها العلف اليومي بعد انهاء الطيور الكمية المحددة من البروديفاكوم لكل مجموعة.

3-4- حساب الجُرعة:

وُزِنت الطيور بعمر (14) يوم وحُسب متوسط الأوزان من أجل حساب الجرعة الواجب إعطاءها لكل مجموعة على النحو مجموعة على متوسط وزن الطيور (285) غ، تم حساب الجرعة لكل مجموعة على النحو الآتى:

المجموعة الثانية: تُعطى 2.25 ملغ من البروديفاكوم /كغ وزن حى.

لذا كل 1000 غ من وزن الطائر تحتاج 2.25 ملغ من البروديفاكوم

وكل 285غ تحتاج (س) ملغ من البروديفاكوم

س= 0.64 ملغ بروديفاكوم مادة فعالة / طائر

ولحساب الكمية اللازمة من بروديفاكوم 0.005% /طائر:

كل 1000 غ من بروديفاكوم 0.005% تحوي 50 ملغ بروديفاكوم مادة فعالة

لذا نحتاج (س) من بروديفاكوم 0.005% لنحصل على 0.64 ملغ بروديفاكوم مادة فعالة m=8.25 غ بروديفاكوم 0.005% / طير، لذا تحتاج طيور المجموعة الثانية (8.12*12=3.56=153.6=12*12.8).

وبنفس الطريقة تم احتساب الجرعة للمجموعتين الثالثة والرابعة كما هو مبين في الجدول رقم(3).

الجدول رقم (3): يوضح حساب جرعات البروديفاكوم الواجب إعطائها لكل طائر من طيور مجموعات التجربة

الجرعة (غ بروديفاكوم 0.005% / مجموعة)	الجرعة (غ بروديفاكوم 0.005/طائر)	الجرعة (ملغ بروديفاكوم /طائر)	الجرعة (ملغ بروديفاكوم /كغ وزن حي)	المجموعة
_	_	_		الأولى (الشاهد)
153.6	12.8	0.64	2.25	الثانية
307.2	25.6	1.28	4.5	الثالثة
614.4	51.2	2.56	9	الرابعة



الشكل رقم (7): يوضح عملية وزن البروديفاكوم



الشكل رقم (6): يوضح عملية وزن الصيصان

3-5- دراسة الأعراض المرضية المشاهدة على طيور التجربة:

وُضِعت الطيور تحت المراقبة طيلة فترة التجربة وسُجِلَت الأعراض المرضية الظاهرة عليها ونسبة النفوق الحاصل بعد تناول الجرعات المختلفة من البروديفاكوم.

6-3 دراسة التغيرات التشريحية المرضية العيانية والنسيجية في الكبد والكلى:

ذُبحت أربعة طيور من كل مجموعة بعد 24 ساعة وفي اليوم الخامس، واليوم التاسع من إعطاء البروديفاكوم (بعد سحب عينات الدم)، أُجريت الصفة التشريحية للطيور المذبوحة والطيور النافقة مباشرة، وسُجلت التغيرات التشريحية الظاهرة على الكبد والكلى، ثم أُخذت العينات من أنسجة الكبد والكلى وثُبتت في الفورمالين المتعادل (10%)؛ بهدف الفحص النسيجي ودراسة التغيرات النسيجية.



الشكل رقم (8): يوضح عملية تشريح طيور التجربة وجمع العينات

3-7- جمع عينات الدم:

أُختيرت عينة عشوائية مؤلفة من أربعة طيور من كل مجموعة وجُمعت العينات الدموية منها بعد 24 ساعة وفي اليوم الخامس، واليوم التاسع من إعطاء البروديفاكوم، وسُحبت من الوريد الجناحي Wing بواسطة محقن قياس (3) مل بعد تعقيم مكان السحب بالكحول وإزالة الريش المعيق لعملية السحب، ثم جُمع الدم في أنابيب حاوية على مانع تخثر سترات الصوديوم 3.8%.

:Assignment of Clotting Time (CT) تعيين زمن تخثر الدم

قيسَ زمن تخثر الدم مباشرة بعد سحب الدم من الوريد الجناحي للطائر، وَوُضِعت نقطة من الدم على شريحة زجاجية والبدء بحساب الزمن منذ لحظة وضع النقطة على الشريحة، ثم حُركت نقطة الدم بوساطة رأس الواخزة كل (30 ثانية) حتى بدء تشكل خيط الفبرين؛ وذلك دليلاً على تخثر الدم.



الشكل رقم (10): يوضح عملية تعيين زمن التخثر على الشريحة



الشكل رقم (9): يوضح عملية سحب الدم من وريد الجناح

:Total Red Blood Cells Count (TRBCs) التعداد الكلى لخلايا الدم الحمر -2-7-3

أُجري عد خلايا الدم الحمر باستعمال ماصة خاصة لهذا الغرض إذ يُسحب الدم الى العلامة 0.5 ثم يكمل الحجم الى العلامة 11 باستعمال محلول التخفيف Natt & Herrick إذ يتخفف الدم 200 مرة يكمل الحجم الى العلامة 11 باستعمال محلول التخفيف (Natt & Herrick, 1952) بعدها تُرج الماصة قليلاً وتسكب القطرات الأولى من الماصة ثم يوضع قطرة من مزيج الدم والمحلول على الشريحة الزجاجية المدرجة المدرجة المحلات تحت الغطاء الزجاجي وحساب عدد الخلايا في خمس مربعات، يحتوي كل مربع على 16 مربع بداخله لذا تُعد خلايا الدم الحمر في المربعات الأربعة الطرفية والمربع الوسطي بوساطة مجهر ضوئي ويمكن مشاهدة خلايا الدم الحمر بأنها ذات هيولى شفافة ونواة ذات لون أرجواني، من ثم حساب العدد الكلي بتطبيق المعادلة الاتية :

عدد خلايا الدم الحمر في 1 ملم 3 من الدم = مجموع عدد خلايا الدم المحسوبة في 5 مربعات كبيرة imes 10000

 $N/S \times 25 \times 200 \times 10$ والرقم 10000 ناتج عن المعادلة:

إذ أن:

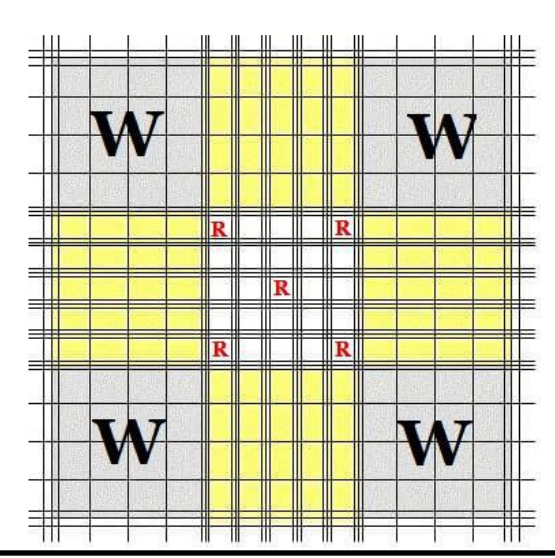
N= مجموع عدد خلايا الدم الحمر المحسوبة في 5 مربعات كبيرة (80 مربع صغير).

S= عدد المربعات الكبيرة التي تم العد بداخلها.

25= العد الكلى للمربعات الكبيرة.

200= عدد مرات تخفيف الدم.

10 يضرب العدد الناتج بهذا الرقم ليمثل عدد خلايا الدم الحمر في 1 ملم أن الدم إذ أن المساحة الكلية للمربع الخاص بعد خلايا الدم الحمر = 1 ملم 0.1×0.1 ملم (ارتفاع المحلول فوق المربع) = 1 ملم وهذا يمثل حجم الدم الذي تم عد خلايا الدم الحمر له لذلك يضرب الناتج 0.1×0.1 ليمثل عدد خلايا الدم الحمر في 1 ملم أن ملم 0.1×0.1



الشكل رقم (11): رسم تخطيطي لعدادة نبوباور المحسنة بوضح أماكن عد خلايا الشكل رقم (W) وأماكن عد خلايا الدم البيض (W)

Total White Blood Cells Count (TWBCs) التعداد الكلي لخلايا الدم البيض -3-7-3

أُجري باستخدام طريقة (Natt & Herrick, 1952) اليدوية المباشرة وذلك بسبب وجود النواة في خلايا الدم الحمر وفي الصفيحات الدموية والتي تتداخل مع عدد خلايا الدم البيض إذا ما تم العد الالكتروني للخلايا. يُستخدم فيها ماصة خاصة لهذا الغرض يُسحب الدم الى العلامة 0.5 ثم يكمل الحجم الى

العلامة 11 باستخدام محلول التخفيف Natt & Herrick وبهذا يخفف الدم 20 مرة، في حين توجد مربعات خاصة لعد خلايا الدم البيض على الشريحة الزجاجية، وكل واحدة منها تحوي على 16 مربع أصغر تُعد خلايا الدم البيض في جميع المربعات الأربعة الطرفية مع ملاحظة أن خلايا الدم البيض تصطبغ باللون الأزرق الغامق وممكن أن تكون حبيبية الشكل، ولحساب العدد الكلي تُطبق المعادلة الاتية:

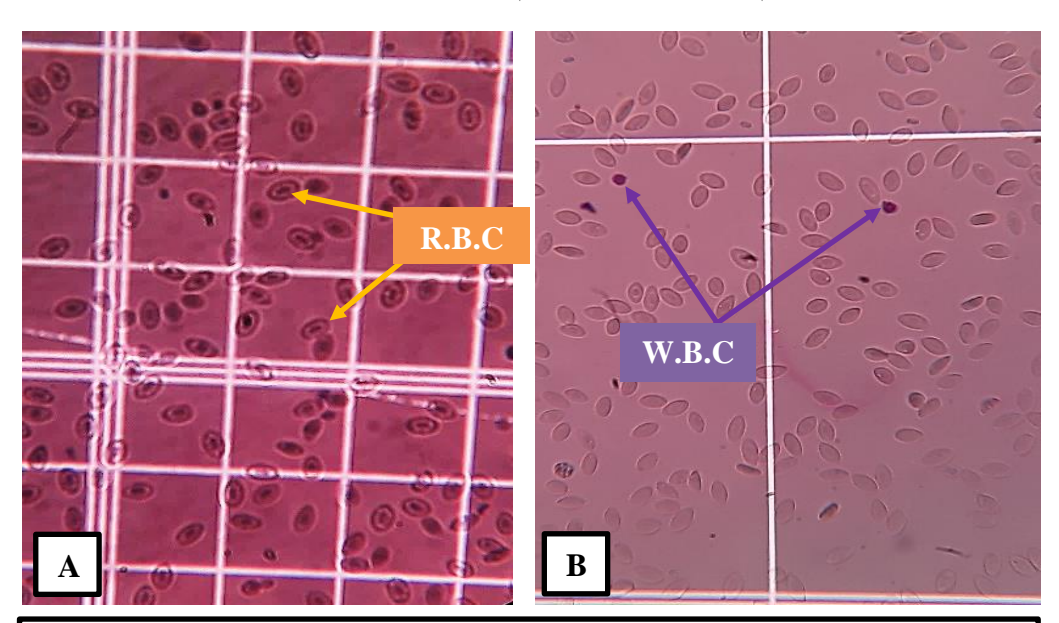
عدد خلايا الدم البيض في 1 ملم 3 دم = مجموع عدد خلايا الدم البيض المحسوبة في 4 مربعات كبيرة \times

 $10\times20\times4/N$ والرقم 50 ناتج عن: عدد خلايا الدم البيض في 1 ملم 3 دم $\times20\times4/N$ إذ أن:

N: العدد الكلي لخلايا الدم البيض المحسوبة في الأربعة مربعات.

20: عدد مرات التخفيف.

10: يستعمل للحصول على العدد الكلي في 1 ملم 3 دم اذ ان حجم الدم في كل مربع من المربعات الأربعة الخاصة بعد الخلايا الدم البيض هو 0.1 ملم 3 .



الشكل رقم (12): (A) يوضح كيفية تصبغ خلايا الدم الحمر وتوزعها ضمن شبكة العد، (B) يوضح كيفية تصبغ خلايا الدم البيض باللون الغامق وتوزعها ضمن أحد المربعات الطرفية لشبكة العد

White blood cell differential Count التعداد التفريقي لخلايا الدم البيض

أُجري العد التفريقي لخلايا الدم البيض يدوياً عن طريق وضع قطرة من زيت الأرز على شريحة الدم المصبوغة، ثم توضع تحت المجهر وتفحص بالعدسة الزيتية الغاطسة (1000×) وتُحرك الشريحة على نحو طولاني أو بطريقة الزكزاك (Benjamin, 1978). تم عَد 100 خلية وحُسِبت النسبة المئوية لكل نوع من أنواع خلايا الدم البيض.

-5-7-3 مكداس الدم PCV) Hematocrit مكداس

أُجري قياس مكداس الدم باستخدام أنابيب شعرية دقيقة Microhematocrit غير حاوية على الهيبارين؛ (الدم مجموع على مانع تخثر سـترات الصـوديوم 3.8%)، مُلئ حوالي ثلثي الانبوب بالدم وأُغلقت إحدى أطرافه باسـتعمال معجون خاص ووُضـع الأنبوب الشـعري في جهاز الطرد المركزي -Micro أطرافه باسـتعمال معجون خاص ووُضـع الأنبوب الشـعري في جهاز الطرد المركزي -Amicro المرافق الغرض بسـرعة 3000 دورة/دقيقة لمدة 5 دقائق، بعدها تمت القراءة بوساطة المسطرة الخاصة بالجهاز مسطرة هاكسلي Amwksley Hematocrit Reader وتُمثل حجم خلايا الدم المرصوصة نسبة الحجم الكلي الذي تشغله خلايا الدم الحمر من حجم الدم الكلي (Jain, 1986).



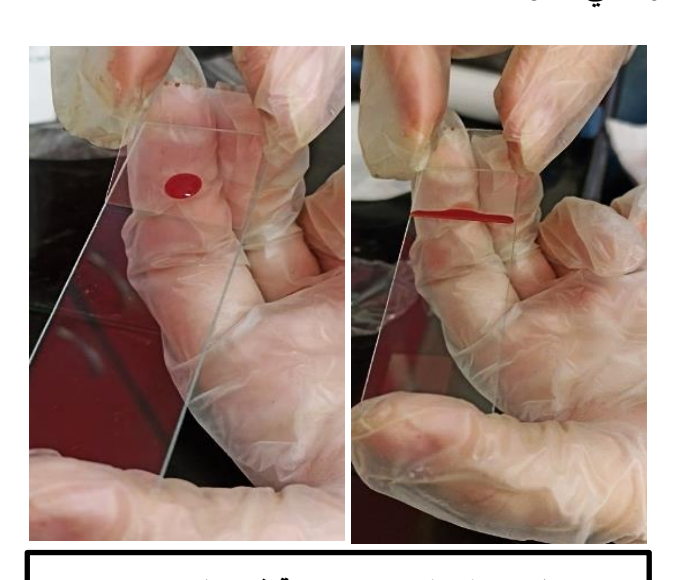
الشكل رقم (13): يوضح عملية قراءة قيم مكداس الدم بواسطة مسطرة هاكسلى

:Platelet count (PLT) عد الصفيحات الدموية

أُجري العد الكلي للصفيحات الدموية من الصورة الدموية في الفيلم الدموي وذلك بالحصول على العدد المتوسط للصفيحات الناتج عن عد خمس ساحات تحت العدسة الغاطسة، وهذا يمثل عدد الصفيحات لكل 100 خلية حمراء وهي تعطي العدد التقريبي في العديد من أنواع الطيور، الرقم الناتج لعد الصفيحات الدموية من بين 1000 خلية حمراء تم ضربه بالعدد الكلي للخلايا الحمر ومن ثم القسمة على 1000 لنحصل بذلك على عدد الصفيحات في الميكرو ليتر دم.

* تحضير الفيلم الدموي:

خضر فيلم دموي رقيق مباشرة من كل عينة دموية وصبغ بصبغة جيمزا بهدف عد الصفيحات الدموية والعد التغريقي لخلايا الدم البيض، وذلك باستعمال شريحة توضع نقطة الدم عليها وساترة لفرد ونشر الدم على الشريحة؛ إذ توضع حافة الساترة على سطح الشريحة أمام نقطة الدم بزاوية حادة، ثم تسحب الساترة الى الخلف حتى تلامس نقطة الدم؛ إذ يُنشر الدم على طول خط تلامسه مع الشريحة الزجاجية، ثم تُدفع الساترة للطرف الاخر من الشريحة برفق وبسرعة ثابتة، ثم تترك الشرائح لتجف في الهواء بدرجة حرارة الغرفة. ثم تثبت الشرائح بعد أن تجف بتغطيسها في كأس مملوء بالكحول الميثيلي وتترك لمدة 5 دقائق ثم ترفع الشرائح وتوضع على ورق نشاف. تُصبغ الشرائح الدموية باستخدام صبغة جيمزا (5 مل من الصبغة المركزة تكمل الى 50 مل من الماء المقطر) ثم تغمس الشرائح على نحو كامل وتترك لمدة 15 دقيقة، تغسل الشرائح وتترك في الهواء لتجف.



الشكل رقم (14): يوضح كيفية فرد قطرة الدم على الشريحة الرجاجية للحصول على فيلم دموي

:Histological Examination الفحص النسيجي

حُضرت المقاطع النسيجية حسب طريقة (Mondal, 2017) بالغسل والإدماج بالبارافين، وعُملت شرائح نسيجية بسماكة (5-5) ميكرون من عينات الكبد، والكلى باستخدام جهاز Mikrotom، ثُم لُونِت بصبغة الهيماتوكسلين والأيوزين وفُحِصَت الشرائح النسيجية المُحَضَرة باستعمال المجهر الضوئي العادي، والتُقطَت الصور بكاميرة (Nikon D3000).



الشكل رقم (15): الشوائح النسيجية المصبوغة بـ H & E

:Statistical analysis التحليل الإحصائي -9-3

باستخدام برنامج التحليل الإحصائي (IBM SPSS STATISTICS) بالإصدار 24 عن طريق اختبار تحليل التباين أُحادي الاتجاه (One-Way-ANOVA)، إذ تم مقارنة المتوسطات الحسابية للمتغيرات المدروسة ما بين مجموعات التجربة فيما بينها، وتم مقارنة المتوسطات الحسابية للمتغيرات المدروسة ما بين الأزمنة المدروســـة فيما بينها عن طريق اختبار تحليل التباين أحادي الاتجاه (-One-Way)، إذ اعتُبرَت الفروقات معنوية وذلك عند مستوى الدلالة (الاحتمالية) $(P \le 0.05)$.

الفَصل الرَّابع النَّتائِج Results

: Results النتائج

1-4- الأعراض المرضية الظاهرة على الطيور (قبل الذبح):

لوجِظ على طيور مجموعات التجربة بعد 24 ساعة من إعطاء البروديفاكوم خمول Lethargy (الشكل رقم 16)، انخفاض في الشهية Anorexia، و لوحظت اضرابات عصبية المعدم القدرة على الوقوف والاستلقاء مع ارتعاشات عضلية (الشكل رقم 17) وذلك قبل النفوق، ونَفق طائر واحد من المجموعة الرابعة فقط.

استمرت الأعراض نفسها حتى اليوم الرابع من إعطاء البروديفاكوم، لوحظ إضافة للأعراض السابقة نزف في العين Opthalmorrhagia ، ونزف من الأُذن Otemorrhea، ونزوفات تحت الجلد لاسيما في المنطقة تحت جلد الجناح والرقبة والصدر (الشكل رقم 18)، نفق اثنان من الطيور في اليوم الرابع (طائر من المجموعة الثالثة) (الشكل رقم 19).

بلغت الأعراض الإكلينيكية السابقة ذروتها في اليوم الخامس بعد الإعطاء لدى جميع طيور مجموعات التجربة، وحدث نفوق اثنان من الطيور (طائر من المجموعة الثالثة، وطائر من المجموعة الرابعة).

استمرت الأعراض الإكلينيكية نفسها لدى طيور مجموعات التجربة منذ اليوم الخامس وحتى اليوم الأخير من التجربة (اليوم التاسع بعد إعطاء البروديفاكوم) دون حدوث نفوق، بدت الأعراض أشد لدى المجموعة الرابعة التي تناولت أعلى جرعة (9 ملغ من البروديفاكوم / كغ) مقارنة بالمجموعة الثالثة إذ كانت الأعراض متوسطة الشدة لدى طيورها، أما المجموعة الثانية التي تناولت أقل جرعة (2.25 ملغ من البروديفاكوم / كغ) فقد كانت أقل شدةً من حيثُ الأعراض مقارنة بالمجموعة الثالثة والرابعة.



الشكل رقم (17): يوضح الاضطرابات العصبية ندى أحد طيور المجموعة الوابعة



الشكل رقم (16): يوضح خمول أحد طيور المجموعات بعد 24 ساعة من إعطاء البروديفاكوم



الشكل رقم (19): يوضح نفوق أحد طيور التجربة في اليوم الرابع من إعطاء البروديفاكوم



الشكل رقم (18): يوضح النزف في العين، والأذن، وتحت الجناح لدى أحد طيور المجموعة الوابعة

2-4- التغيرات التشريحية المرضية العِيانية:

أُجريت الصفة التشريحية للحيوانات النافقة مباشرة، وكذلك للحيوانات المذبوحة بعد 24 ساعة وفي كل من اليومين الخامس والتاسع بعد إعطاء البروديفاكوم، وَدُونِت التغيرات المرضية العِيانية المشاهدة عليها وعلى أعضاء الجسم عامة صثوالأعضاء المستهدفة في الدراسة (كبد، كلي).

1-2-4 التغيرات التشريحية المرضية العِيانية في الكبد:

المجموعة الأولى (الشاهد): لم تُلاحَظ أي تغيرات مرضية عِيانية لدى جميع طيور مجموعة الشاهد طيلة فترة التجربة، إذ بدى الكبد بمظهر طبيعي من حيث اللون البني والقوام المتجانس والحواف الحادة (الشكل رقم 20).

بعد 24 ساعة من إعطاء البروديفاكوم:

المجموعة الثانية: لُوحِظَ تغير لوني بسيط في الكبد على شكل مناطق حمراء اللون داكنة وأخرى شاحبة في أطراف الكبد كما هو موضح في الشكل (رقم 21).

أما المجموعة الثالثة: فقد كان التغير اللوني أكثر شدة مقارنة بالمجموعة الثانية.

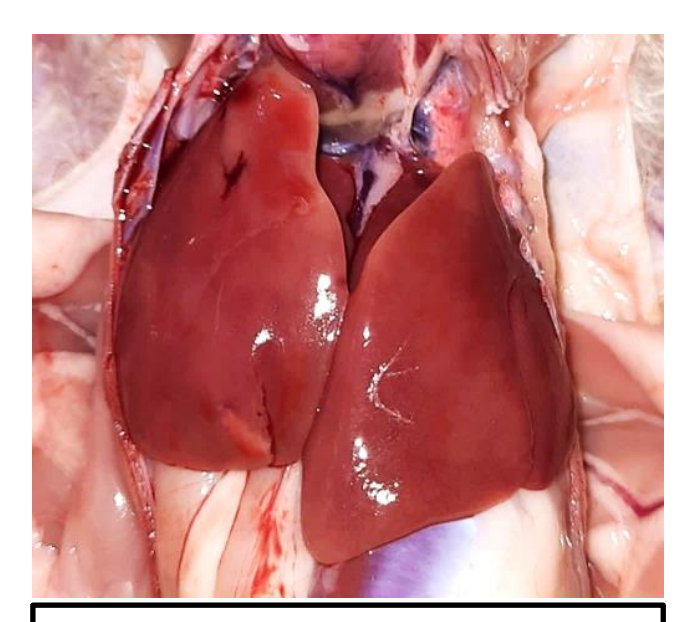
شوهدت التغيرات الأشد والأكثر وضوحاً لدى أكباد طيور المجموعة الرابعة التي تناولت أعلى جرعة من البروديفاكوم والتي ظهرت على شكل تضخم في الكبد إضافة لمناطق احتقان Congestion بلون أحمر داكن وأخرى شاحبة شملت مساحات أوسع كما هو موضح في الشكل (رقم 22).

◄ في اليوم الخامس بعد إعطاء البروديفاكوم:

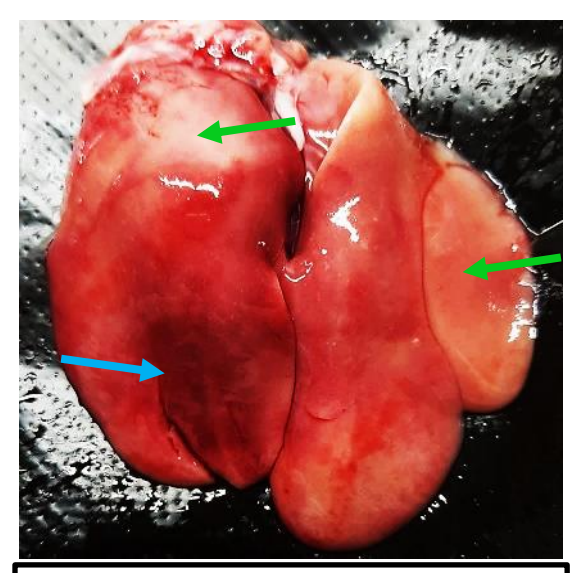
ازدادت شدة التغيرات السابقة لدى جميع المجموعات التي أُعطيت البروديفاكوم، ولوحظ تضخم بدرجات متفاوتة إضافة لفقدان الحواف الحادة للكبد، بدت هذه التغيرات أشد وأكثر وضوحاً لدى طيور المجموعة الرابعة (الشكل رقم 23 و 24).

في اليوم التاسع بعد إعطاء البروديفاكوم:

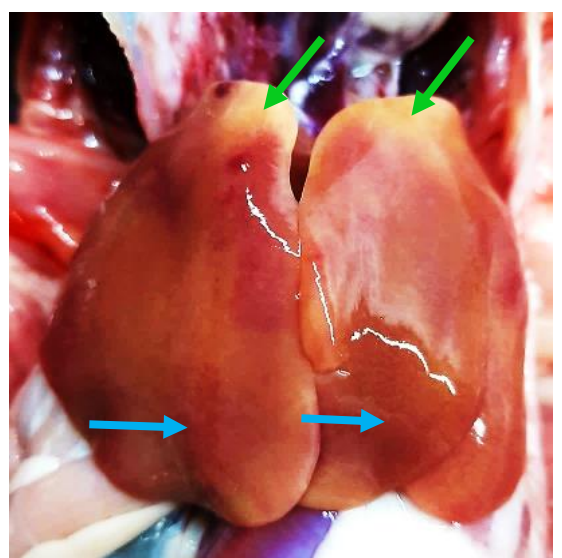
لوجِظَت تغيرات مرضية عِيانية شديدة بدت على شكل اصغرار في الكبد ونزف تحت محفظته لدى المجموعة الثانية، إضافة لقوام الكبد الهش سهل التففت في المجموعتين الثالثة والرابعة (الشكل رقم 25 و 26).



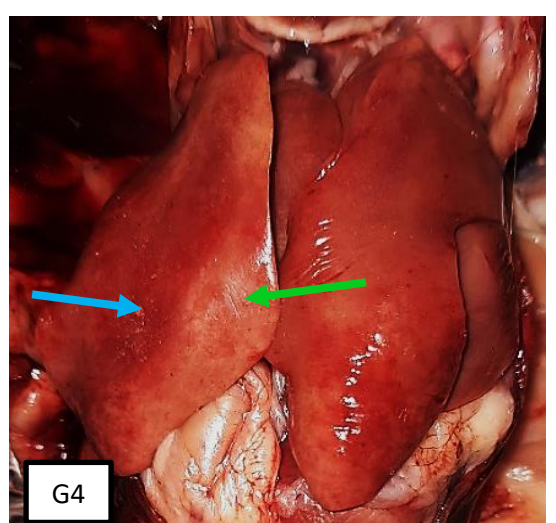
الشكل رقم (20): يوضح المظهر الطبيعي في كبد طيور الشكل رقم (10) المجموعة الأولى (الشاهد)

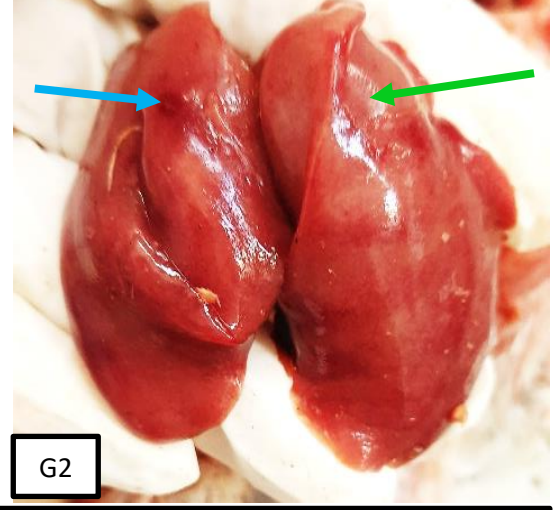


الشكل رقم (22): التغيرات المرضية العيانية في أكباد طيور المجموعة الرابعة بعد 24 ساعة من اعطاء البروديفاكوم، تلاحظ على شكل تضخم في الكبد، مناطق احتقان بلون أحمر داكن (سهم أزرق). ومناطق شاحبة (سهم أخضر) شملت مساحات أوسع

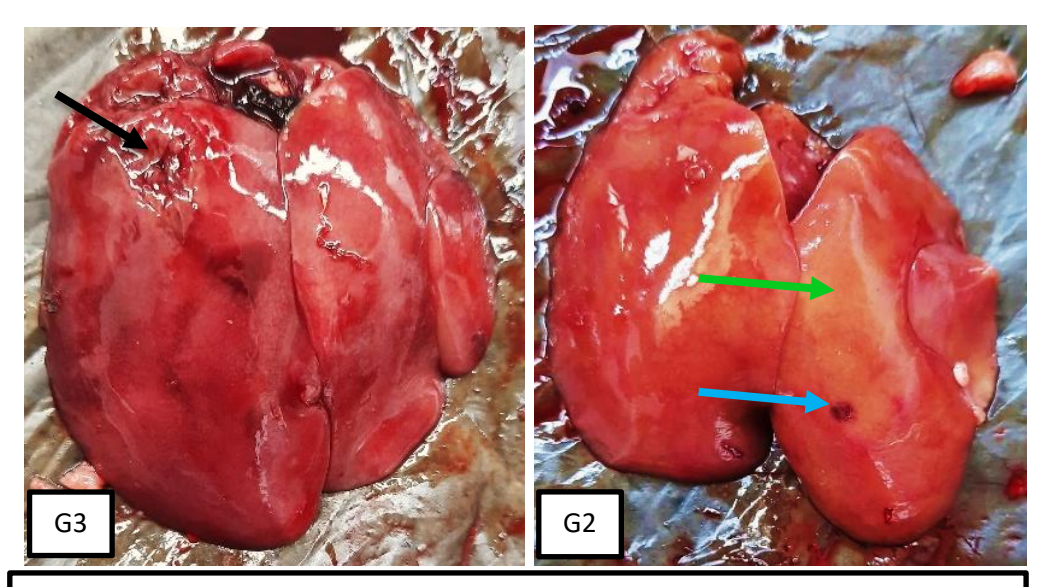


الشكل رقم (21): التغيرات الموضية العيانية في كبد طيور المجموعة الثانية بعد 24 ساعة من إعطاء البروديفاكوم، تلاحظ على شكل تغيرات لونية بلون أحمر داكن (سهم أزرق)، وأخوى شاحبة اللون في أطراف الكبد (سهم أخضر)





الشكل رقم (23 و24): التغيرات المرضية العيانية لكبد طيور مجموعات التجربة الثانية G2 والوابعة G4 في اليوم الخامس من التجربة، يوضح تضخم واستدرة حواف الكبد G2، كما تلاحظ مناطق بلون أحمر داكن (سهم أزرق) وأخرى شاحبة (سهم أخضر) لدى طيور مجموعات G2 وG4



الشكل (قم 25 و26): التغيرات المرضية العيانية لأكباد المجموعتين الثانية G2 والثالثة G3 في اليوم التاسع من إعطاء البروديفاكوم، (G2) نزف تحت محفظة الكبد (سهم أزرق)، اصفرار (سهم أخضر)، (G3) القوام الهش سهل التفتت (سهم أسود)

4-2-2 التغيرات التشريحية المرضية العِيانية في الكلى:

المجموعة الأولى (الشاهد): لم تُلاحَظ أي تغيرات مرضية عِيانية لدى كلى جميع طيور مجموعة الشاهد طيلة فترة التجربة، وبدت الكلى بمظهر وحجم طبيعي كما هو موضح في الشكل (رقم 27).

بعد 24 ساعة من إعطاء البروديفاكوم:

المجموعة الثانية: بدت الكلى لدى طيورها بمظهر أقرب للطبيعي مع تضخم طفيف في الفصوص الأمامية، مقارنة مع كلى مجموعة الشاهد.

أما بالنسبة لكلى طيور المجموعتين الثالثة والرابعة: فقد كان التضخم أكثر وضوحاً في فصوص الكلى لاسيما الأمامية، إضافة للاحتقان كما هو موضح في الشكل (رقم 28).

◄ في اليوم الخامس بعد إعطاء البروديفاكوم:

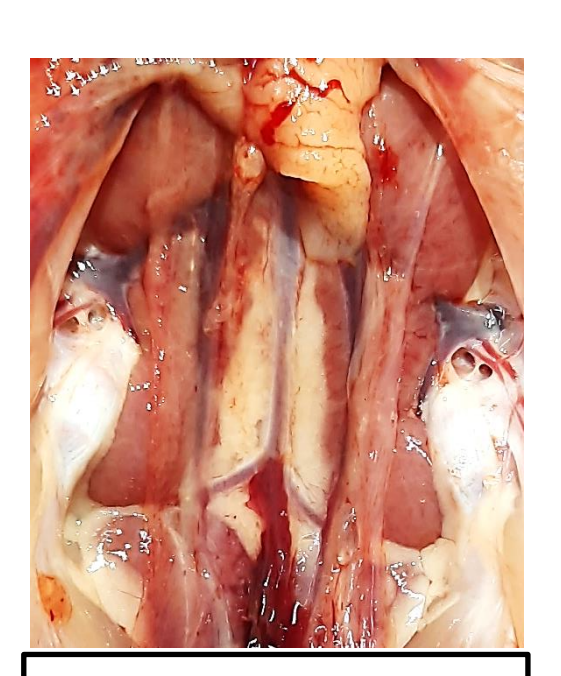
لوحظ تضخم بسيط في فصوص الكلى لاسيما الأمامية لدى كلى طيور المجموعتين الثانية والثالثة، وتضخم شديد لدى المجموعة الرابعة، وبدت الكلى بلون شاحب في المجموعتين الثالثة والرابعة (الشكل رقم 29 و 30).

في اليوم التاسع بعد إعطاء البروديفاكوم:

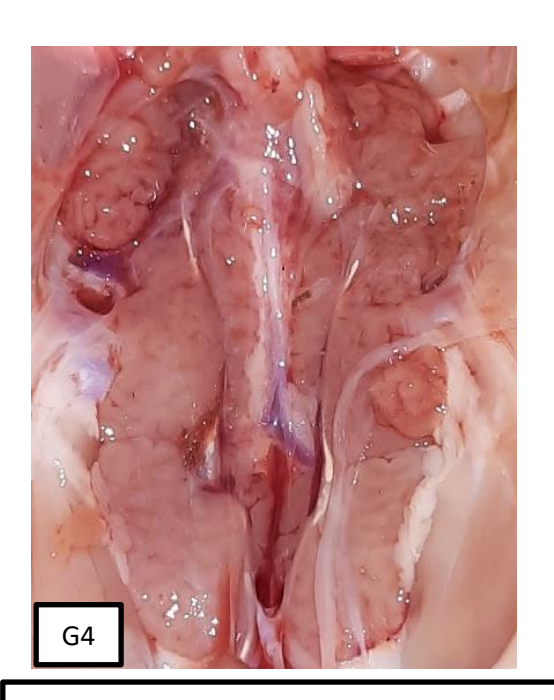
تجلت التغيرات التشريحية المرضية في الكلى على شكل تضخم واحتقان ونزف Hemorrhage في فصوص الكلى لدى جميع طيور مجموعات التجربة، وكانت أكثر شدةً ووضوحاً لدى طيور المجموعة الرابعة (الشكل رقم 31 و 32).



الشكل رقم (28): التغوات الموضية العيانية لكلى طيور المجموعة الرابعة بعد 24 ساعة من الإعطاء، توضح التضخم والاحتقان في الفصوص الأمامية (سهم أبيض)

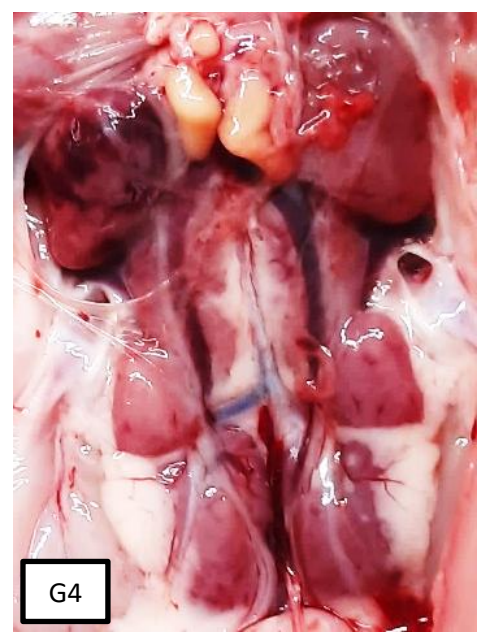


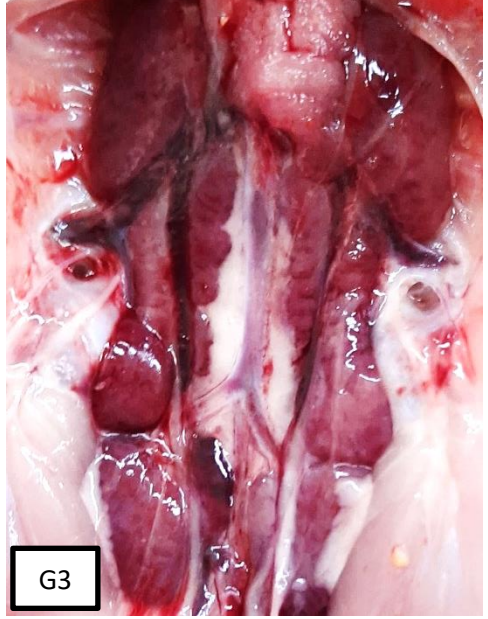
الشكل رقم (27): يوضح المظهر الطبيعي للكلى لدى طيور مجموعة الشاهد





الشكل رقم (29 و30): التغيرات المرضية العيانية لكلى طيور مجموعات التجربة الثالثة G3 والرابعة G4 في اليوم الخامس بعد إعطاء البروديفاكوم يوضح التضخم والشحوب في فصوص الكلى

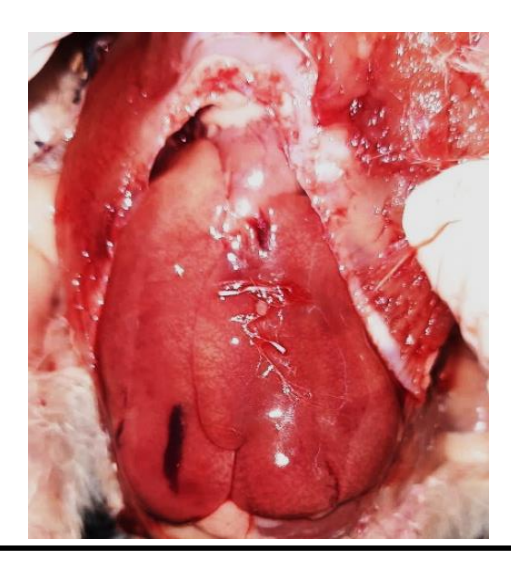




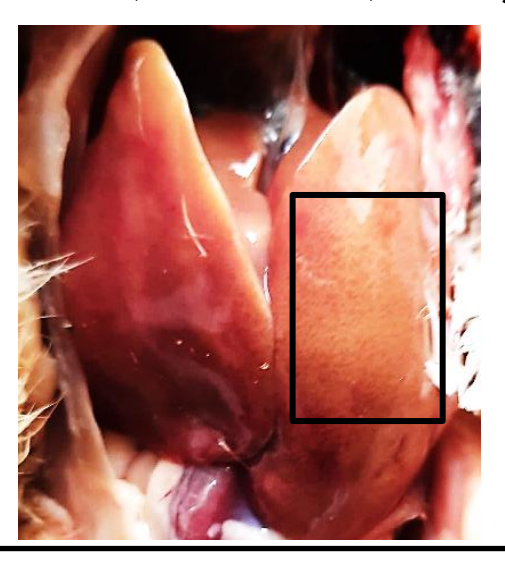
الشكل رقم (31 و32): التغيرات المرضية العيانية لكلى طيور المجموعتين الثالثة و الرابعة في اليوم التاسع بعد إعطاء البروديفاكوم، يوضح التضخم والنزف في فصوص الكلى

4-2-3- التغيرات المرضية العيانية في أكباد وكلى الطيور النافقة:

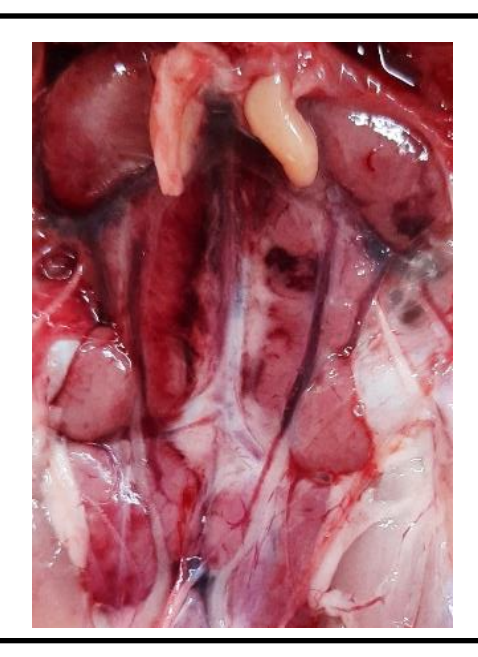
لُوحِظَت تغيرات مُشابهة للتغيرات المُشاهدة لدى طيور مجموعات التجربة بعد الذبح، كما هي موضحة في الأشكال (32، 33، 34، 35).



الشكل رقم (34): التغيرات المرضية العيانية لكبد طائر نافق من المجموعة الرابعة في اليوم الخامس بعد إعطاء البروديفاكوم، يُلاحظ تضخم في حجم الكبد، تلون مناطق واسعة باللون الأحمر، إضافة لشحوب بعض الحواف



الشكل رقم (33): التغيرات الموضية العيانية لكبد طائر نافق من المجموعة الثانية في اليوم الوابع بعد إعطاء البروديفاكوم، يوضح فقدان اللون الطبيعي للكبد والإصغوار (المربع الأسود)



الشكل رقم (36): التغيرات المرضية العيانية لكلى طائر نافق من المجموعة الرابعة في اليوم الخامس بعد إعطاء البروديفاكوم، يلاحظ تضخم واحتقان ونزف في فصوص الكلى

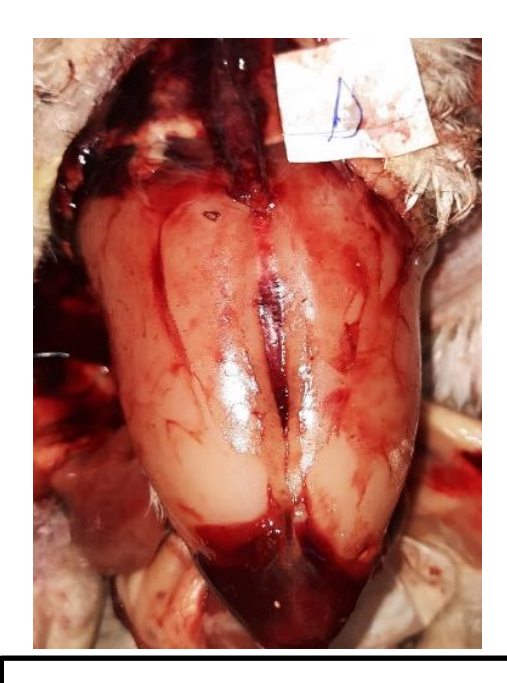


الشكل رقم (35): التغيرات المرضية العيانية لكلى طائر نافق من المجموعة الثانية في اليوم الوابع بعد إعطاء البروديفاكوم، يلاحظ تضخم شديد وشحوب في فصوص الكلى

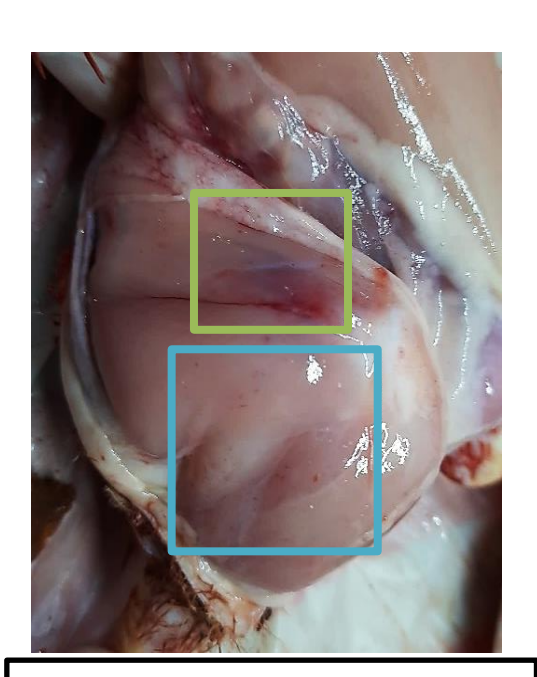
4-2-4 التغيرات التشريحية المرضية العيانية الأخرى المسجلة خلال هذه الدراسة:

لُوحِظَ بعد تشريح الطيور النافقة والطيور المذبوحة لدى مجموعات التجربة ومقارنة بالشاهد، نزوفات معممة تحت الجلد وعلى شكل تجلطات دموية Blood clots في منطقة الصدر وتحت جلد الجناح، سوائل مُدَّممة ضمن التجويف البطني، نزف حَبَرِي Petechiae طفيف على السطح الوحشي لعضلات الفخذ لدى طيور المجموعة الثانية (الشكل رقم 37)، وبدى النزف أشد إضافة لمناطق نزف كدمي ونزف فرشاتي Paint brush على عضلات الصدر (الشكل رقم 38) والفخذ لدى طيور المجموعتين الثالثة و الرابعة (الشكل رقم 39)، و كان أشد لدى المجموعة الرابعة.

لم يلاحظ أيَ تغيرات مرضية في الجهاز الهضمي خلال فترة التجربة، ماعدا اليوم الأخير من التجربة إذ لوحظ احتقان بسيط في الأوعية المساريقية في الأمعاء (الشكل رقم 40)، ولوحظ نزف حَبَري واحتقان في الدماغ لدى طيور المجموعتين الثالثة والرابعة (الشكل رقم 41).



الشكل رقم (38): يوضح النزف الشديد على سطح عضلات الصدر لدى طائر من المجموعة الثالثة في اليوم السادس بعد إعطاء البروديفاكوم



الشكل رقم (37): يوضح النزف الكوي (الموبع الأزرق) والكدمي (الموبع الأخضر) على عضلات الفخد (السطح الوحشي) لدى طيور المجموعة الثانية بعد 24 ساعة من إعطاء البروديفاكوم



الشكل رقم (40): يوضح الاحتقان الشديد في الأوعية الدموية لمساريقا الأمعاء لدى طيور مجموعات التجربة G3 في اليوم التاسع بعد إعطاء البروديفاكوم



الشكل رقم (39): يوضح النزف الكدمي الشديد على عضلات الفخد لدى طائر نافق من المجموعة الثالثة في اليوم الخامس بعد إعطاء البروديفاكوم



الشكل رقم (41): يوضح النزف الكوي لدى أدمغة طيور مجموعات التجربة G3 في اليوم التاسع بعد إعطاء البروديفاكوم

4-3- التغيرات التشريحية المرضية المجهرية:

4-3-4 التغيرات التشريحية المرضية المجهربة في الكبد:

المجموعة الأولى (الشاهد): لم تُلاحظ أية تغيرات مرضية لدى أكباد طيور الشاهد طيلة فترة التجربة، إذ بدى نسيج الكبد لديها طبيعياً، توضعت فيه الخلايا الكبدية بشكل احبال بسمك خليتين حول الوريد المركزي ويفصل بينها الجيبانات الدموية كما هو موضح في (الشكل رقم 42).

◄ بعد 24 ساعة من إعطاء البروديفاكوم:

المجموعة الثانية: لم يُلاحظ أي تغير مرضي في الخلايا الكبدية مقارنة بالمجموعة الأولى (الشاهد) وبدى نسيج الكبد فيها أقرب للطبيعي، لُوحِظَ فقط احتقان بسيط في الجيبانات الكبدية (الشكل رقم 43).

◄ في اليوم الخامس من إعطاء البروديفاكوم:

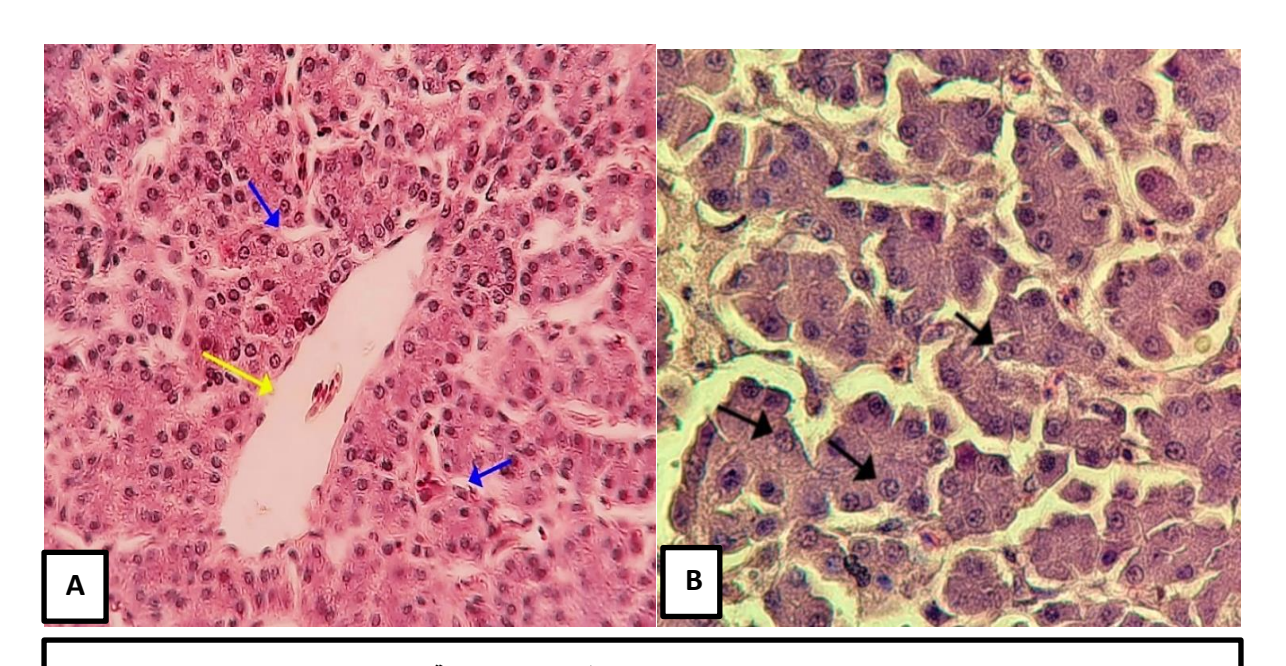
المجموعة الثانية: بدأت التغيرات المرضية النسيجية بالظهور على شكل تنكس دهني Hatty ولمجموعة الثانية: طوحت التهابي degeneration في بعض الخلايا الكبدية إضافة لمناطق نخر (الشكل رقم 45)، ولوحظ رد فعل التهابي حاد تسود فيه المستغيرات والبلاعم لاسيما في المسافة البابية وحول الوريد المركزي (الشكل رقم 46). لوحظت تغيرات نسيجية مماثلة لدى المجموعة الثالثة: مع زيادة في التنكس المائي والتنكس الدهني واحتقان وتخرب بطانة الوريد المركزي (الشكل رقم 47).

بدت التغيرات النسيجية في المجموعة الرابعة أكثر شدةً ووضوحاً وتجلت بشكل تنكس شديد ومناطق نخر إضافة لاحتقان الأوردة البابية والمركزية وارتشاح الخلايا الالتهابية المستغيرات واللمفاويات والبلاعم (الشكل 48).

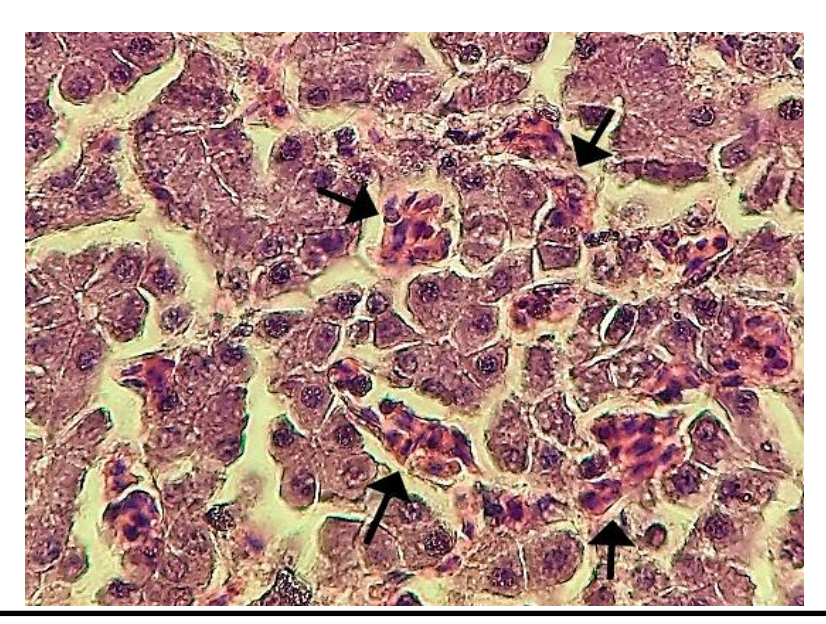
◄ في اليوم التاسع من إعطاء البروديفاكوم:

لوحظ بعد دراسة العينات النسيجية لأكباد طيور المجموعة الثانية تنكس مائي ودهني ونخر بعض الخلايا الكبدية (الشكل رقم 49). اما التغيرات النسيجية في المجموعتين الثالثة والرابعة فقد تمثلت بتنكس دهني شديد (الشكل رقم 50) تركز بالقرب من الوريد المركزي، إضافة لمراحل مختلفة من النخر في بعض

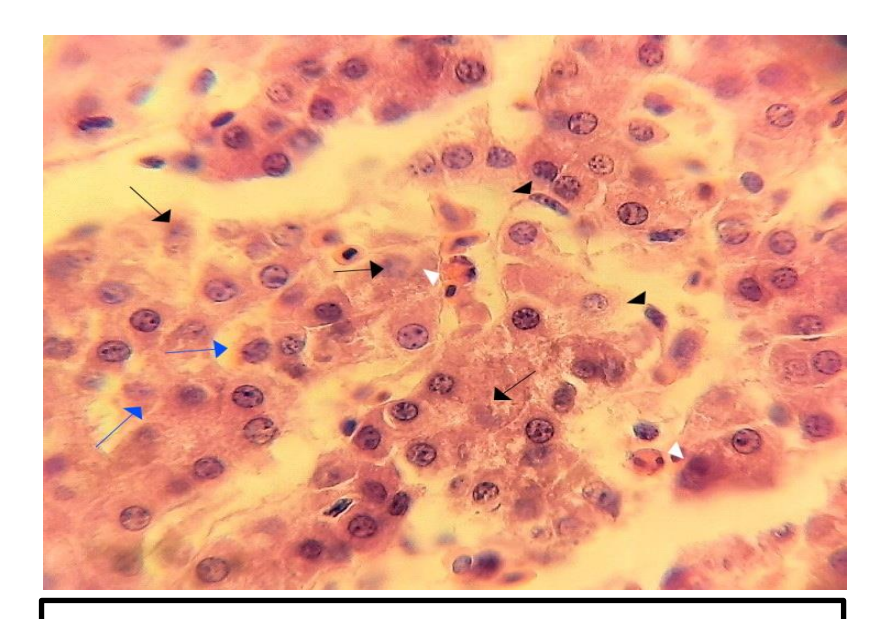
الخلايا الكبدية وتخرب بطانة الأوعية الدموية ورد فعل التهابي من المستغيرات وبعض اللمفاويات (الشكل رقم 51).



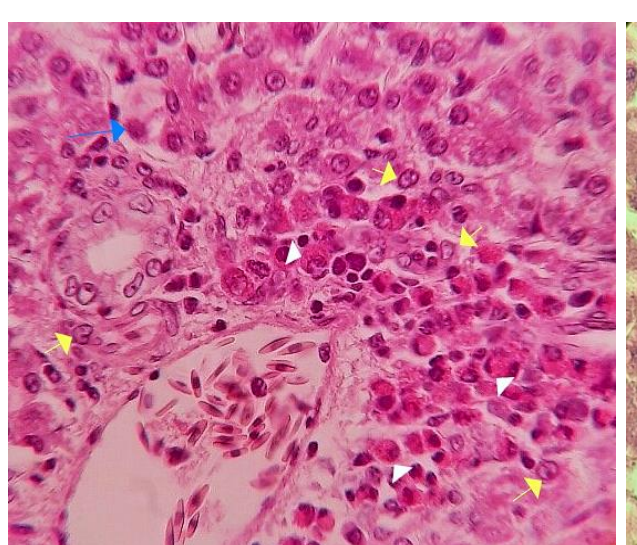
الشكل رقم (42): مقطع نسيجي في كبد مجموعة الشاهد (42) ليوضح الوريد الموكوي (سهم أصفر) الجيبانات الدموية (سهم أزرق)(400×400) (B (H&E×1000)) ليوضح الخلايا الكبدية الطبيعية (سهم أسود)



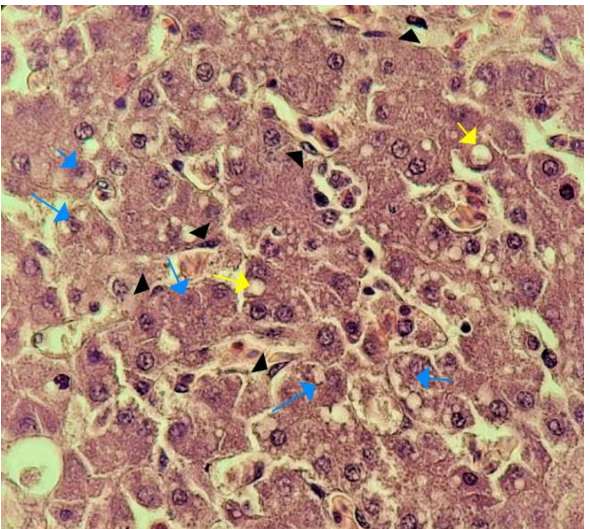
الشكل رقم (43): مقطع نسيجي في كبد المجموعة الثانية بعد 24 ساعة من الشكل رقم (43): مقطع نسيجي المحموية (سهم أسود) (43 H&E×1000)



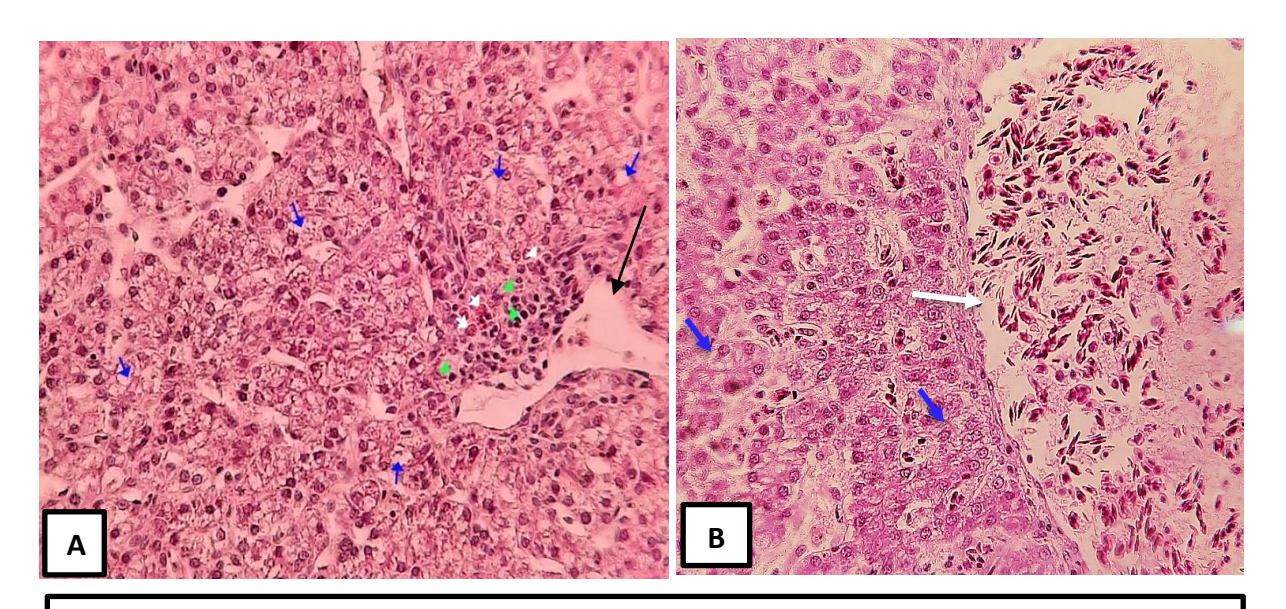
الشكل رقم (44): مقطع نسيجي في كبد المجموعة الثالثة بعد 24 ساعة من الإعطاء، يوضح التورم الغيمي (سهم أزرق) والنخر (سهم أسود) في بعض خلايا الكبد، خلايا كوبفر (رأس السهم الأسود) المستغيرات (رأس السهم الأبيض) (H&E×1500)



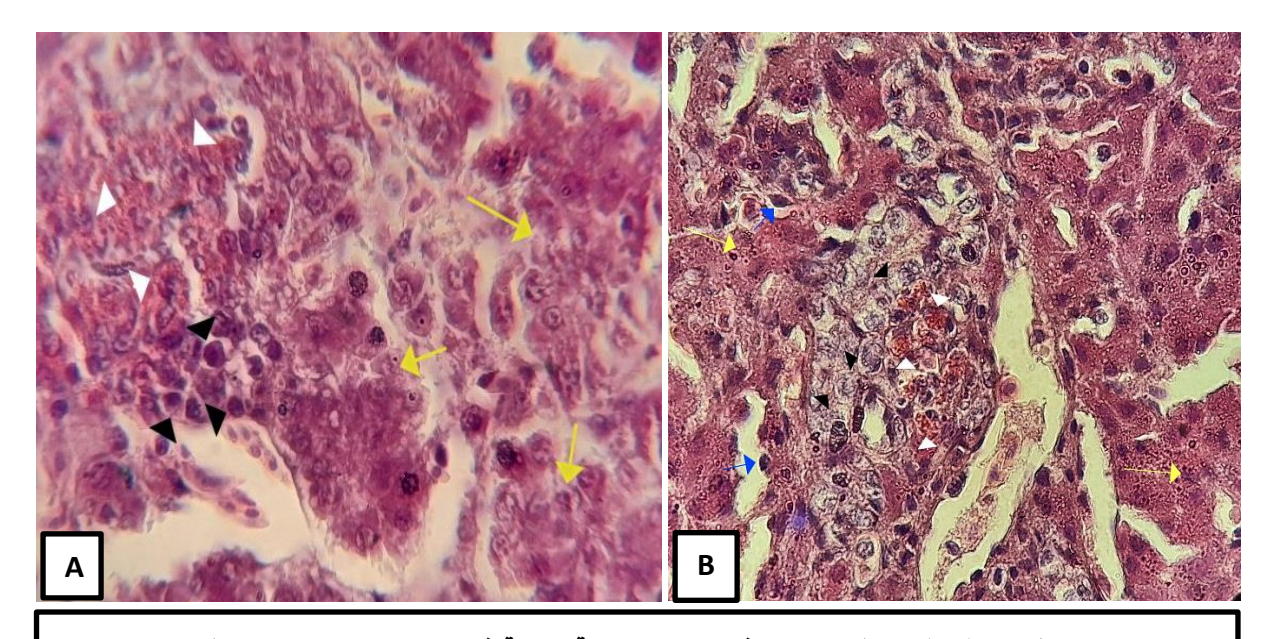
الشكل رقم (46): مقطع نسيجي في كبد المجموعة الثانية في اليوم الخامس من الإعطاء، يلاحظ تنكس مائي (سهم أزرق) ورد فعل التهابي تسود فيه المستغيرات (رأس السهم الأبيض) والبلاعم (سهم أصفر) بالقرب من الوريد البابي في المسافة البابية



الشكل رقم (45): مقطع نسيجي في كبد المجموعة الثانية في اليوم الخامس من الإعطاء، يلاحظ التنكس الدهني في بعض الخلايا الكبدية (سهم أصفر) والنخر بعراحل مختلفة (سهم أزرق)، خلايا كوبفر (رأس السهم الأسود) (H&E×1000)

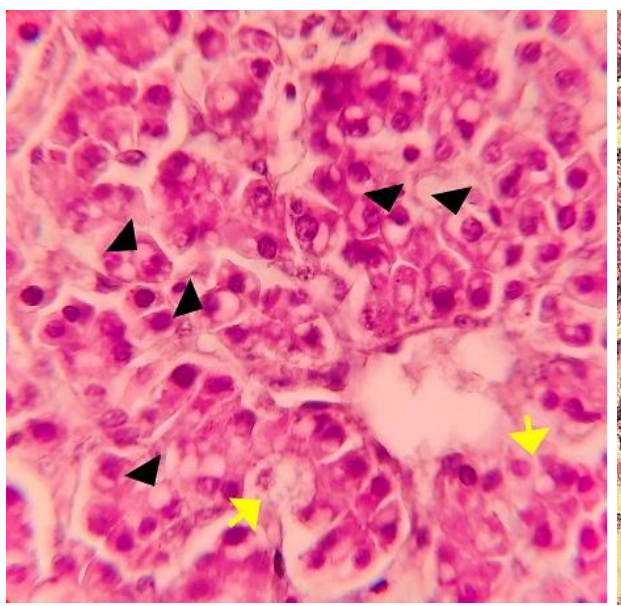


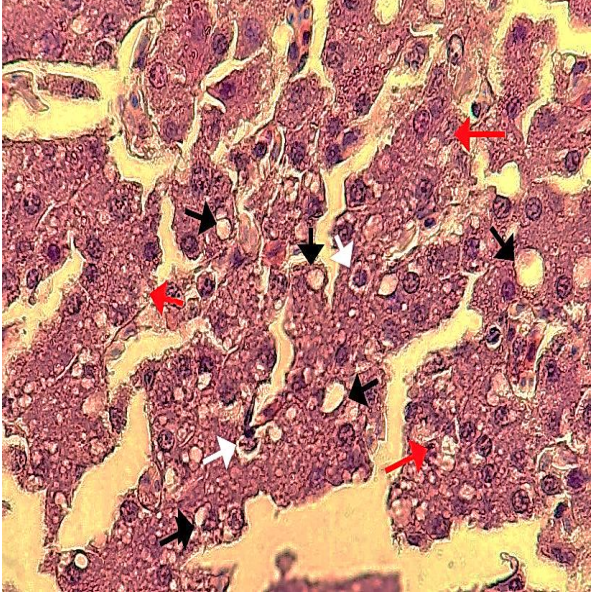
الشكل (قم 47): مقطع نسيجي في كبد المجموعة الثالثة في اليوم الخامس من الإعطاء – A يلاحظ تنكس مائي شديد (سهم أزرق)، رد فعل التهابي بالقرب من الوريد المركزي التشاح المستغيرات (رأس السهم الاخضر) تخرب بطانة الوريد المركزي (سهم أسود) (B احتقان الوريد المركزي (سهم أبيض)، تنكس مائي (سهم أزرق)(H&E×1000)



الشكل رقم (48): مقطع نسيجي في كبد المجموعة الوابعة في اليوم الخامس من الإعطاء (رأس السهم الأبيض) واللمفلويات (رأس السهم الأبيض) واللمفلويات (رأس السهم الأبيض) السهم الأسود)

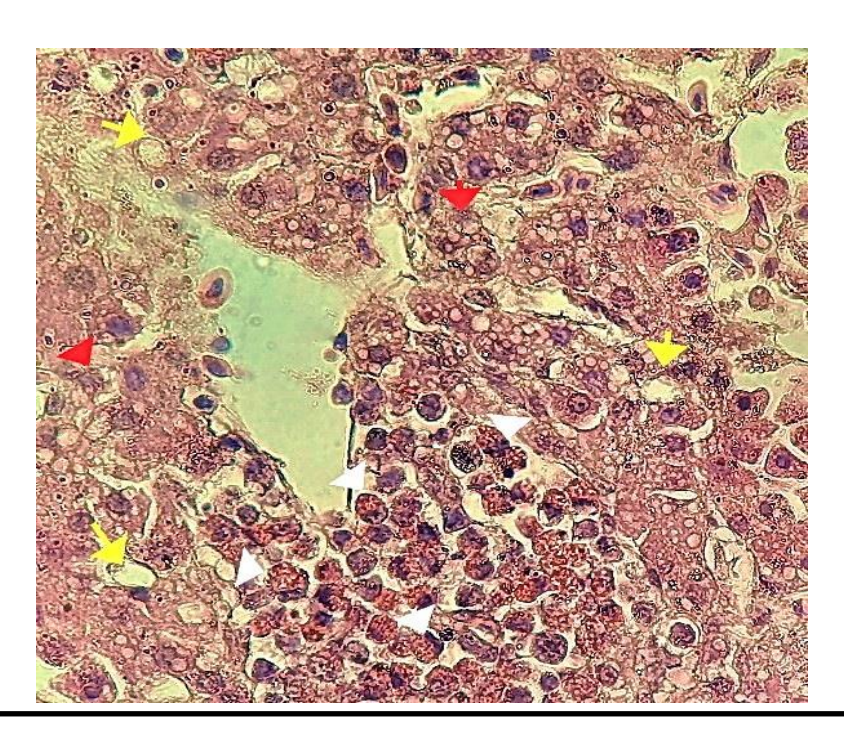
B) يلاحظرد فعل التهابي في المسافة البابية تسود فيه البلاعم (أس السهم الأسود) والمستغيات (رأس السهم الأبيض)، خلايا كوبفر (سهم أزرق)، نخر وبقايا حطام خلوي (سهم اصفر) كلايا كوبفر (سهم أزرق)، نخر وبقايا حطام خلوي (سهم الأبيض)،





الشكل (50): مقطع نسيجي في كبد المجموعة الثالثة في اليوم التاسع من الإعطاء، يلاحظ تنكس دهني (رأس السهم الأسود)، نخر (سهم أصفر) (H&E×1000)

الشكل (49): مقطع نسيجي في كبد المجموعة الثانية في اليوم التاسع من الإعطاء، يلاحظ تنكس دهني (سهم أسود)، تنكس مائي (سهم أبيض)، نخر (سهم أحمر) (H&E×1000)



الشكل رقم (51): مقطع نسيجي في كبد المجموعة الوابعة في اليوم التاسع من الإعطاء، يلاحظ تنكس دهني (سهم أصفر)، نخر (سهم أحمر) ورد فعل خلوي من المستغيرات

4-3-4 التغيرات التشريحة المرضية المجهرية في الكلي:

المجموعة الأولى (مجموعة الشاهد): لوحِظ لدى فحص العينات النسيجية لكلى طيور الشاهد وضوح النسيج الطبيعي المميز للكلى والمؤلف من الكبيبات الكلوية والنبيبات الكلوية الدانية والقاصية (الشكل رقم 52).

◄ بعد 24 ساعة من إعطاء البروديفاكوم:

المجموعة الثانية: لوحِظَت تغيرات مرضية تمثلت بحدوث تنكس مائي بسيط ونخر بعض الخلايا الظهارية المبطنة للنبيبات الكلوية، ولوحظ رد فعل التهابي حاد على شكل تجمعات كبيرة من المستغيرات في النسيج الخلالي (الشكل رقم 53).

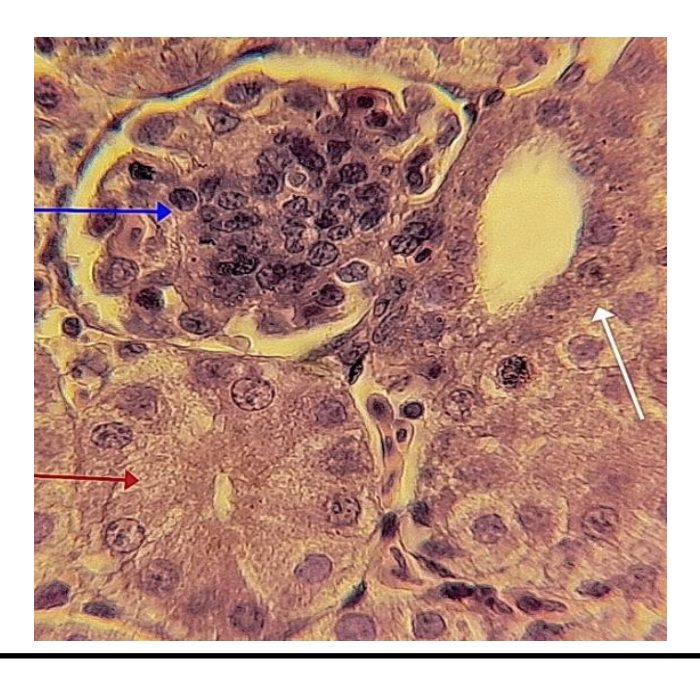
أما المجموعتين الثالثة والرابعة: فقد كانت التغيرات النسيجية أشد وظهرت بشكل تنكس مائي شديد، ونخر بعض الخلايا الظهارية المبطنة للنبيبات الكلوية، اضافة لارتشاح الخلايا الحمر من الأوعية الشعرية (نزف) بين النبيبات الكلوية (الشكل رقم 54 و 55).

◄ اليوم الخامس من إعطاء البروديفاكوم:

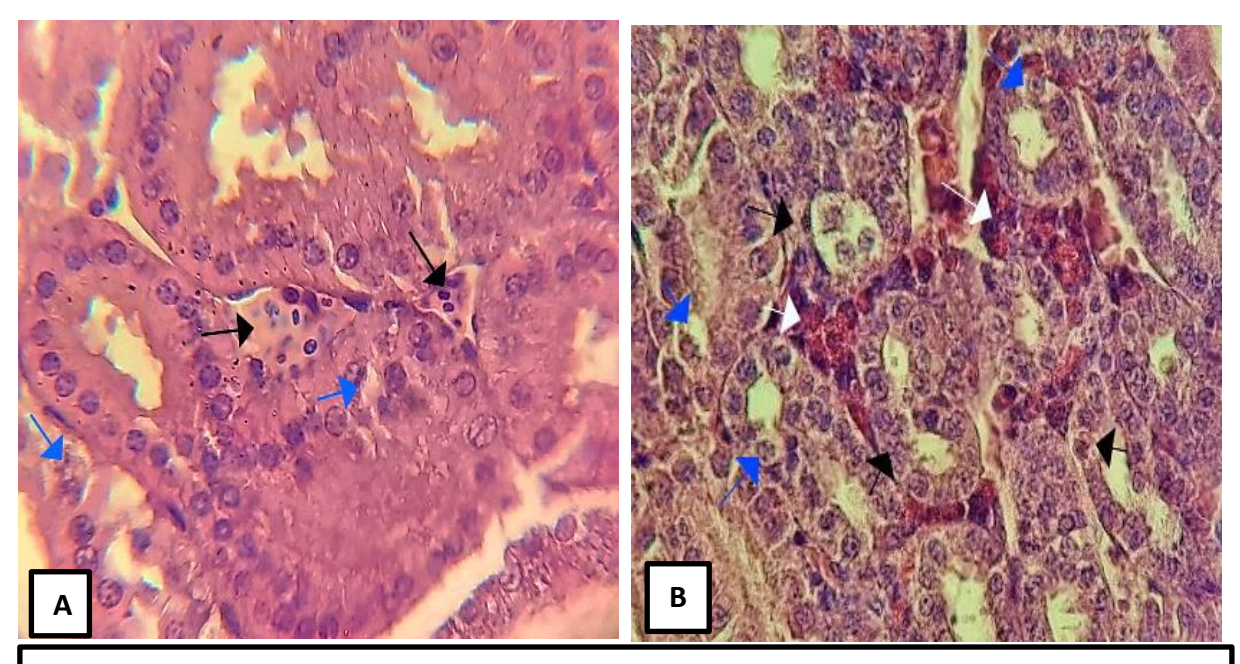
المجموعة الثانية: لوحظ التنكس المائي والنخر في الخلايا الظهارية المبطنة للنبيبات الكلوية الدانية والقاصية وبعض القنوات الجامعة، ظهر على نحو أشد وأوضح لدى طيور المجموعتين الثالثة والرابعة، (الشكل رقم 56)، إضافة للنزف الحاصل ضمن لمعة النبيبات الكلوية الدانية وبعض القنوات الجامعة (الشكل رقم 57)، أما بالنسبة لرد الفعل الالتهابي فقد ظهر لدى جميع طيور المجموعات الثلاثة، وتمثل بشكل رد فعل التهابي حاد من المستغيرات وبعض اللمفاويات.

اليوم التاسع من إعطاء البروديفاكوم:

ظهرت تغيرات مرضية نسيجية شديدة في هذه المرحلة على شكل تنكس مائي شديد وتخرب في ظهارة النبيبات الكلوية، ونخر الخلايا الظهارية للنبيبات والكبب الكلوية (الشكل رقم 58)، إضافة لاحتقان الأوعية الدموية والنزف بين النبيبات وضامن لمعة النبيبات الدانية والقنوات الجامعة (الشكل رقم 59)، وارتشاح الخلايا الالتهابية المستغيرات واللمفاويات، ازدادت شدة هذه التغيرات مع زيادة الجرعة لدى كل من طيور المجموعة الثالثة والطائر المتبقي من المجموعة الرابعة وذلك في اليوم الأخير من التجربة.

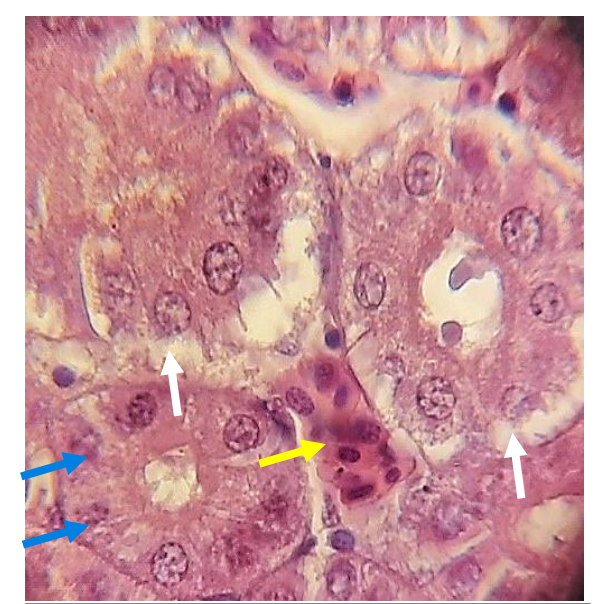


الشكل رقم (52): مقطع نسيجي في الكلى لمجموعة الشاهد يوضح البنية الطبيعية للكبة الكلوية (سهم أزرق) والنبيبات الكلوية الدانية (سهم أحمر) و القاصية (سهم أبيض) (1500×H&E)

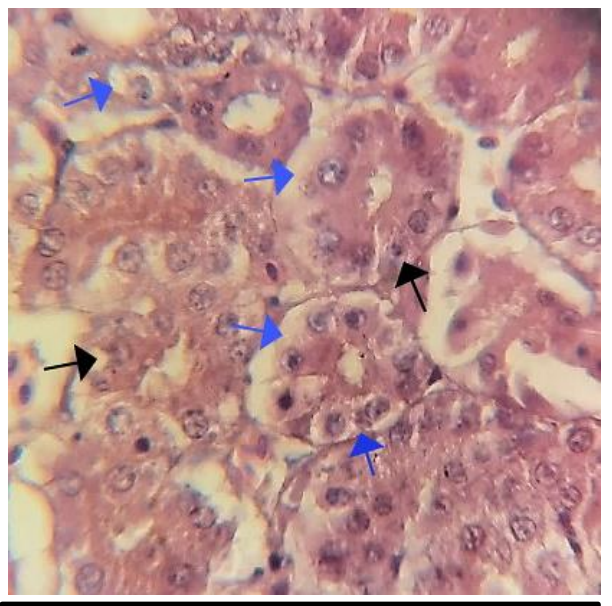


الشكل رقم (53): مقطع نسيجي في كلى المجموعة الثانية بعد 24 ساعة من الإعطاء (A يوضح التنكس المائي في بعض الخلايا الظهارية المبطنة للنبيبات الكلوية الدانية (سهم أزرق) احتقان الشعيات الدموية بين النبيبات الكلوية (سهم أسود)

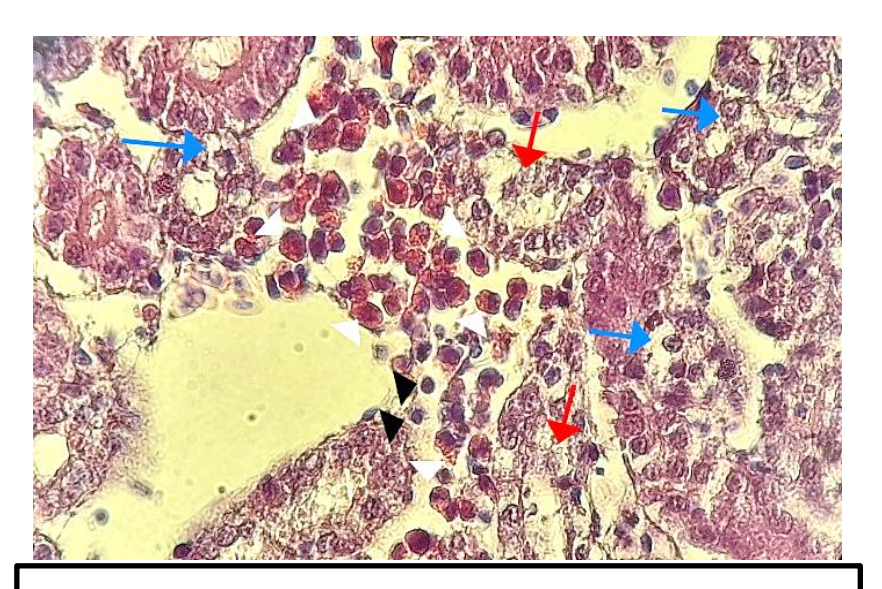
B) يوضح التنكس المائي (سهم أزرق) ونخر (سهم أسود) بعض الخلايا الظهارية المبطنة للنبيبات الكلوية ولرتشاح الخلايا الالتهابية المستغيرات (سهم أبيض) (1000×1806)



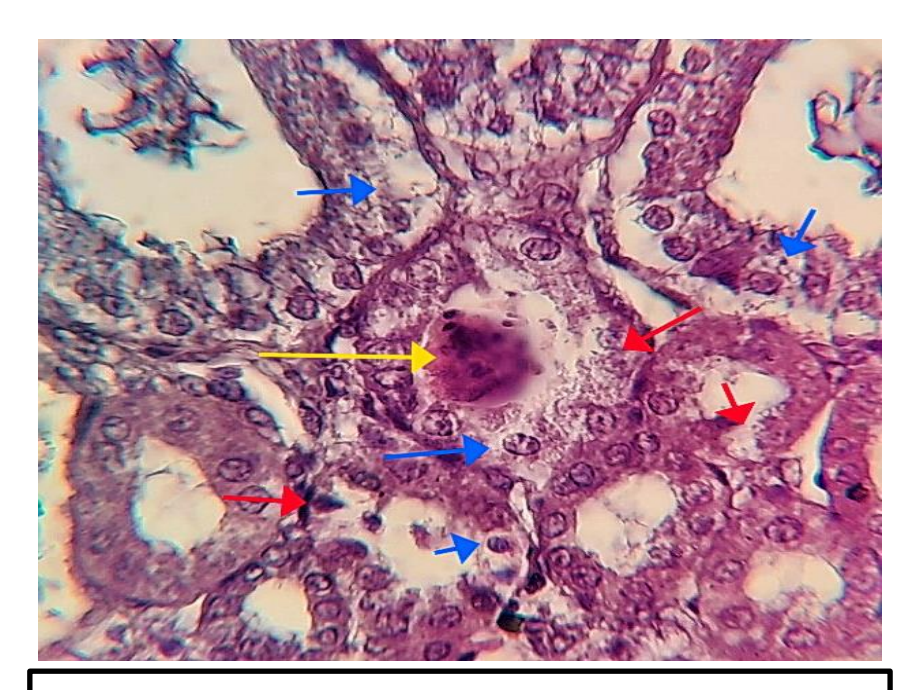
الشكل رقم (54): مقطع نسيجي في كلى المجموعة الثالثة بعد 24 ساعة من الإعطاء، يوضح التنكس المائي (سهم أبيض) ونخر (سهم أزرق) الخلايا الظهارية المبطنة للنبيبات الكلوية، ونزف بين النبيبات الكلوية (سهم أصفر)، (1500×180)



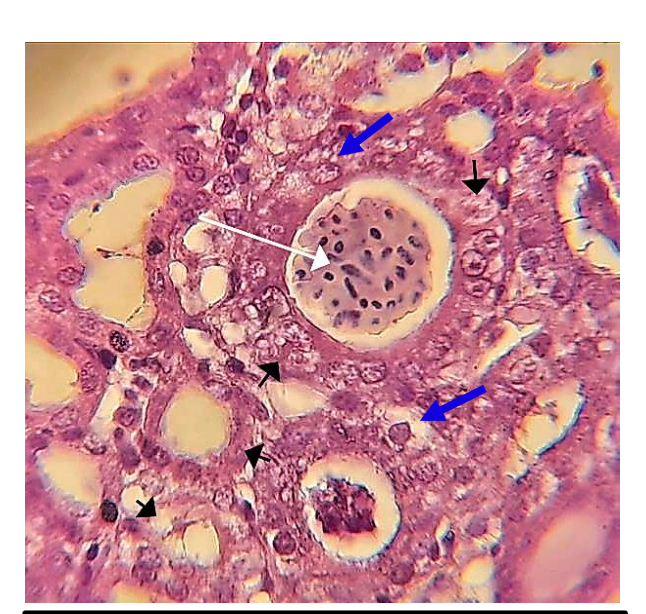
الشكل رقم (55): مقطع نسيجي في كلى المجموعة الوابعة بعد 24 ساعة من الإعطاء، يوضح التنكس المائي الشديد (سهم أزرق) ونخر (سهم أسود) الخلايا الظهارية المبطنة للنبيبات الكلوية (H&E×1000)



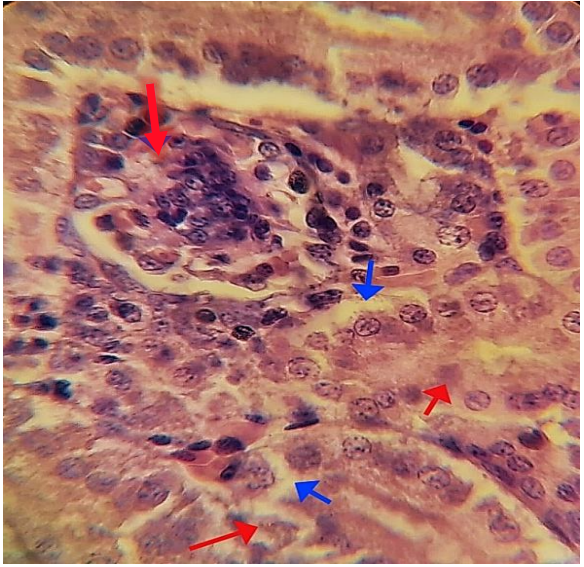
الشكل رقم (56): مقطع نسيجي في كلى المجموعة الثالثة في اليوم الخامس من الإعطاء، يوضح التنكس المائي (سهم أزرق) ونخر (سهم أحمر) الخلايا الظهارية للنبيب الكلوي الداني و القنوات الجامعة، والتشاح المستغيرات (أس السهم الأبيض) واللمفلويات (أس السهم الأسود) (H&E×1000)



الشكل رقم (57): مقطع نسيجي في كلى المجموعة الثالثة في اليوم الخامس من الإعطاء، يوضح التنكس المائي (سهم أزرق) ونخر (سهم أحمر) الخلايا الظهلية للنبيب الكلوي الداني و القنوات الجامعة ونزف ضمن لمعة النبيب الدانى (سهم أصفر) (H&E×1000)



الشكل رقم (59): مقطع نسيجي في كلى المجموعة الثالثة في اليوم التاسع من الإعطاء، يوضح التنكس المائي الشديد (سهم أزرق) ونخر (سهم أسود) الخلايا الظهارية المبطنة للنبيبات الكلوية، نزف ضمن لمعة القناة الجامعة (سهم أبيض) (1000×1808)



الشكل رقم (58): مقطع نسيجي في كلى المجموعة الثانية في اليوم التاسع من الإعطاء، يوضح التنكس المائي (سهم أزرق) ونخر (سهم أحمر) الخلايا الظهرية المبطنة للنبيبات والكبب الكلوية (H&E×1000)

4-3-3 التغيرات التشريحية المرضية المجهرية لدى الطيور النافقة:

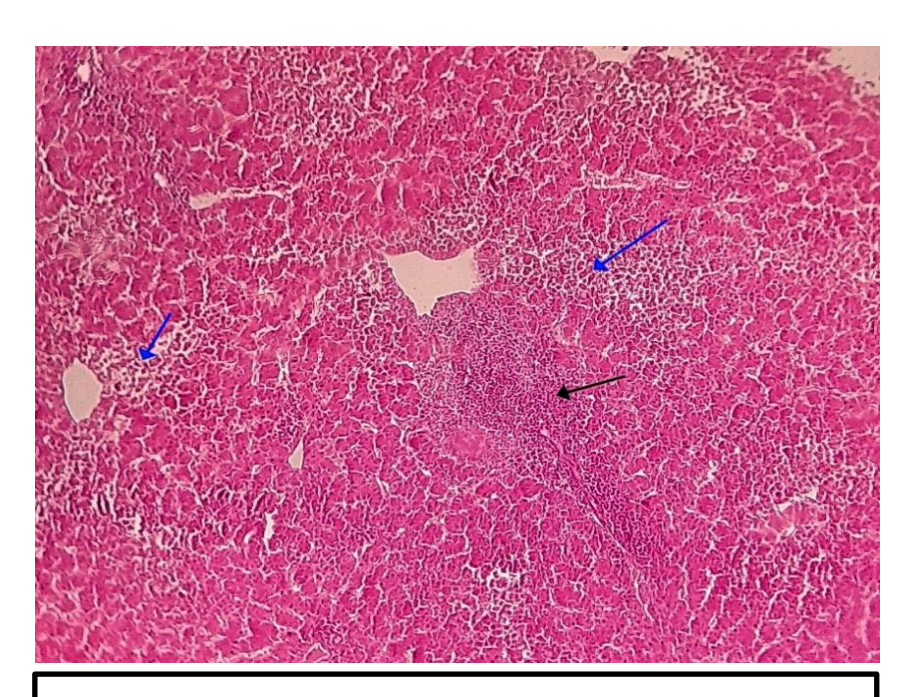
لدى فحص العينات النسيجية لكبد وكلى الطيور النافقة حديثاً خلال فترة التجربة لوحِظَت تغيرات نسيجية مشابهة لما شاهدناه في عينات الطيور المذبوحة، وتجلت على شكل:

الكبد:

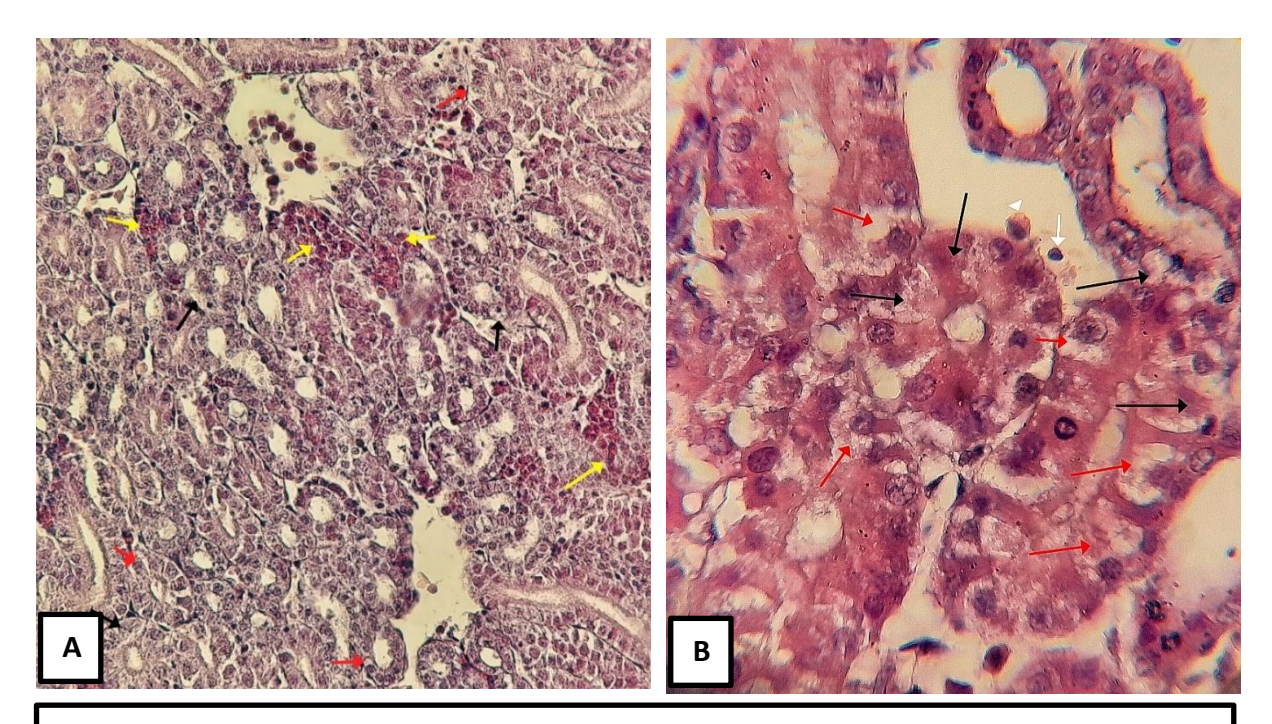
لوحظ تنكس مائي شديد ونخر تركز حول الأوردة المركزية، إضافة لرد فعل التهابي واضح تمثل بارتشاح المستغيرات واللمفاويات والبلاعم (الشكل رقم 60).

الكلى:

لوحظ تنكس مائي شديد وتنكس مائي ونخر في الخلايا الظهارية للنبيبات والكبب الكلوية، إضافة لاحتقان الاوعية الدموية، وارتشاح الخلايا الإلتهابية المستغيرات واللمفاويات (الشكل رقم 61).



الشكل رقم (60): مقطع نسيجي في الكبد لطير نافق من المجموعة الرابعة في اليوم الخامس بعد الإعطاء يلاحظ منطقة نخر الخلايا الكبدية (سهم أزرق)، لتشاح الخلايا الالتهابية (سهم أسود) (100×4&E)

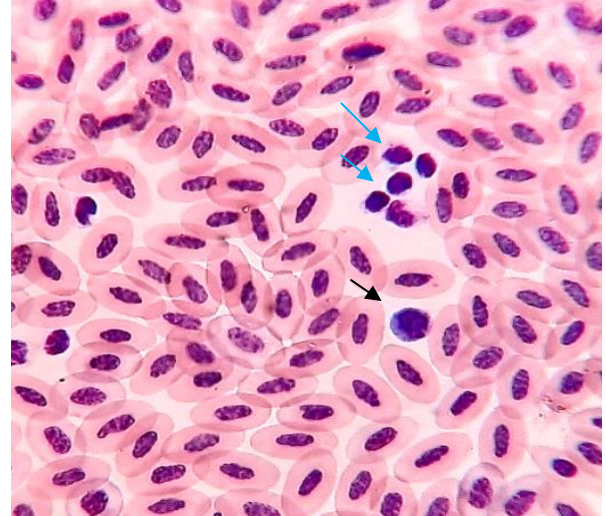


الشكل (61) مقطع نسيجي في الكلى لطير نافق من المجموعة الرابعة في اليوم الخامس بعد الإعطاء (A يلاحظ نخر (سهم لأسود)، تنكس مائي (سهم أحمر) في الخلايا الظهرية للنبيبات الكلوية، رد فعل التهابي تسود فيه المستغيرات (سهم أصفر) (400×400) (B يلاحظ تنكس مائي شديد (سهم أحمر) نخر (سهم أسود) خلية لمفلوية (سهم أبيض)، مستغيرة (رأس السهم الأبيض) (H&E×1000)

4-4- تغيرات الصورة الدموية الناتجة عن التسمم بالبروديفاكوم:

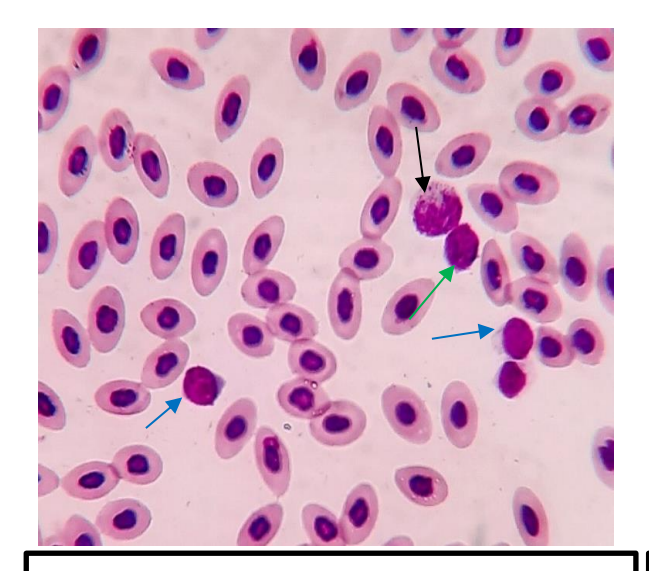
بَدَت خلايا الدم الحمر في المسحات الدموية المصبوغة بجيمزا بشكل بيضوي مسطح بنواة بيضوية وهيولى بلون زهري شاحب ولها بنية متجانسة ونواة ذات لون أرجواني، أما الصفيحات الدموية فبَدت خلايا كروية إلى بيضوية قليلاً مع نواة بيضوية مركزية وهيولى صافية، إضافة لكريات الدم البيض المختلفة، كما هو موضح في الأشكال (62، 63، 64، 65).

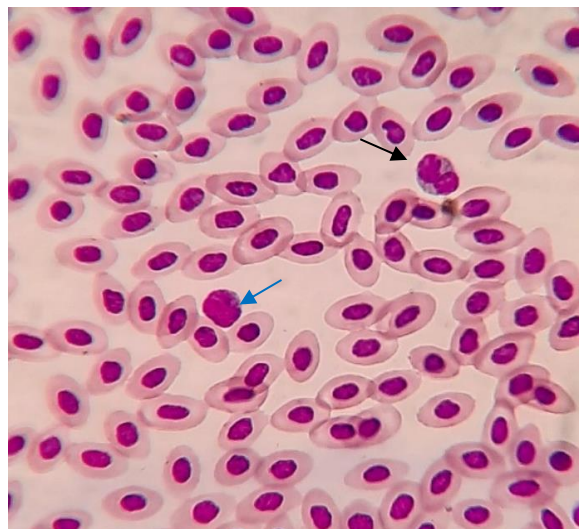




الشكل رقم (63): مسحة دموية طيرية مصبوغة بجينوا من المجموعة الثانية بعد 24 ساعة، تظهر وجود خلية مستغيرة (السهم الأبيض) والخلايا الحمضة (السهم الأسود) والصفيحات الدموية (السهم الأثرق) والعديد من خلايا الدم الحمر (تكبير ×1000)

الشكل رقم (62): مسحة دموية طبيبة مصبوغة بجيغرا من المجموعة الأولى، تظهر وجود خلية لمفاوية (السهم الأسود) وتجمع عدد من الصفيحات الدموية (السهم الأزرق) والعديد من خلايا الدم الحمر (تكبير ×1000)





الشكل رقم (65): مسحة دموية طيرية مصبوغة بجينوا من المجموعة الثالثة في اليوم التاسع، تظهر وجود مستغيرة (السهم الأسود)، وأسسة (السهم الأخضر)، ولمفلوية (السهم الأزرق)، والعديد من خلايا الدم الحمر (تكبير×1000)

الشكل رقم (64): مسحة دموية طيرية مصبوغة بجيغوا من المجموعة الثانية في اليوم الخامس، تظهر وجود خلية وحيدة النواة (السهم الأسود)، وخلية لمفلوية(السهم الأزرق)والعديد من خلايا الدم الحمر (تكبير×1000)

4-5- تأثير البروديفاكوم في العدد الكلى لخلايا الدم الحمر:

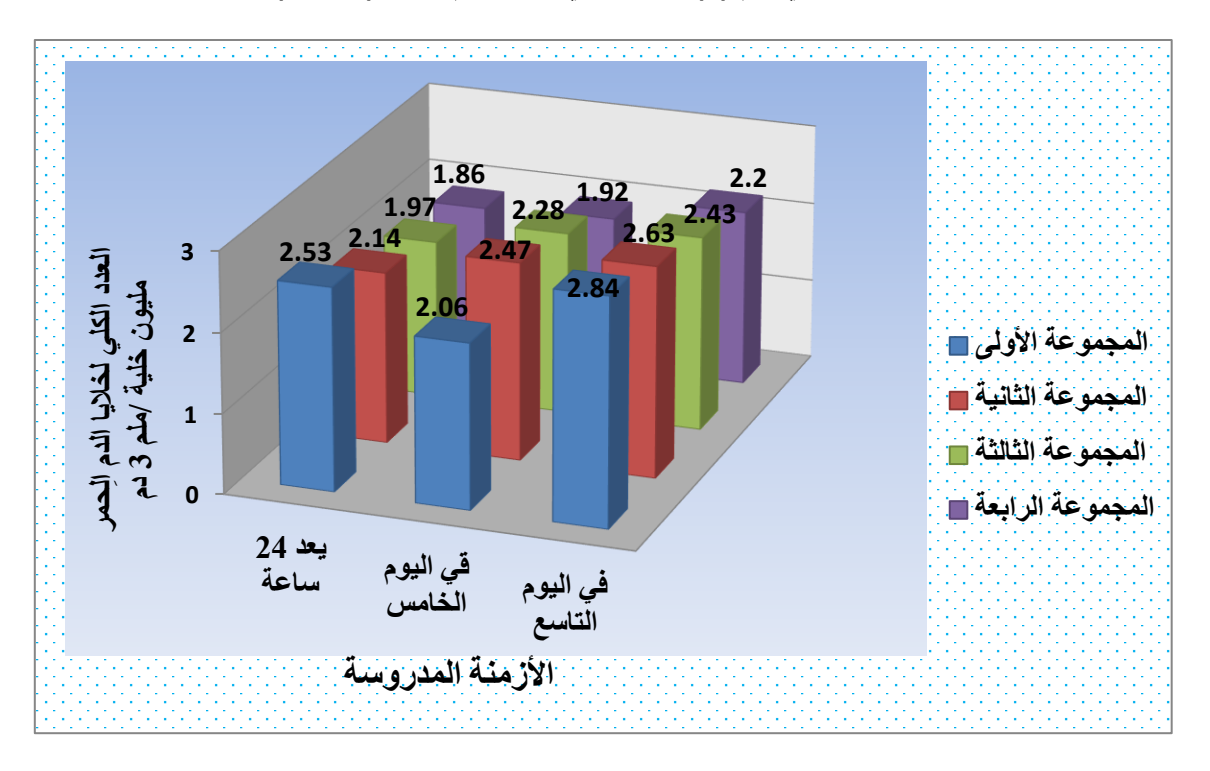
تشير النتائج في الجدول رقم (4) والمخطط البياني رقم (1) الى انخفاض معنوي في متوسط تعداد خلايا الدم الحمر ($P \le 0.05$) لدى المجموعات التي أعطيت البروديفاكوم، إذ كانت نسبة الانخفاض متفاوتة بين مجموعات التجربة وبلغ أقل متوسط لدى المجموعة الرابعة (1.86 مليون/ملم دم) وذلك بعد 24 ساعة من الإعطاء، واستمر بالانخفاض بين المجموعات في اليومين الخامس والتاسع وبلغ أقل متوسط لدى المجموعة الرابعة (1.92 مليون/ملم دم) و (2.20 مليون/ملم دم) على التوالي، كما تبين النتائج وجود فروقات معنوية عند المقارنة ما بين متوسط العدد الكلي لخلايا الدم الحمر في الأزمنة الثلاثة.

الجدول رقم (4): يوضح متوسط \overline{x} قيم العدد الكلي لخلايا الدم الحمر (TRBCs) مقدراً ب(مليون خلية/ملم 3 دم)، والانحراف المعياري SD لدى مجموعات التجربة بعد 24 ساعة من الإعطاء، وفي اليومين الخامس و التاسع .

ر (TRBCs)			
مجالات القيم المرجعية: 2.14-3.5 مليون خلية/ملم³ دم(Talebi et al., 2005)			
بعد 24 ساعة من إعطاء في اليوم الخامس من في اليوم التاسع (الاخير)			
من إعطاء البروديفاكوم	معات التحدية البروديفاكوم إعطاء البروديفاكوم		مجموعات التجربة
$\overline{x} \pm SD$	$\overline{x} \pm SD$	$\overline{x} \pm SD$, 9.
^A 2.84 ^a ± 0.04	^A 2.06 ^a ± 1.37	^A 2.53 ^a ±0.05	المجموعة الأولى (الشاهد)
^c 2.63 ^b ± 0.05	^B 2.47 ^a ± 0.04	$^{A}2.14^{b} \pm 0.07$	المجموعة الثانية
B2.43° ±0.04	^B 2.28 ^a ± 0.05	^A 1.97 ^c ±0.10	المجموعة الثالثة
^c 2.20 ^d ±0.01	B1.92 a± 0.03	^A 1.86 ^d ±0.03	المجموعة الرابعة

تدل الرموز a, b, c, d على وجود فروقات معنوية ذات دلالة احصائية عند مستوى الدلالة 5% في حال اختلافها ضــمن نفس العمود، إذ اعتُبرَت الفروقات معنوية عند مستوى الدلالة (الاحتمالية) (P≤0.05)، أما الرموز A,B,C فتدل على وجود فروقات معنوية ذات دلالة احصائية عند مستوى الدلالة 5% عند المقارنة بين الأزمنة الثلاثة المدروسة في حال اختلافها ضـمن نفس السطر وفي نفس المجموعة.

المخطط البياني رقم (1): العدد الكلي لخلايا الدم الحمر (TRBCs)



6-4 - تأثير البروديفاكوم في العدد الكلي لخلايا الدم البيض:

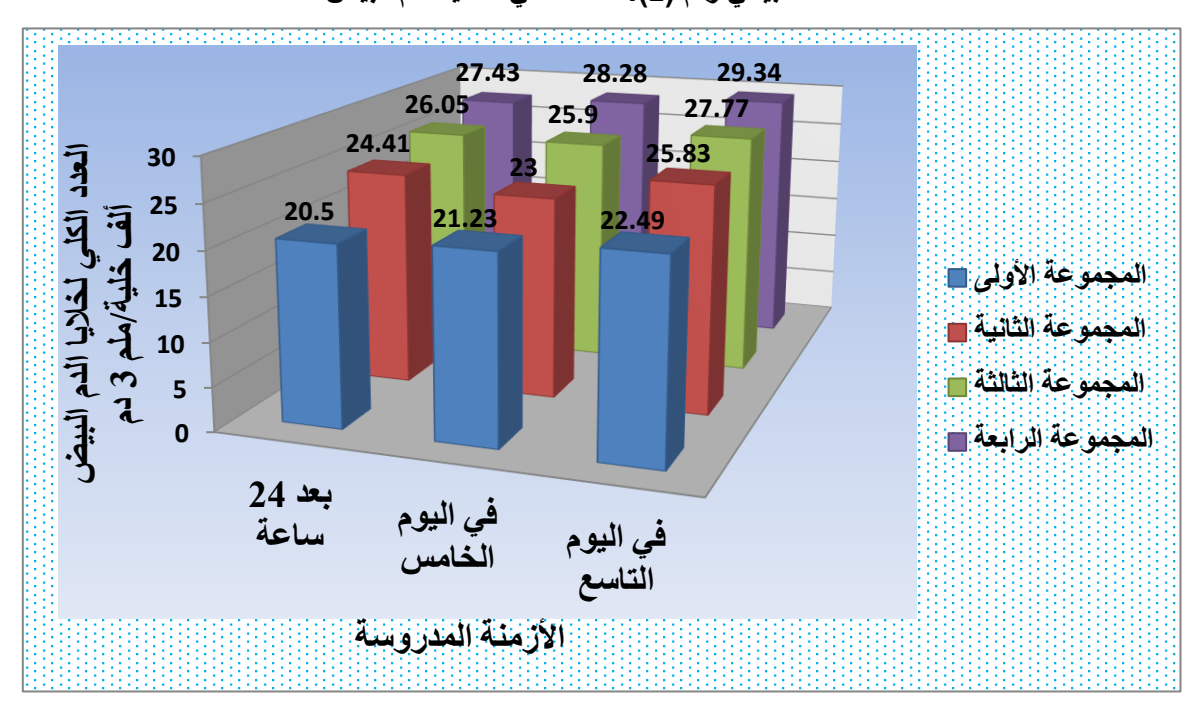
تشـير النتائج في الجدول رقم (5) والمخطط البياني رقم (2) الى ارتفاع معنوي في متوسط تعداد خلايا الدم البيض ($P \le 0.05$) لدى المجموعات الثلاث التي أعطيت البروديفاكوم مقارنة مع الشاهد، وبلغ أعلى متوسط لدى طيور المجموعة الرابعة بعد 24 سـاعة من الإعطاء (27.43 ألف خلية/ملم 3 دم)، واسـتمر بالارتفاع بين المجموعات في اليومين الخامس والتاسـع من التجربة إذ بلغت لدى المجموعة الرابعة (28.28 ألف خلية/ملم 3 دم) و (29.34 ألف خلية/ملم 3 دم) على التوالي، كذلك تظهر النتائج وجود فروقات معنوية عند المقارنة ما بين متوسـط العدد الكلي لخلايا الدم البيض لدى مجموعات التجربة في الأزمنة الثلاث.

الجدول رقم (5): يوضــح متوسـط \overline{x} قيم العدد الكلي لخلايا الدم البيض (TWBCs) مقدراً ب(ألف خلية/ملم 3 دم)، والانحراف المعياري SD \pm لدى مجموعات التجربة بعد 24 سـاعة من الإعطاء، وفي اليومين الخامس و التاسع .

ض(TWBCs)				
(Jain, 1993) مجالات القيم المرجعية: $30-12$ ألف خلية/ملم				
في اليوم التاسع (الاخير)	بعد 24 ساعة من إعطاء في اليوم الخامس من إعطاء في اليوم التاسع (الاخير)			
من إعطاء البروديفاكوم				
$\overline{x} \pm SD$	$\overline{x} \pm SD$ $\overline{x} \pm SD$ $\overline{x} \pm SD$			
$^{\text{C}}$ 22.49 $^{\text{a}}$ ±0.03	$^{B}21.23^{a}\pm0.07$	^A 20.50 ^a ±0.55	المجموعة الأولى (الشاهد)	
^c 25.83 ^b ±0.04	B23.00 b±0.10	^A 24.41 ^b ±0.32	المجموعة الثانية	
B27.77°±0.26	المجموعة الثالثة			
^c 29.34 ^d ±0.95	B28.28 d±0.02	A27.43d±0.05	المجموعة الرابعة	

تدل الرموز a, b, c, d على وجود فروقات معنوية ذات دلالة احصائية عند مستوى الدلالة 5% في حال اختلافها ضــمن نفس العمود، إذ اعتُبرَت الفروقات معنوية عند مستوى الدلالة (الاحتمالية) (P≤0.05)، أما الرموز A,B,C فتدل على وجود فروقات معنوية ذات دلالة احصائية عند مستوى الدلالة 5% عند المقارنة بين الأزمنة الثلاثة المدروسة في حال اختلافها ضـمن نفس السطر وفي نفس المجموعة.

المخطط البياني رقم (2): العدد الكلى لخلايا الدم البيض



4-7- تأثير البروديفاكوم في العد التفريقي لكريات الدم البيض:

2-7-4 اللمفاويات Lymphocytes:

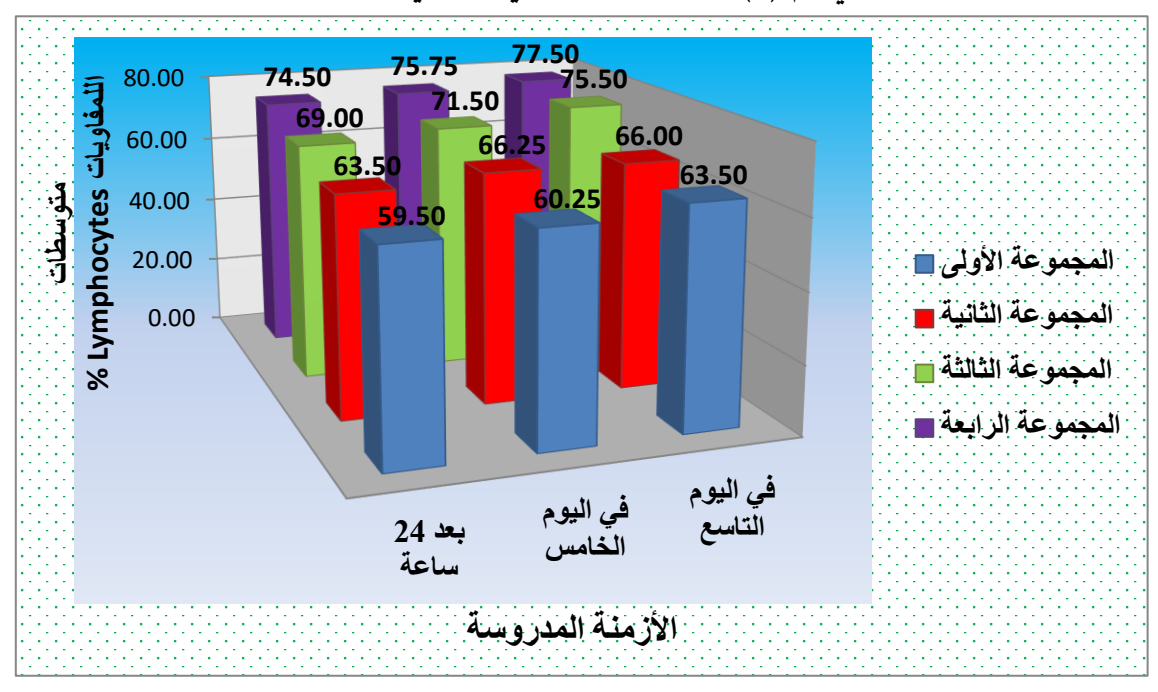
تشــير النتائج في الجدول رقم (6) والمخطط البياني رقم (3) الى ارتفاع معنوي في متوســط تعداد اللمفاويات (P≤0.05) لدى المجموعات الثلاث التي أعطيت البروديفاكوم مقارنة مع مجموعة الشاهد، إذ كانت نسـبة الارتفاع متفاوتة بين مجموعات التجربة، وبلغ أعلى متوسـط لدى المجموعة الرابعة بعد 24 ساعة واسـتمر بالارتفاع في اليومين الخامس والتاسـع على التوالي (77.50-75.75-75.%)، كما تبين النتائج وجود فروقات معنوية لدى المجموعة الأولى و الثالثة عند المقارنة ما بين متوســط تعداد اللمفاويات في الأزمنة الثلاث.

الجدول رقم (6): يوضـــح متوسـط \overline{x} تعداد اللمفاويات مقدراً ب(النســبة المئوية%)، والانحراف المعياري $\pm SD_{\pm}$ لدى مجموعات التجربة بعد 24 ساعة من الإعطاء، وفي اليومين الخامس و التاسع .

المعيار المدروس: اللمفاويات(Lymphocytes) مجالات القيم المرجعية:70-60% (Jain, 1993)			
بعد 24 ساعة من في اليوم الخامس من في اليوم التاسع (الاخير)			
من إعطاء البروديفاكوم	إعطاء البروديفاكوم	إعطاء البروديفاكوم	مجموعات التجربة
$\overline{x} \pm SD$	$\overline{x} \pm SD$ $\overline{x} \pm SD$		
$^{\text{BC}}63.50^{\text{a}}\pm2.38$	^{AC} $60.25^{a} \pm 0.96$	^A 59.50 ^a ±3.11	المجموعة الأولى (الشاهد)
$^{A}66.00^{a}\pm2.65$	$^{A}66.25^{b}\pm1.26$	$^{A}63.50^{b} \pm 1.73$	المجموعة الثانية
$^{\text{c}}75.50^{\text{b}}\pm0.71$	$^{\mathrm{B}}71.50^{\mathrm{c}}\pm1.73$	$^{A}69.00^{c}\pm1.41$	المجموعة الثالثة
$^{A}77.50^{b}\pm0.71$	$^{A}75.75^{d}\pm2.22$	$^{A}74.50^{d} \pm 1.73$	المجموعة الرابعة

تدل الرموز a, b, c, d على وجود فروقات معنوية ذات دلالة احصائية عند مستوى الدلالة 5% في حال اختلافها ضــمن نفس العمود، إذ اعتُبرَت الفروقات معنوية عند مستوى الدلالة (الاحتمالية) (P≤0.05)، أما الرموز A,B,C فتدل على وجود فروقات معنوية ذات دلالة احصائية عند مستوى الدلالة 5% عند المقارنة بين الأزمنة الثلاثة المدروسة في حال اختلافها ضـمن نفس السطر وفي نفس المجموعة.

المخطط البياني رقم (3): متوسط النسب المئوية لللمفاويات Lymphocytes



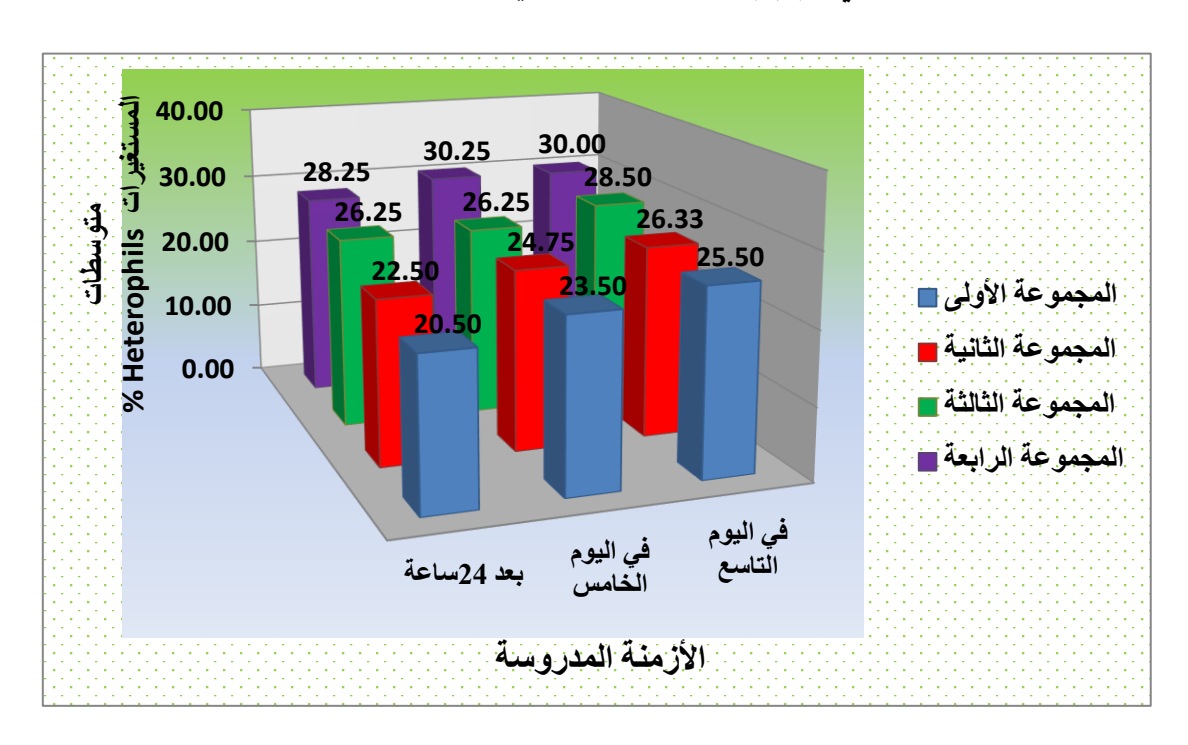
:Heterophils المستغيرات -2-7-4

تشــير النتائج في الجدول رقم (7) والمخطط البياني رقم (4) الى ارتفاع معنوي في متوســط تعداد المستغيرات (P≤0.05) لدى المجموعات الثلاث التي أعطيت البروديفاكوم مقارنة مع مجموعة الشاهد، إذ كانت نسـبة الارتفاع متفاوتة بين مجموعات التجربة، وبلغ أعلى متوسـط لدى المجموعة الرابعة بعد 24 ساعة واستمر بالارتفاع في اليومين الخامس والتاسع على التوالي (28.25-20.05-30.00%)، كما تبين النتائج وجود فروقات معنوية لدى المجموعات الأولى والثانية والثالثة عند المقارنة ما بين متوســط تعداد المستغيرات في أزمنة الإعطاء.

الجدول رقم (7): يوضح متوسط \overline{x} تعداد المستغيرات مقدراً ب(النسبة المئوية%)، والانحراف المعياري $\pm SD_{\pm}$ لدى مجموعات التجربة بعد 24 ساعة من الإعطاء، وفي اليومين الخامس و التاسع .

المعيار المدروس: المستغيرات(Heterophils)			
مجالات القيم المرجعية:30-20% (Jain, 1993)			
بعد 24 ساعة من في اليوم الخامس من في اليوم التاسع (الاخير)			
من إعطاء البروديفاكوم	إعطاء البروديفاكوم	إعطاء البروديفاكوم	مجموعات التجربة
$\overline{x} \pm SD$	$\overline{x} \pm SD$	$\overline{x} \pm SD$.5.
^B 25.50 ^a ±1.73	$^{B}23.50^{a}\pm0.58$	^A 20.50 ^a ±1.29	المجموعة الأولى (الشاهد)
^B 26.33 ^{ab} ±0.58	$^{B}24.75^{ab}\pm0.96$	^A 22.50 ^b ±1.29	المجموعة الثانية
B28.50bc±0.71	^A 26.25 ^b ±1.26	^A 26.25°±0.96	المجموعة الثالثة
^A 30.00°±1.41	^A 30.25°±1.50	^A 28.25 ^d ±0.96	المجموعة الرابعة

تدل الرموز a, b, c, d على وجود فروقات معنوية ذات دلالة احصائية عند مستوى الدلالة 5% في حال اختلافها ضــمن نفس العمود، إذ اعتُبرَت الفروقات معنوية عند مستوى الدلالة (الاحتمالية) (P≤0.05)، أما الرموز A,B,C فتدل على وجود فروقات معنوية ذات دلالة احصائية عند مستوى الدلالة 5% عند المقارنة بين الأزمنة الثلاثة المدروسة في حال اختلافها ضـمن نفس السطر وفي نفس المجموعة.



المخطط البياني رقم (4): متوسط النسب المئوية للمستغيرات

:Eosinophils الحمضات

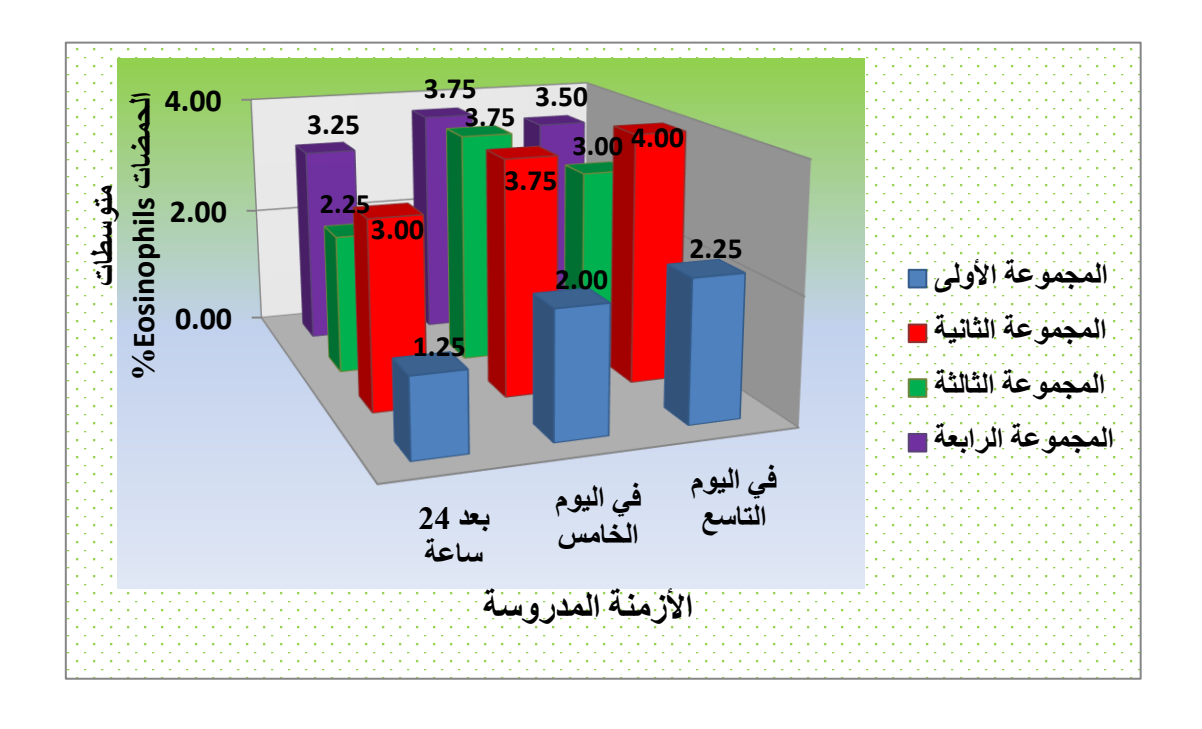
لم تلاحظ تغيرات واضحة في متوسط تعداد الحمضات كما هو موضح في الجدول رقم (8) والمخطط البياني رقم (5) إذ تشير الى وجود فروقات معنوية بسيطة في متوسط تعداد الحمضات لدى المجموعات التي أعطيت البروديفاكوم بعد 24 ساعة من الإعطاء وفي اليوم التاسع، كما تبين النتائج عدم وجود فروقات معنوية عند المقارنة ما بين متوسط تعداد الحمضات لدى مجموعات التجربة في الأزمنة الثلاث.

الجدول رقم (8): يوضــح متوسـط \bar{x} تعداد الحمضـات مقدراً ب(النســبة المئوية%)، والانحراف المعياري $\pm SD_{\pm}$ لدى مجموعات التجربة بعد 24 ساعة من الإعطاء، وفي اليومين الخامس و التاسع .

المعيار المدروس: الحمضات(Eosinophils)				
مجالات القيم المرجعية: 3−2% (Jain, 1993)				
بعد 24 ساعة من في اليوم الخامس من في اليوم التاسع (الاخير)				
من إعطاء البروديفاكوم	إعطاء البروديفاكوم	إعطاء البروديفاكوم	مجموعات التجربة	
$\overline{x} \pm SD$	$\overline{x} \pm SD$	$\overline{x} \pm SD$		
$^{B}2.25^{a} \pm 0.50$	$^{AB}2.00^{a} \pm 0.82$	$^{A}1.25^{a}\pm0.50$	المجموعة الأولى (الشاهد)	
^A 4.00 ^b ±1.00	^A 3.75 ^a ±1.71	^A 3.00 ^b ±0.82	المجموعة الثانية	
^A 3.00 ^{ab} ±1.41	^A 3.75 ^a ±1.26	^A 2.25 ^{ab} ±0.96	المجموعة الثالثة	
^A 3.50 ^{ab} ±0.71	^A 3.75 ^a ±1.71	^A 3.25 ^b ±0.96	المجموعة الرابعة	

تدل الرموز a, b, c, d على وجود فروقات معنوية ذات دلالة احصائية عند مستوى الدلالة 5% في حال اختلافها ضــمن نفس العمود، إذ اعتُبرَت الفروقات معنوية عند مستوى الدلالة (الاحتمالية) (P≤0.05)، أما الرموز A,B,C فتدل على وجود فروقات معنوية ذات دلالة احصائية عند مستوى الدلالة 5% عند المقارنة بين الأزمنة الثلاثة المدروسة في حال اختلافها ضـمن نفس السطر وفي نفس المجموعة.

المخطط البياني رقم (5): متوسط النسب المئوية للحمضات Eosinophils



Basophiles الأسسات -4-7-4

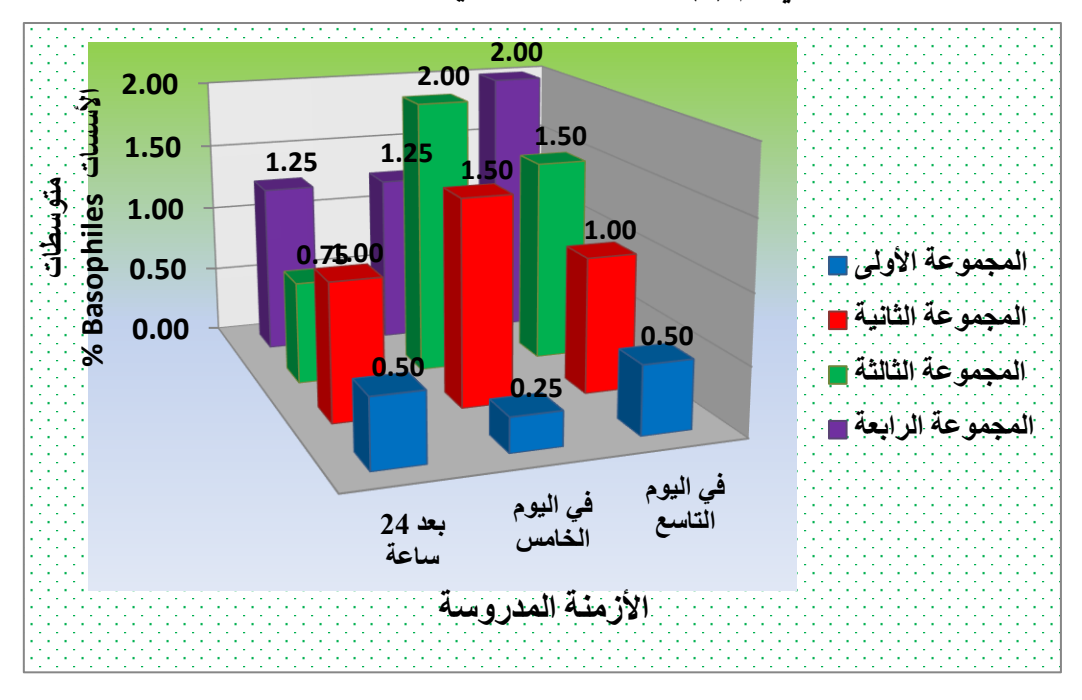
لم تلاحظ تغيرات واضحة في متوسط تعداد الأسسات كما هو موضح في الجدول رقم (9) والمخطط البياني رقم (6) إذ تشير الى عدم وجود فروقات معنوية في متوسط تعداد الأسسات لدى المجموعات التي أعطيت البروديفاكوم بعد 24 ساعة من الإعطاء، ووجود فروقات معنوية بسيطة في اليومين الخامس والتاسع، كما تبين النتائج وجود فروقات معنوية لدى المجموعة الثالثة عند المقارنة ما بين متوسط تعداد الأسسات لدى مجموعات التجربة في الأزمنة الثلاث.

الجدول رقم (9): يوضح متوسط \overline{x} تعداد الأسسسات مقدراً ب(النسبة المئوية%)، والانحراف المعياري $\pm SD$ لدى مجموعات التجربة بعد 24 ساعة من الإعطاء، وفي اليومين الخامس و التاسع .

المعيار المدروس: الأسسات(Basophiles)			
مجالات القيم المرجعية: 1−0% (Jain, 1993)			
بعد 24 ساعة من في اليوم الخامس من في اليوم التاسع (الاخير)			مجموعات التجربة
من إعطاء البروديفاكوم	إعطاء البروديفاكوم	إعطاء البروديفاكوم	ببد المجارة
$\overline{x} \pm SD$	$\overline{x} \pm SD$	$\overline{x} \pm SD$	
$^{A}0.50^{a}\pm0.58$	$^{A}0.25^{a}\pm0.50$	$^{A}0.50^{a}\pm0.58$	المجموعة الأولى (الشاهد)
^A 1.00 ^{ab} ±0.00	^A 1.50 ^b ±0.58	^A 1.00 ^a ±0.82	المجموعة الثانية
AB1.50bc±0.71	^B 2.00 ^b ±0.82	^A 0.75 ^a ±0.50	المجموعة الثالثة
^A 2.00°±0.00	^A 1.25 ^b ±0.50	^A 1.25 ^a ±1.50	المجموعة الرابعة

تدل الرموز a, b, c, d على وجود فروقات معنوية ذات دلالة احصائية عند مستوى الدلالة 5% في حال اختلافها ضــمن نفس العمود، إذ اعتُبرَت الفروقات معنوية عند مستوى الدلالة (الاحتمالية) (P≤0.05)، أما الرموز A,B,C فتدل على وجود فروقات معنوية ذات دلالة احصائية عند مستوى الدلالة 5% عند المقارنة بين الأزمنة الثلاثة المدروسة في حال اختلافها ضـمن نفس السطر وفي نفس المجموعة.

المخطط البياني رقم (6): متوسط النسب المئوية للأسسات Basophiles



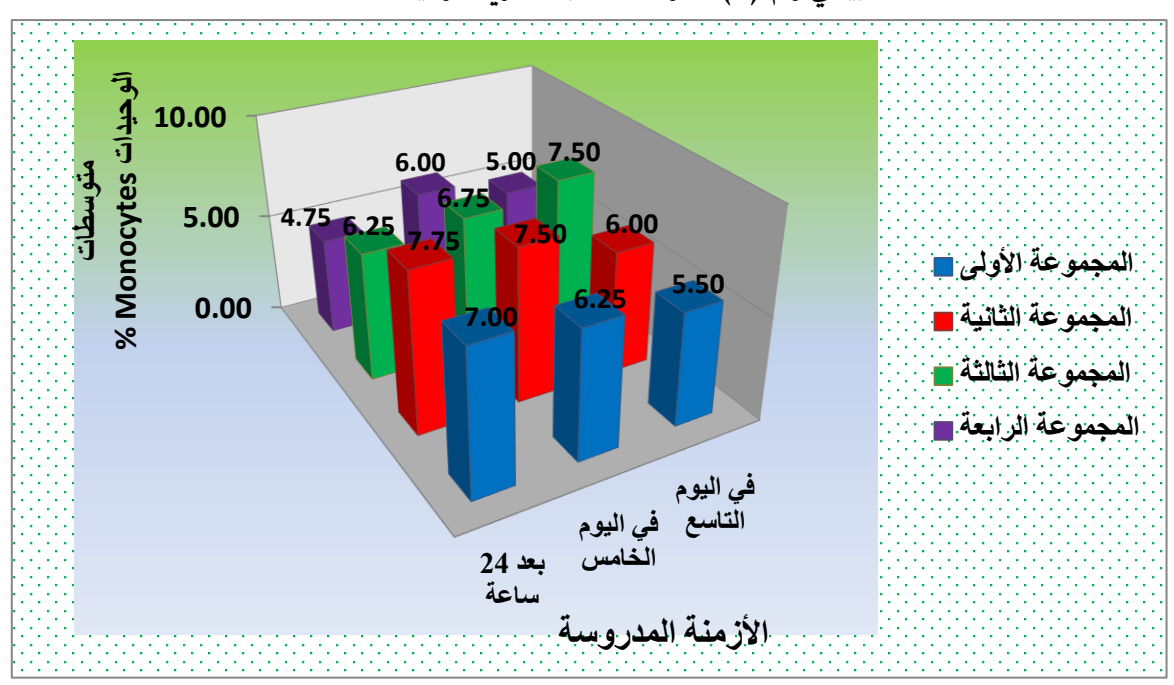
:Monocytes الوحيدات -5-7-4

لم تلاحظ تغيرات واضحة في متوسط تعداد الوحيدات كما هو موضح في الجدول رقم (10) والمخطط البياني رقم (7) إذ تشير الى وجود فروقات معنوية بسيطة في متوسط تعداد الوحيدات لدى المجموعات التي أعطيت البروديفاكوم بعد 24 ساعة من الإعطاء، كذلك عدم وجود فروقات معنوية في اليومين الخامس والتاسع، كما تبين النتائج وجود فروقات معنوية لدى المجموعة الثانية عند المقارنة ما بين متوسط تعداد الوحيدات لدى مجموعات التجربة في الأزمنة الثلاث.

الجدول رقم (10): يوضـــح متوسـط \overline{x} تعداد الوحيدات مقدراً ب(النســبة المئوية%)، والانحراف المعياري $\pm SD_{\pm}$ لدى مجموعات التجربة بعد 24 ساعة من الإعطاء، وفي اليومين الخامس و التاسع .

المعيار المدروس: الوحيدات(Monocytes)				
مجالات القيم المرجعية:10-5% (Jain, 1993)				
في اليوم التاسع (الاخير)	بعد 24 ساعة من في اليوم الخامس من في اليوم التاسع (الاخير)			
من إعطاء البروديفاكوم	إعطاء البروديفاكوم	إعطاء البروديفاكوم	مجموعات التجربة	
$\overline{x} \pm SD$	$\overline{x} \pm SD$	$\overline{x} \pm SD$		
^A 5.50 ^a ±1.29	$^{A}6.25^{a} \pm 1.50$	^A 7.00 ^{ac} ±0.82	المجموعة الأولى (الشاهد)	
^B 6.00 ^a ±1.00	AB7.50°±1.00	^A 7.75 ^{ba} ±0.96	المجموعة الثانية	
^A 7.50 ^a ±2.12	^A 6.75 ^a ±1.50	^6.25°±0.96	المجموعة الثالثة	
^A 5.00 ^a ±1.41	$^{A}6.00^{a}{\pm}0.82$	^4.75 ^d ±0.96	المجموعة الرابعة	

تدل الرموز a, b, c, d على وجود فروقات معنوية ذات دلالة احصائية عند مستوى الدلالة 5% في حال اختلافها ضــمن نفس العمود، إذ اعتُبرَت الفروقات معنوية عند مستوى الدلالة (الاحتمالية) (P≤0.05)، أما الرموز A,B,C فتدل على وجود فروقات معنوية ذات دلالة احصائية عند مستوى الدلالة 5% عند المقارنة بين الأزمنة الثلاثة المدروسة في حال اختلافها ضمن نفس السطر وفي نفس المجموعة.



المخطط البياني رقم (7): متوسط النسب المئوية للوحيدات Monocytes

4-8- تأثير البروديفاكوم في عدد الصفيحات الدموبة:

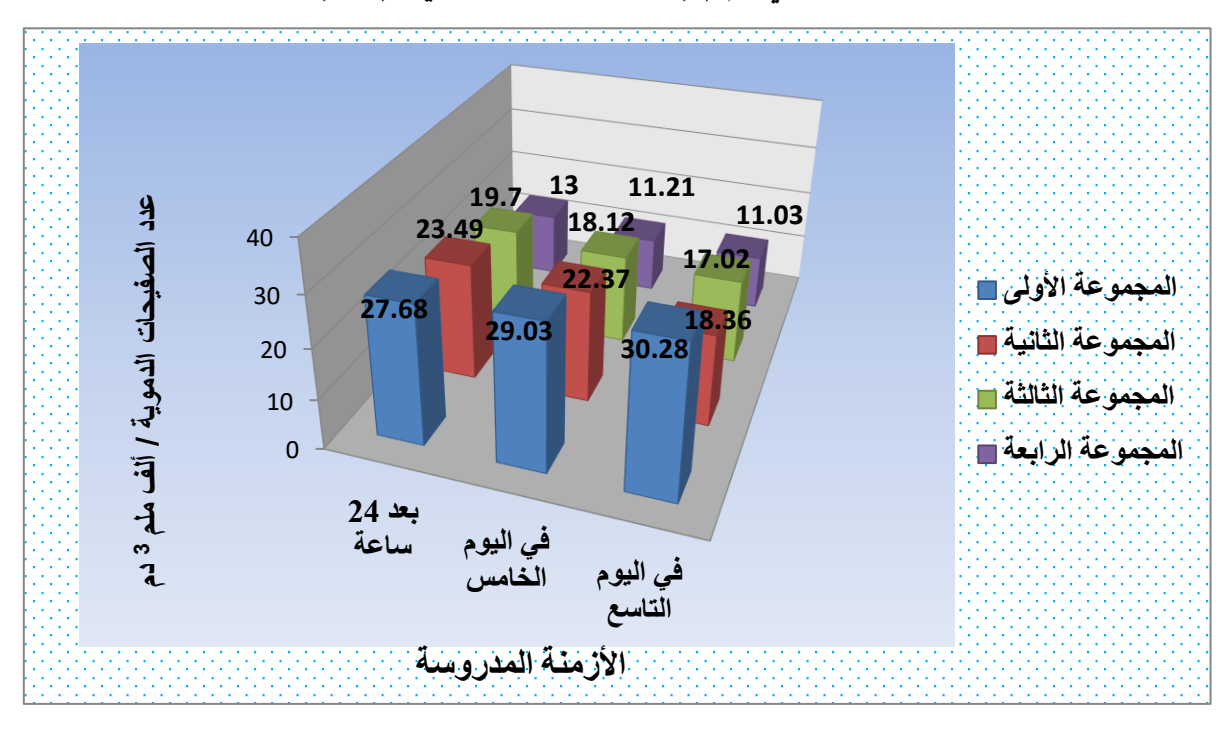
تشـير النتائج في الجدول رقم (11) والمخطط البياني رقم (8) الى انخفاض معنوي في متوسـط تعداد الصـفيحات الدموية (€0.05) لدى المجموعات الثلاث التي أعطيت البروديفاكوم مقارنة مع الشـاهد، وبلغ أخفض متوسـط لدى طيور المجموعة الرابعة بعد 24 سـاعة من الإعطاء (13 ألف صـفيحة/ملم وبلغ أخفض متوسـط لدى طيور المجموعات في اليومين الخامس والتاسع من التجربة وبلغ أقل متوسط لدى المجموعة الرابعة (11.21–11.03 ألف صـفيحة/ملم دم) على التوالي ، كما تشـير النتائج الى وجود فروقات معنوية عند المقارنة ما بين متوسط تعداد الصـفيحات الدموية لدى مجموعات التجربة في الأزمنة الثلاث.

الجدول رقم (11): يوضــح متوسـط \overline{x} قيم العدد الكلي للصــفيحات الدموية (PLT) مقدراً ب(ألف صــفيحة/ملم 3 دم)، والانحراف المعياري SD \pm لدى مجموعات التجربة بعد 24 ســاعة من الإعطاء، وفي اليومين الخامس و التاسع .

المعيار المدروس: العدد الكلي للصفيحات الدموية (PLT)				
مجالات القيم المرجعية: 30-20 ألف صفيحة/ملم³ دم (Jain, 1993)				
بعد 24 ساعة من إعطاء في اليوم الخامس من في اليوم التاسع (الاخير)				
من إعطاء البروديفاكوم	إعطاء البروديفاكوم	البروديفاكوم	مجموعات التجربة	
$\overline{x} \pm SD$	$\overline{x} \pm SD$	$\overline{x} \pm SD$	مجبوحت اسجريا	
c30.28a±0.63	B 29.03a±0.17	^A 27.68 ^a ±0.62	المجموعة الأولى (الشاهد)	
c18.36b±0.34	B 22.37 b±0.33	^A 23.49 ^b ±0.47	المجموعة الثانية	
c17.02c±0.28	B18.12 c±0.26	A19.70°±0.34	المجموعة الثالثة	
B11.03d±0.0.27	B11.21d±0.21	A13d±0.17	المجموعة الرابعة	

تدل الرموز a, b, c, d على وجود فروقات معنوية ذات دلالة احصائية عند مستوى الدلالة 5% في حال اختلافها ضــمن نفس العمود، إذ اعتُبرَت الفروقات معنوية عند مستوى الدلالة (الاحتمالية) (P≤0.05)، أما الرموز A,B,C فتدل على وجود فروقات معنوية ذات دلالة احصائية عند مستوى الدلالة 5% عند المقارنة بين الأزمنة الثلاثة المدروسة في حال اختلافها ضمن نفس السطر وفي نفس المجموعة.

المخطط البياني رقم (8): تعداد الصفيحات الدموية (PLT)



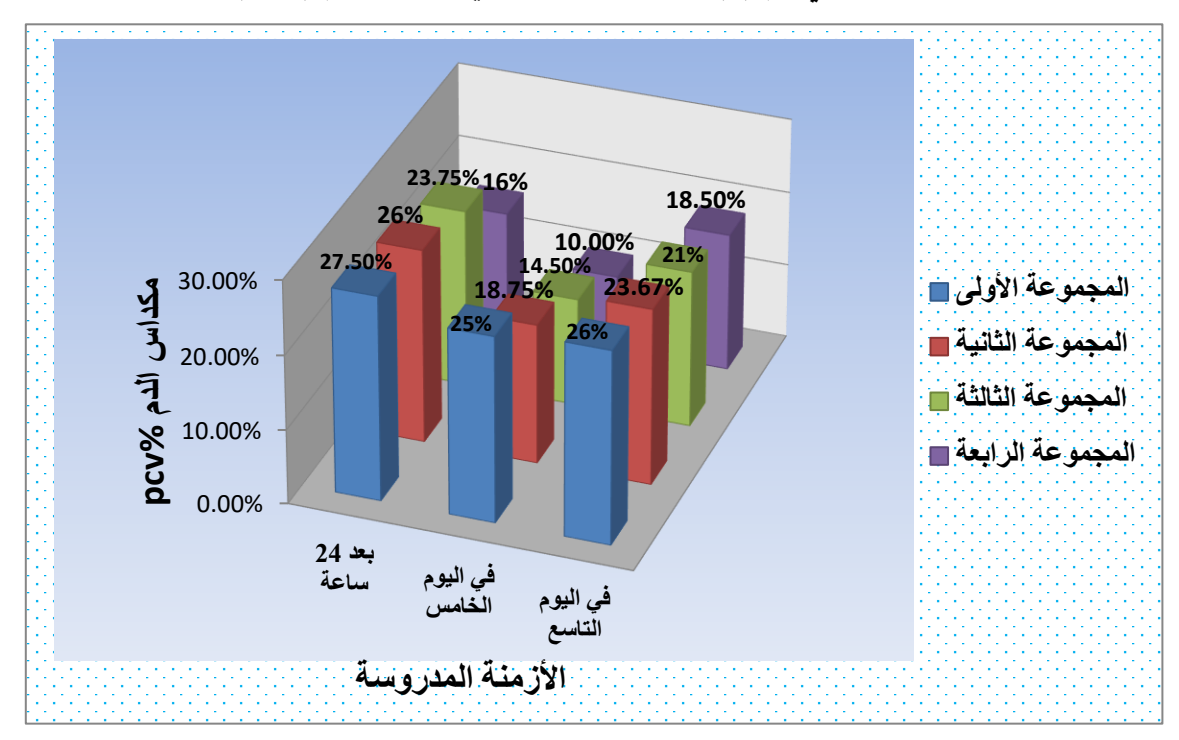
8-4- تأثير البروديفاكوم في مكداس الدم (Hematocrit):

تشــير النتائج في الجدول رقم (12) والمخطط البياني رقم (9) الى انخفاض معنوي في متوســط قيم مكداس الدم (20.05) لدى المجموعات التي أعطيت البروديفاكوم بعد 24 ساعة من الإعطاء، واستمر متوســط مكداس الدم بالانخفاض لدى مجموعات التجربة في اليومين الخامس و التاســع من التجربة بالمقارنة مع مجموعة الشــاهد، وبلغت أقل قيمة لدى المجموعة الرابعة وتحديداً في اليوم الخامس بعد إعطاء البروديفاكوم (10%)، كما بينت النتائج وجود فروقات معنوية عند المقارنة ما بين متوسـط مكداس الدم لدى مجموعات التجربة في الأزمنة الثلاث.

الجدول رقم (12): يوضح متوسط \overline{x} قيم مكداس الدم (PCV) مقدراً ب(النسبة المئوية%)، والانحراف المعياري $\pm SD_{\pm}$ لدى مجموعات التجربة بعد 24 ساعة من الإعطاء، وفي اليومين الخامس و التاسع .

المعيار المدروس: مكداس الدم (PCV)(Hematocrit)			
مجالات القيم المرجعية: 35-22 % (Jain, 1993)			
بعد 24 ساعة من في اليوم الخامس من في اليوم التاسع (الاخير)			
من إعطاء البروديفاكوم	إعطاء البروديفاكوم	إعطاء البروديفاكوم	مجموعات التجربة
$\overline{x} \pm SD$	$\overline{x} \pm SD$	$\overline{x} \pm SD$.3.
^B 26 ^a ±0.82	$^{B}25^{a} \pm 0.82$	^A 27.5 ^a ±0.58	المجموعة الأولى (الشاهد)
^c 23.67 ^b ±0.58	$^{B}18.75^{b} \pm 0.50$	^A 26 ^a ±0	المجموعة الثانية
c 21°±0	B14.50°±0.58	A 23.75b±1.89	المجموعة الثالثة
A18.50d±0.71	^B 10 ^d ±1.16	^A 16 ^c ±1.41	المجموعة الرابعة

تدل الرموز a, b, c, d على وجود فروقات معنوية ذات دلالة احصائية عند مستوى الدلالة 5% في حال اختلافها ضــمن نفس العمود، إذ اعتُبرَت الفروقات معنوية عند مستوى الدلالة (الاحتمالية) (P≤0.05)، أما الرموز A,B,C فتدل على وجود فروقات معنوية ذات دلالة احصائية عند مستوى الدلالة 5% عند المقارنة بين الأزمنة الثلاثة المدروسة في حال اختلافها ضمن نفس السطر وفي نفس المجموعة.



المخطط البياني رقم (9): متوسط النسبة المئوية لمكداس الدم (PCV)

4-9- تأثير البروديفاكوم في زمن التخثر:

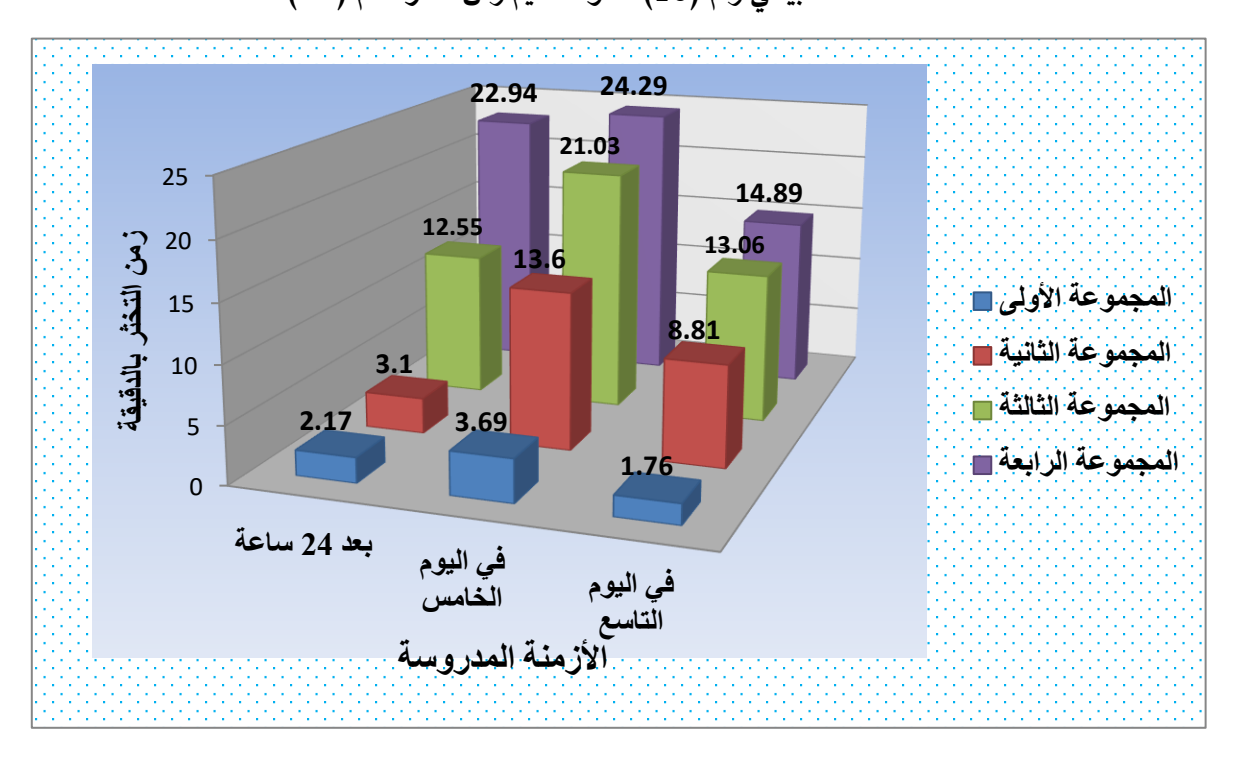
تشــير النتائج في الجدول رقم (13) والمخطط البياني رقم (10) الى ارتفاع معنوي في زمن تخثر الدم (P≤0.05) (CT) (P≤0.05) الدى المجموعات التي أعطيت البروديفاكوم بعد 24 ســاعة من الإعطاء، واســتمر متوسط زمن التخثر بالارتفاع لدى مجموعات التجربة في اليومين الخامس و التاسع من التجربة بالمقارنة مع مجموعة الشــاهد، وبلغت أعلى قيمة لدى المجموعة الرابعة وتحديداً في اليوم الخامس بعد إعطاء البروديفاكوم (24.29 دقيقة) ، كما بينت النتائج وجود فروقات معنوية عند المقارنة ما بين متوسـط زمن الخثر لدى مجموعات التجربة في الأزمنة الثلاث.

الجدول رقم (13): يوضـــح متوسـط \overline{x} قيم زمن تخثر الدم (CT) مقدراً ب(الدقيقة)، والانحراف المعياري $\pm SD$ لدى مجموعات التجربة بعد 24 ساعة من الإعطاء، وفي اليومين الخامس و التاسع .

المعيار المدروس: زمن تخثر الدم (CT)			
مجالات القيم المرجعية: 15-2 دقيقة (Jain, 1993)			
بعد 24 ساعة من في اليوم الخامس من في اليوم التاسع (الاخير)			
من إعطاء البروديفاكوم	إعطاء البروديفاكوم	إعطاء البروديفاكوم	مجموعات التجربة
$\overline{x} \pm SD$	$\overline{x} \pm SD$	$\overline{x} \pm SD$	
^A 1.76 ^a ±0.37	$^{B}3.69^{a} \pm 1.02$	A 2.17a±0.12	المجموعة الأولى (الشاهد)
c 8.81 ^b ±1.03	^B 13.60 ^b ±1.67	A 3.10a±0.53	المجموعة الثانية
A13.06 c±0.08	B21.04 c±0.84	^A 12.55 ^b ±0.50	المجموعة الثالثة
B14.89 d±0.58	^A 24.29 ^d ±1.34	^A 22.94 ^c ±1.07	المجموعة الرابعة

تدل الرموز a, b, c, d على وجود فروقات معنوية ذات دلالة احصائية عند مستوى الدلالة 5% في حال اختلافها ضــمن نفس العمود، إذ اعتُبرَت الفروقات معنوية عند مستوى الدلالة (الاحتمالية) (P≤0.05)، أما الرموز A,B,C فتدل على وجود فروقات معنوية ذات دلالة احصائية عند مستوى الدلالة 5% عند المقارنة بين الأزمنة الثلاثة المدروسة في حال اختلافها ضمن نفس السطر وفي نفس المجموعة.

المخطط البياني رقم (10): متوسط قيم زمن تخثر الدم (CT)



الفَصْل الخامِس المُناقشة Discussion

5- المناقشة Discussion:

3-1- الأعراض المرضية الظاهرة (قبل الذبح):

أشارت نتائج الدراسة الحالية إلى ظهور الأعراض المرضية لدى جميع طيور مجموعات التجربة بعد 24 ساعة من تناول البروديفاكوم، ويمكن تفسير سرعة ظهور الأعراض إلى الامتصاصية العالية والسريعة للبروديفاكوم بعد الابتلاع (Vandenbroucke et al., 2008). كذلك قدرته على الارتباط بخلايا الكبد وتخريب وظائفه خلال 24 ساعة بعد تناول جرعة واحدة (Bachman & Sulliran, 1983).

وجد الباحثين (Dpakauskas et al., 2005) في دراساتهما لدى الفئران وجد الباحثين (Dpakauskas et al., 2005) و (Dpakauskas et al., 2005) في حين والجرذان نتائج مشابهة فيما يتعلق بسرعة ظهور الأعراض إذ ظهرت خلال 24-36 ساعة، في حين خالفت نتائجنا هذه نتائج الباحث (Fisher, 2009) في دراسته لدى الدجاج البياض المعرض للبروديفاكوم بجرعة 0.50 ملغ/كغ وبعمر 22-24 أسبوع، إذ كانت الأعراض غامضة وبدون أي علامات تسمم أو نزيف واضح على مدى 14 يوم، وهي جرعة منخفضة مقارنة بالجرعات المُعطاة في دراستنا.

ظهرت الأعراض بدايةً على شكل خمول، وانخفاض في الشهية. إن ظهور مثل هذه الأعراض قد يعود لتأثير البروديفاكوم بشكل أساس على الكبد الذي يلعب دوراً رئيساً في إزالة السموم، لذا يمكننا القول إن البروديفاكوم يقلل من كفاءة الكبد في القيام بوظائفه مما يؤدي إلى حدوث اضطرابات فيزيولوجية في الجسم تسبب الخمول وانخفاض أو فقدان الشهية، ويدعم ذلك ما وجدناه عند دراسة التغيرات التشريحية المرضية التي أحدثها البروديفاكوم في أكباد الطيور.

شوهِدَت الاضطرابات العصبية والارتعاشات العضلية لدى طيور مجموعات التجربة الثلاث، والتي تُعزى إلى السمية العصبية للبروديفاكوم وتأثيره على تخليق فيتامين K في الكبد الذي يعد ضرورياً لعمل الدماغ ويعمل كعامل مساعد للكربوكسيل في إنزيم غاما غلوتاميل سستئين (GGC) المسؤول عن فيزيولوجيا الخلايا العصبية والخلايا الدبقية في المخ، وتكوين النخاعين ثم تأثيره على عملية التوازن (Eckhardt, 2008; Ferland, 2012; Marangoni et al., 2016)

لوحظت الأعراض المرضية بدءاً من اليوم الرابع وحتى نهاية التجربة في اليوم التاسع بشكل أساس على هيئة نزف في العين والأُذن وتحت الجلد لاسيما في منطقة تحت جلد الجناح والرقبة والصدر، وازدادت شدتها وبدت أكثر وضروحاً بازدياد الجرعة ومع مرور الوقت، يمكن تفسير حدوث النزف بتأثير

البروديفاكوم على الشعيرات الدموية إذ يزيد نفاديتها (Eckhardt, 2008) ثم يتسرب الدم من الأوعية الدموية محدثاً النزيف الداخلي، إضافة لذلك يمكن تفسير النزوف المشاهدة عيانياً عبر قدرة البروديفاكوم السريعة على الارتباط بخلايا الكبد مُسبباً تخربها إذ تُصنع الغالبية العظمى لعوامل التخثر فيها السريعة على الارتباط بخلايا الكبد مُسبباً تخربها إذ تُصنع الغالبية العظمى لعوامل التخثر فيها (Oldenburg et al., 2006; Weitz, 2011) كما يُفسر تأخر ظهور النزف بعد اليوم الثالث؛ باعتبار أن تعطيل عملية تخثر الدم تتم عندما تنخفض تراكيز عوامل التخثر الوظيفية إلى ما دون العتبة الحرجة (Hadler & Shadbolt, 1975)، على نحو عام تحتاج مضادات التخثر من الجيل الثاني لعدة أيام لتحدث تأثيرها على عوامل التخثر التي تُصنع وليس تلك المصنعة سلفاً. كذلك قد يعود تأخر ظهور العلامات المرضيية لاعتلال التخثر التخثر Sobczak, 2012).

يؤدي النزف الشديد لانخفاض حجم الدم في الجسم على نحو كبير؛ بسبب عدم القدرة على تعويض الدم المفقود واضطراب عملية تخثر الدم واعاقتها كل ذلك سوف يؤدي إلى الصدمة الدموية الناتجة عن فقدان حجم الدم ومن ثم فقدان الوعي والنفوق، وهذا يفسر النفوق المشاهد لدى أربعة من طيور التجربة في اليومين الرابع والخامس، أما بالنسبة لنفوق طائر واحد بعد 24 ساعة في المجموعة التي أُعطيت 9 ملغ/ كغ من البروديفاكوم؛ قد يعود إلى صدمة الألم العصبية التي أحدثتها الجرعة العالية من البروديفاكوم. اختلفت نتائجنا هذه مع ما جاءت به نتائج الباحث (Bailey et al., 2005) إذ كانت نسبة النفوق عشر دجاجات أُعطيت 3 ملغ /كغ بروديفاكوم عن طريق الحقن.

يمكننا القول إن هذه الاختلافات في ظهور الأعراض وسرعتها ونسبة النفوق؛ قد تعود للاختلاف في نوع الحيوان والعمر إضافة إلى كمية وتركيز السم وطربقة التعرض.

2-5 التغيرات التشريحية المرضية:

1-2-5 الكبد:

أظهرت نتائج هذه الدراسة وجود تغيرات مرضية عيانية مهمة في أكباد طيور مجموعات التجربة بعد إعطاء البروديفاكوم والتي تمثلت باضطرابات في اللون إذ ظهر الشحوب في حواف الكبد إضافة إلى اللون الأصفر الذي قد يعود إلى ما شاهدناه في هذه الدراسة من تغيرات نسيجية شملت التورم الغيمي والتنكس المائي والدهني في الخلايا الكبدية مما ينعكس على لون الكبد، أما اللون الاحمر الداكن فقد يكون ناتجاً عن النزف تحت محفظة الكبد أو احتقان الأوردة الناتج عن تراكم الدم على نحو سلبي داخل

الأوردة واحتفان الجيبانات الدموية وذلك ما بينته نتائجنا النسيجية. كذلك لوحظت تغيرات في الشكل والقوام، إذ بدى الكبد متضخماً وازداد حجمه لدى طيور المجموعة الرابعة بعد 24 ساعة من الإعطاء، وازداد التضخم في اليومين الخامس والتاسع لدى المجموعات الثلاث؛ قد يعود هذا التضخم إلى التنكس المائي والشحمي الملاحظ في دراستنا، ويمكن أن تعود هشاشة الكبد الملاحظة في هذه الدراسة في اليوم التاسع من التجربة إلى السمية الكبدية للبروديفاكوم وما يسببه من تخرب في خلاياه.

قد تعزى التغيرات الشكليائية في الكبد إلى التأثير السام المباشر لمشتقات 4- هيدروكسي كومارين على الكبد، إذ يتميز الجيل الثاني من مبيدات القوارض المضادة للتخثر بالتراكم والبقاء لفترة طويلة في الكبد، (Erickson & Urban ,2004).

أما من الناحية المجهرية، فإن البروديفاكوم أحدث العديد من التغيرات النسيجية التي ترافقت مع التغيرات العيانية السابقة في الكبد، وكان أبرزها احتقان الجيبانات والأوعية الدموية، إضافة للتغيرات التنكسية في الخلايا الكبدية لاسيما حول المسافات البابية وذلك لوصول المادة عبرها أولاً مع الدم القادم من الأمعاء عبر الوريد البابي، كذلك حول الأوردة المركزية بسبب قلة الأوكسجين في هذه المنطقة.

شملت التغيرات التنكسية التورم الغيمي والتنكس المائي بدرجات مختلفة لدى المجموعتين الثالثة والرابعة بعد 24 ساعة من الإعطاء والذي ازداد في اليومين الخامس والتاسع.

إضافة للتنكس المائي والدهني ونخر بعض الخلايا الكبدية والذي بدى أكثر وضوحاً في اليومين الخامس والتاسيع لدى المجموعات الثلاث لاسيما المجموعة الرابعة، يُعد التنكس الدهني في الكبد استجابة شائعة تُلاحظ مع مجموعة متنوعة من المواد السامة للكبد (Treinen-moslen, 2001) ويمكن أن يؤدي النزف الحاصل إلى نقص أكسجة وحدوث اضطرابات استقلابية والذي يعد أحد أهم مسببات التنكس الدهني كما وجدنا في دراستنا.

يُعتقد أن سبب حدوث مثل هذه التغيرات المرضية التنكسية والنخرية في خلايا الكبد؛ يعود لعمل مبيدات الآفات كمواد مُؤكسِدة تُحدث تأثيراتها في أعضاء متعددة للكائنات الحية ومنها الكبد الآفات كمواد مُؤكسِدة تُحدث تأثيراتها في أعضاء متعددة للكائنات الحية ومنها الكبد (Limón -Pacheco & Gonsebatt, 2009) إذ تتميز مبيدات الآفات بأُلفتها للدهون والقدرة على التراكم في الأغشية الخلوية مما يؤدي إلى تحفيز إنتاج مركبات الأوكسيين التفاعلي"ROS" وتقليل نشاط الإنزيمات المضادة للأكسدة مثل: الغلوتاثيون بيروكسيداز (GPX)، فوق الأكسيد ديسميوتاز (Ragab et al.,2019) وهذا ما فسره (Ragab et al.,2019) وهذا ما فسره (Ragab et al.,2019) وهذا ما فسره (Ragab et al.,2019).

كذلك يمكن أن تعود التغيرات الخلوية الكبدية إلى تأثير البروديفاكوم على مستويات سلسلة نقل الالكترون في المتقدرات، واستقلاب الغلوكوز والاحماض الامينية، وضعف عزل +ca² المتقدرات مما يؤدي إلى استنفاد موارد الطاقة الخلوية (Yan et al., 2016)، كذلك يتسبب جزيء برومو البنزين في البروديفاكوم في فك اقتران الفسفرة التأكسدية للمتقدرات ثم إثارة الاجهاد التأكسدي عن طريق مستقلبات مجموعة البروم والتي تتأين إلى أيون بروميد يُطلق بعد امتصاص البروديفاكوم في الجهاز الهضمي ثم يتحول أيون البروميد إلى بروميد النتروز أو حمض البروموس Hypobromous المعروف بأنه يؤثر على وظائف المتقدرات والتي قد يكون لها دور في زيادة توليد أنواع الأكسجين التفاعلي مما يؤدي إلى تشكل بيروكسيد الدهون وتغيير التوازن التأكسدي (مضادات الأكسحين الثقاعلي مؤدياً إلى زيادة الاجهاد التأكسدي (Maellaro et al., 1990).

أظهرت نتائج الفحوص المجهرية في هذه الدراسة تخرباً في بطانة الأوردة المركزية والكبدية؛ قد يشير هذا التغيير إلى تلف بطاني وإجهاد الأوعية الدموية نتيجة التعرض للبروديفاكوم، وازداد ارتشاح خلايا كوبفر Kupffer Cells وبدت واضحة، قد تعزى هذه الزيادة إلى زيادة النشاط البلعمي للخلايا الجيبية كآلية دفاع لإزالة السموم وبقايا الحطام الخلوي إذ تقوم الجسيمات الحالة داخل الخلايا في حالات التنكس والنخر بتكوين منتجات استقلابية، أو قد يكون استجابة الكبد للإجهاد التأكسدي وهذا مافسره الباحث (Neyrinck, 2004).

ترافقت التغيرات التنكسية والنخرية في نتائجنا برد فعل التهابي حاد من المستغيرات والبلاعم واللمفاويات لاسيما حول المسافات البابية والأوردة المركزية؛ قد يشير ظهور الخلايا الالتهابية في الأنسجة الكبدية إلى إمكانية تفاعل البروديفاكوم مع بروتينات وأنزيمات النسيج الخلالي الكبدي التي تتداخل مع آلية الدفاع عن مضادات الأكسدة وتؤدي إلى توليد أنواع الأكسجين التفاعلي (ROS) والتي بدورها قد تحاكي الاستجابة الالتهابية (Johar et al., 2004) والتي بدورها قد تحاكي الاستجابة من الكريات البيض لاسيما المستغيرات واللمفاويات والبلاعم كآلية دفاعية للحد من النخر، إن تسلل الخلايا الالتهابية في النسيج الكبدي قد يكون ناتجاً عن استجابة الجهاز الشبكي البطاني لمبيد القوارض وهذا ما أشار إليه كذلك الباحث (El-Banhawy et al., 1993). كما يحرض الإجهاد التأكسدي زيادة التعبير عن أنزيمات الأكسدة الحلقية الوراز الوسائط الالتهابية التي تعمل على تحفيز هجرة المستغيرات والبلاعم الى موقع الالتهاب (Lipoxygenase والبلاعم التي التهابية التي تعمل على تحفيز هجرة المستغيرات والبلاعم الى موقع الالتهاب (LOX) (Ragab et al., 2019).

تماثلت نتائج الفحص النسيجي لعينات الكبد في دراستنا مع نتائج عدد من الدراسات الحديثة (Ragab et al., 2019)، (Gül et al., 2016) لتأثير البروديفاكوم لدى الفئران.

2-2-5 الكلي:

أظهرت نتائج الدراســـة الحالية وجود تغيرات عيانية في الكلى لدى طيور مجموعات التجربة بعد تناول البروديفاكوم وتعد هذه التغيرات دليلاً على التأثير الســـام الجوهري الذي يحدثه البروديفاكوم لدى كلى مجموعات التجربة، والتي تمثلت بتضخم فصـوص الكلى لاسيما الفصـوص الأمامية، إضافة للاحتقان والنزف بعد 24 ساعة وفي اليوم التاسع من التجربة، ولوحظ تغير لوني بشكل شحوب لدى كلى طيور المجموعتين الثالثة والرابعة في اليوم الخامس من إعطاء البروديفاكوم، ازدادت شــدة هذه التغيرات بزيادة كل من الجرعة ومرور الزمن.

تعزى هذه التغيرات العيانية في الكلية إلى السمية الكلوية التي يسببها البروديفاكوم وتأثيره على النبيبات الكلوية أثناء إطراحه وهذا ما أكده الباحث (Yan et al., 2016)، ويمكن أن يكون هذا التأثير ناتجاً عن نقص تروية الكلية لاسيما بعد النزف الحاصيل أو إلى التنكس والنخر الكلوي كما يظهر في العينات النسيجية.

تبين لدى دراسة التغيرات النسيجية المجهرية الكلوية إحداث البروديفاكوم للعديد من التغيرات التشريحية المرضية، مثل التنكس المائي والنخر في ظهارة النبيبات والكبيبات الكلوية وبعض القنوات الجامعة، كما لوحظ رد فعل التهابي حاد تمثل بزيادة المستغيرات وبعض اللمفاويات. ازدادت شدةً هذه التغيرات بازدياد كل من الجرعة ومرور الوقت مما ينعكس على التغيرات العيانية للأحشاء الداخلية.

يحدث التنكس والنخر النبيبي على نحو رئيس بسبب السموم الخارجية التي تتداخل مع الوظيفة الطبيعية للكلى وحوالي 20-25% من إجمالي كمية السموم المنتشرة تصل إلى الكبب الكلوية، لذا تعد من الأعضاء المهمة المُتأثرة بالمواد السامة أيضاً (Zager, 1997; Rattner et al., 2020).

أكد الباحث (Ware et al., 2015) تأثر الكلية بسمية البروديفاكوم وإن ارتباط مثل هذه المواد ذات السمية الكيميائية الموجودة في البروديفاكوم يقلل من القدرة الإطراحية للكلى ثم يؤدي إلى عدم توازن الكهارل في الجسم كما يؤدي استمرار التنكس الحاد في النبيبات في النهاية إلى الفشل الكلوي والنفوق.

أن التأثيرات الكلوية لمضادات التخثر قد تكون ناتجة عن الاجهاد التأكسدي إذ تزيد مضادات تخثر الدم ولا المعالجة الكلى محدثة التلف الخلوي وهذا ما أكده الباحث (Ware et al., 2013) من أكسدة الدهون في أنسجة الكلى محدثة التلف الخلوي وهذا ما أكده الباحث (الاجهاد التأكسدي غير معروفة حتى في دراسته لكلى الفئران المعالجة بمضادات التخثر. إن مصادر الاجهاد التأكسدي غير معروفة حتى الآن، وأحد الاحتمالات انها تتم بوساطة ذرة البروم الموجودة في الوارفارين، لذا إن جزيء برومو البنزين في البروديفاكوم قد يحدث تأثيرات مشابهة ومن المعروف أن برومو البنزين مثبط قوي للمتقدرات في البروديفاكوم قد يحدث تأثيرات مشابهة ومن المعروف أن برومو البنزين مثبط قوي للمتقدرات (Schnellmann et al., 1987; Maellaro et al., 1990) التأكسدي كما فسرناه سلفاً في التغيرات الخلوبة في نسيج الكبد.

أظهرت نتائج الفحوص المجهرية في دراستنا تغيرات وعائية ظهرت على شكل احتقان الشعيرات الدموية بين النبيبات لدى المجموعة الثانية بعد 24 ساعة من الإعطاء وازداد الاحتقان والنزف بين النبيبات وضمن لمعتها ولمعة القنوات الجامعة في اليومين الخامس والتاسع لدى المجموعات الثلاث؛ قد يعود هذا النزف إلى النخر الحاصل في جدار النبيبات الكلوية واحتقان الشعيرات الدموية المحيطة بها مما يؤدي لزبادة نفاذية جدرانها ووصول خلايا الدم الحمر إلى داخل اللمعة.

وُجِدَت نتائج مُشابهة لدى الباحث (Ware et al., 2015) في دراسته لتأثير البروديفاكوم في كلى الجرذان بالنسبة لتنكس ونخر ظهارة النبيبات الكلوية الدانية وارتشاح خلايا الدم الحمر إلى داخل لمعة النبيبات.

5-3- التغيرات الدموية:

أظهرت نتائج الدراســـة الحالية تغيرات معنوية (P≤0.05) في معدل المعايير الدموية تمثلت بانخفاض معنوي (P≤0.05) في تعداد خلايا الدم الحمر TRBCs؛ يعود سبب هذا الانخفاض إلى السمية الكبدية للبروديفاكوم وتأثيره على عمليـة تخليق فيتامين K في الكبـد ممـا ينعكس على تخليق عوامل التخثر (Oldenburg et al., 2006; Weitz, 2011) ، مؤدياً إلى بطء عملية تخثر الدم محدثاً النزوف المعممة بالجســـم، و فقدان كبير لخلايا الدم الحمر ومع اســـتمرار عدم القدرة على تخثير الدم واســتمرار النزف، يؤدي هذا إلى إنقاص كمّية الحديد في الجســم إذ لا يعود نقي العظم قادراً على زيادة إنتاج كريًات دم حمر جديدة للتعويض عن تلك المفقودة (Lichtman et al., 2011). كذلك قد يعود سبب هذا الانخفاض إلى أن خلايا الدم الحمر شديدة الحساسية للإصابة بالأكسدة باعتبار البروديفاكوم مادة مؤكســدة، وذلك لارتفاع محتوياتها من الأكســجين، لذلك تعد الخلايا الحمر الرئيســة التي تتأثر

بالإجهاد التأكسدي مما يؤدي لأكسدة الهيموغلوبين وحدوث تغيرات خلوية فيها ونقص واضح في مرونة غشائها مما يؤدي لانحلالها (Bryszewska et al., 1995). كذلك التلف الحاصل في نسيج الكلى نتيجة الإجهاد التأكسدي يمنع إنتاج الإرثروبيوتين "EPO" مما يسبب في انخفاض تعداد خلايا الدم الحمر (Bouaziz et al., 2007).

كما أظهرت نتائج الدراسة ارتفاعاً معنوياً (P≤0.05) في العدد الكلي لخلايا الدم البيض TWBCs ، يعد هذا الارتفاع مؤشراً على حدوث استجابة مناعية، باعتبار الكريات البيض تمثل خط الدفاع الأول في جسم الكائن الحي (Kohtrula et al., 1989)،إضافة لذلك أظهرت نتائج العد التقريقي للكريات البيض ارتفاعاً معنوياً (P≤0.05) واضحاً في متوسط تعداد كل من المستغيرات واللمفاويات لدى المجموعات التي أعطيت البروديفاكوم بعد 24 ساعة من الإعطاء وفي اليومين الخامس والتاسع وكان أعلى متوسط لدى طيور المجموعة الرابعة التي تناولت أعلى جرعة من البروديفاكوم، تشير الدراسات إلى الدور الذي تلعبه الكريات البيض في عملية الإرقاء أثناء تفاعلها مع الصفيحات الدموية وبطانة الأوعية الدموية وعوامل التخثر (McEver, 2001)، إذ تُطلق كريات الدم البيض المنشطة لاسيما المستغيرات العديد من الوسائط مثل Cathepsin G والتي يمكن أن تنشط شاكريات البيض دوراً مهماً في محاولة الجسم لتشيط شاكل التخثر لإيقاف النزف الناتج عن التسمم بالبروديفاكوم.

أما بالنسبة لارتفاع اللمفاويات، قد يكون ناتج عن نقص المناعة Immunodeficiency الذي يؤدي بدوره إلى نوع من العدوى، قد يحدث نقص المناعة نتيجة لفقر الدم ونقص الأكسجة، وكذلك إصابة الكبد، وذلك تحت تأثير البروديفاكوم وهذا ما أكده أيضاً الباحث وذلك تحت تأثير البروديفاكوم وهذا ما أكده أيضاً الباحث (Radi & Thompson, 2004)،

في حين لم يُحدث البروديفاكوم تغيراً واضحاً في متوسط تعداد كل من الحمضات والأسسات والوحيدات، ولوحظ ارتفاع بسيط في بعض المجموعات بغض النظر عن الجرعة والزمن، قد يكون ذلك نتيجة إضعاف المناعة والإصابة بعدوى انتهازية وذلك ما فسره (Serieys et al., 2018)، إذ أظهرت نتائج دراسته لدى حيوان الوشق الأحمر (Bobcats) أدلة على الاستجابة الالتهابية وضعف المناعة المرتبط بالتعرض لسم الفئران المضادة للتخثر والتي من الممكن أن تؤثر على القابلية للإصابة بالعدوى الانتهازية عند الحيوانات.

إضافة لذلك أظهرت نتائجنا انخفاضاً معنوياً (P≤0.05) في عدد الصفيحات الدموية الدموية أو التعرض لمثل هذه المواد الكيميائية السامة يؤدي إلى إبطاء أو نقص إنتاج الصفيحات الدموية أو تسببه في تدميرها بمعدل أكبر من انتاجها (Grindem, 2011)، وهذا ما يحدثه البروديفاكوم نتيجة النزف الحاد مؤدياً إلى فقدان الصفيحات الدموية على نحو أسرع من معدل انتاجها في نقي العظم، ثم إن من وظائف الصفيحات الدموية أنها تتكسر لتفرز الثرومبوكيناز في موقع النزف بهدف المساعدة في عملية إيقاف النزف ثم فقدانها (Kerr, 2008).

كذلك أظهرت نتائجنا انخفاضاً معنوياً (PCV 0.05) في قيم مكداس الدم PCV والذي يعد مؤشراً مهماً على عدم سلامة الإرقاء الدموي في الطائر، هذه القيم المنخفضة تشير إلى فقر الدم وترتبط بفقدان الدم الحاد من الأوعية الدموية، وهذا يتوافق مع ما شاهدناه عيانياً، و يعكس نقص خلايا الدم الحمر فعندما يُفقّد الدم نتيجة النزف الغزير، يقوم الجسمُ بسحب الماء من النَّشج بسرعة نحو تيار الدَّم في محاولةٍ منه للمحافظة على امتلاء الأوعية الدموية مما يؤدّي إلى تخفيف أو تميه الدم محدثاً انخفاضاً في مكداس الدم، وهو (النسبة المئويَّة لحجم خلايا الدَّم الحمر في كامل حجم الدم) (Lichtman et al., 2011). لم نلحظ فرق معنوي بين المجموعة الثانية التي تناولت أقل جرعة والشاهد بعد 24 ساعة، بالمقابل أدت الجرعات الأعلى لانخفاض واضـــح في قيم مكداس الدم حتى بعد 5 ايام لكنها عادت للارتفاع في اليوم التاسع؛ قد يُشير هذا إلى إمكانية الشفاء تحت الإكلينيكي إذ يتطلب نقي العظم في الطيور 3−5 أيام كحد أدنى لبدء انتاج أعداد متزايدة من خلايا الدم الحمر الجديدة (Crindem, 2011). وجد الباحث ملغ /كغ من العقار، نتائج مشابهة بالنسبة لقيم مكداس الدم، إذ انخفضت قيمه على نحو كبير خلال ملغ /كغ من العقار، نتائج مشابهة بالنسبة لقيم مكداس الدم، إذ انخفضت قيمه على نحو كبير خلال ملغ /كغ من العقار، نتائج مشابهة بالنسبة لقيم مكداس الدم، إذ انخفضت قيمه على نحو كبير خلال ملغ /كغ من العقار، نتائج مشابهة بالنسبة لقيم مكداس الدم، إذ انخفضت قيمه على نحو كبير خلال ملحق ساعة.

أظهرت نتائج الدراســة الحالية زيادة معنوية (P≤0.05) في زمن تخثر الدم P2؛ باعتبار أن المســار الداخلي للتخثر يتطلب عوامل تخثر معتمدة على فيتامين K لذا فإن التعرض للبروديفاكوم يطيل زمن التخثر بسـبب تأثيره على تخليق فيتامين K في الكبد، إضــافة لما يسـببه من نزف مسـتمر (King &). وتوافق ذلك مع نتائج (Bailey et al., 2005) في دراســته عند الدجاج بعد إعطاء 3 (Ratther et al., ملغ/كغ من البروديفاكوم 2000% عن طريق الحقن، كذلك بينت دراســـة الباحث .(Ratther et al., ملغ/كغ من البروديفاكوم 2000% عن طريق الحقن، كذلك بينت دراســـة الباحث .(الدم.

أظهرت العديد من الدراسات وتقارير التسمم بالبروديفاكوم لدى الحيوانات الثدية نتائج تشابهت مع نتائجنا الدموية لدى الدجاج، إذ تشابهت من ناحية انخفاض تعداد الكريات الحمر، وارتفاع تعداد الكريات البيض، والعدلات، واطالة زمن التخثر مع نتائج الفحوص الدموية للباحث (Binev et al., 2005) لدى تشخيص حالة تسمم تلقائي لكلب بعد تعرضه لأحد مبيدات القوارض المضادة للتخثر من الجيل الثاني (Lanirat 0.005) وكذلك نتائج (Park et al., 2011; Bagardi et al., 2022) لتعداد الدم الكامل CBC لحالات التسمم في الكلاب، إذ أظهرت انخفاضاً في تعداد كريات الدم الحمر وارتفاعاً في تعداد الكريات البيض والعدلات وكثرة اللمفاويات والأسسات الخفيف مع قلة الصفيحات، وجد الباحث الكريات البيض (Gendy et al., 1996) في دراستة لتأثير البروديفاكوم والديفيناكوم على نمط الدم في الجرذان البيض انخفاضاً كبيراً في تعداد خلايا الدم الحمر وقيم مكداس الدم وزيادة في العدد الكلي لكريات الدم البيض، وأفي حين اختلفت مع نتائج (1991, 1991) في دراسته لدى الخيول المتعرضة للبروديفاكوم، إذ لم يلاحظ تأثير معنوي في الأيام الأولى في تعداد كريات لدم الحمر، والبيض، والصفيحات الدموية، ومكداس الدم وبدأت القيم بالانخفاض اعتباراً من اليوم السادس والثامن. أما في نتائجنا بدت تغيرات المعايير الدموية واضحة بعد 24 ساعة واستمرت حتى نهاية التجربة وازدادت بازدياد الجرعة، قد تعود هذه الدموية واضحة بعد 24 ساعة واستمرت حتى نهاية التجربة وازدادت بازدياد الجرعة، قد تعود هذه الاختلافات في النتائج إلى حساسية كل نوع حيواني تجاه البروديفاكوم وحجم الجرعة المتناولة وطريقة المتعرض وشدة ومكان النزف.

الفَصْل السّادس الاستنتاجات Conclusions:

6- الاستنتاجات Conclusions:

- 1. إن تعرض دجاج اللحم بعمر أسبوعين للبروديفاكوم يترافق بظهور أعراض مرضية على شكل اضطرابات عصبية، ونزف في العينين والأُذنين ونزوفات تحت الجلد ولاسيما في منطقة الرقبة والصيدر وتحت جلد الجناح، كما يمكن أن يؤدي البروديفاكوم الى النفوق بسبب الألم الناتج عن الصدمة العصبية، أو الصدمة الدموية الناتجة عن انخفاض حجم الدم في الجسم، إضافة للفشل الكبدي والكلوي الناتج عن تخرب أنسجة الكبد والكلى.
- 2. تظهر نتائج الدراسـة الحالية بأن للبروديفاكوم تأثيرات سـمية كبدية تتمثل بتغيرات لونية على شـكل مناطق احتقان وشحوب واصفرار ونزف تحت المحفظة إضافة لتضخم الكبد، وتأثيراً نسيجياً تمثل باحتقان في الجيبانات الدموية والأوردة المركزية إضافة للتنكس المائي والدهني والنخر.
- 3. إن للبروديفاكوم تأثيرات سمية كلوية حادة تتجلى على شكل تضخم في فصوص الكلى ولاسيما الأمامية إضافة لمناطق محتقنة ونازفة وأخرى شاحبة، وتأثيراً نسيجياً تمثل بتنكس مائي ونخر في الخلايا الظهارية المبطنة للنبيبات الكلوية وبعض الكبيبات، واحتقان الأوعية الدموية ونزف ضمن لمعة بعض النبيبات الكلوبة والقنوات الجامعة.
- 4. يُحدث البروديفاكوم في أنســجة الكبد والكلى ردود فعل التهابية تبدو بزيادة المسـتغيرات واللمفاويات والبلاعم مترافقة بعملية التنكس والنخر.
- 5. إن للبروديفاكوم تأثيراً واضحاً في المعايير الدموية، ظهر على شكل انخفاض معنوي في كل من العدد الكلي لخلايا الدم الحمر والصفيحات الدموية ومكداس الدم. بينما أحدث إطالة في زمن تخثر الدم، وارتفاعاً معنوباً في العدد الكلي لكربات الدم البيض ولإسيما المستغيرات واللمفاويات.
- 6. إن الأعراض المرضية والتغيرات التشريحية العيانية والمجهرية والتغيرات في قيم المعاير الدموية المدروسة تُشاهد لدى جميع طيور التجربة بغض النظر عن كمية الجرعة؛ لكن شدتها تزداد بازدياد الجرعة وبمرور الوقت، إذ بلغت ذروتها لدى طيور المجموعة الرابعة التي تناولت أعلى جرعة من البروديفاكوم (9) ملغ/كغ.

الفَصْل السّابع التوصيات والمقترحات Recommendations and Suggestions:

7- التوصيات والمقترحات Recommendations and Suggestions:

- 1. نوصى بأخذ الحيطة والحذر عند استخدام مضادات التخثر لمكافحة القوارض في المزارع والحظائر.
- 2. نوصى بالمزيد من الدراسات التجريبية النسيجية لتغطية وفهم السمية المزمنة والسمية العصبية للبروديفاكوم.
- 3. نقترح تحليل ثمالات البروديفاكوم باستخدام التقنيات الحديثة مثل (الكروماتوغرافيا السائلة HPLC، ومقياس الطيف الكتلي MS/MS) في لحوم واحشاء الدجاج لمعرفة تأثيرها على الاستهلاك البشري.

الفَصْل الثَّامِن المراجع References

8- المراجع References:

- 1. Abdul-Aziz, T., Fletcher, O. J., Barnes, H. J., Shivaprasad, H. L., Swayne, D. E., & Riddell, C. (2016). Avian histopathology. American association of avian pathologists.
- 2. Afshar–Kharghan, V., & Thiagarajan, P. (2006). Leukocyte adhesion and thrombosis. Current opinion in hematology, 13(1), 34–39.
- 3. Anthony, L. M. (2010). JUNQUEIRA Basic Histology. the Mecrawa-Hill Companies, Inc ,(12).270 -280.
- 4. Bacha Jr, W. J., & Bacha, L. M. (2012). Color atlas of veterinary histology. John Wiley & Sons.
- 5. Bachmann, K. A., & Sullivan, T. J. (1983). Dispositional and pharmacodynamic characteristics of brodifacoum in warfarin-sensitive rats. *Pharmacology*, *27*(5), 281–288.
- 6. Bagardi, M., Drago, G., Ferrari, P. L., Riva, J., & Moioli, M. (2022). Acute severe pericarditis secondary to rodenticide intoxication in a dog. *Open Veterinary Journal*, 12(5), 728–728.
- 7. Bailey, C. I.; Fisher, P. & Eason, C. T. (2005). Assessing anticoagulant resistance in rats and coagulation effects in birds using small-volume blood samples. Department of Conservation.
- 8. Bellah, J. R. & Weigel, J. P. (1983). Hemarthrosis secondary to suspected warfarin toxicosis in a dog. *Journal of the American Veterinary Medical Association*, 182(10), 1126–1127.
- 9. Benjamin, M. M. (1978). Outline of veterinary clinical pathology (No. 3rd edition). *Iowa State University Press*. 51–53.

- 10. Berny, P. J., Buronfosse, T. & Lorgue, G. (1995). Anticoagulant poisoning in animals: a simple new high-performance thin-layer chromatographic (HPTLC) method for the simultaneous determination of eight anticoagulant rodenticides in liver samples. *Journal of analytical toxicology*, 19(7), 576–580.
- 11. Berny, P. (2007). Pesticides and the intoxication of wild animals. *Journal* of veterinary pharmacology and therapeutics, 30(2), 93–100.
- 12. Beulens, J. W., Booth, S. L., van den Heuvel, E. G., Stoecklin, E., Baka, A., & Vermeer, C. (2013). The role of menaquinones (vitamin K2) in human health. *British Journal of Nutrition*, 110(8), 1357–1368.
- 13. Binev, R., Petkov, P., & Rusenov, A. (2005). Intoxication with anticoagulant rodenticide bromadiolone in a dog. *Veterinarski arhiv*, *75*(3), 273–282.
- 14. Blocker, T. L., & Roberts, B. K. (1999). Acute tracheal obstruction associated with anticoagulant rodenticide intoxication in a dog. *Journal of small animal practice*, 40(12), 577–580.
- 15. Boermans, H. J., Johnstone, I., Black, W. D., & Murphy, M. (1991). Clinical signs, laboratory changes and toxicokinetic of brodifacoum in the horse. Canadian a. journal of veterinary research, 55(1), 21.
- 16. Bouaziz, H., Croute, F., Boudawara, T., Soleilhavoup, J. P., & Zeghal, N. (2007). Oxidative stress induced by fluoride in adult mice and their suckling pups. *Experimental and Toxicologic Pathology*, *58*(5), 339–349.
- 17. Brakes, C. R., & Smith, R. H. (2005). Exposure of non-target small mammals to rodenticides: short-term effects, recovery and implications for secondary poisoning. *Journal of Applied Ecology, 42*(1), 118–128.

- 18. Brooks, R. L., Bounous, D. I., & Andreasen, C. B. (1996). Functional comparison of avian heterophils with human and canine neutrophils. *Comparative Haematology International, 6*, 153–159.
- Bryszewska, M., Zavodnik, I. B., Niekurzak, A., & Szosland, K. (1995).
 Oxidative processes in red blood cells from normal and diabetic individuals. *Biochemistry and molecular biology international*, 37(2), 345–354.
- 20. Buckle, A. P., & Smith, R. H. (2015). Rodent Control: Back to the Future (the Sequel). *In Rodent Pests and Their control* (pp. 397–402). Wallingford UK: CABI.
- 21. Buckle, A., & Prescott, C. (2018). Anticoagulants and risk mitigation.

 Anticoagulant rodenticides and wildlife, 319–355.
- 22. Campbell, A., & Chapman, M. (2000). Appendix 3: Normal values for cats and dogs. *In Handbook of poisoning in dogs and cats* (pp. 267–268). Hoboken.
- 23. Chinnaraj, M., Planer, W., & Pozzi, N. (2018). Structure of coagulation factor II: molecular mechanism of thrombin generation and development of next–generation anticoagulants. *Frontiers in Medicine*, 281.
- 24. Chua, J. D., & Friedenberg, W. R. (1998). Superwarfarin poisoning.

 *Archives of internal medicine, 158(17), 1929–1932
- 25. Coles, E.H. (1986). Veterinary clinical pathology. 4th.W.B. Saundars. Co. Philadeliphia, London., 4:110–111.
- 26. DeClementi, C., & Sobczak, B. R. (2012). Common rodenticide toxicoses in small animals. *Veterinary Clinics: Small Animal Practice, 42*(2), 349–360.

- 27. Đpakauskas, V., Klimienë, I., Ruþauskas, M., & Bandzaitë, V. (2005). Toxicity and effectiveness of indirect anticoagulants bramodiolone and brodifacoum. *Biologija*, (4), 77–81.
- 28. Dyce, K.; Sack, W. O. and Wensing, G. J. G. (2010). Text book of veterinary anatomy. W. B. Sounders Co. 94 USA: 806-811.
- 29. Eason, C. T., Murphy, E. C., Wright, G. R., & Spurr, E. B. (2002). Assessment of risks of brodifacoum to non-target birds and mammals in New Zealand. *Ecotoxicology*, 11(1), 35–48.
- 30. Eckhardt, M. (2008). The role and metabolism of sulfatide in the nervous system. *Molecular neurobiology*, *37*(2), 93–103
- 31. El Gendy, K.S., El Sebae, A. A., El Khear, R. A. (1996). Anticoagulant poisoning and vitamin K antagonism in albino rats. *Alexandria Journal of Pharmaceutical Sciences*, 10 (1): 29–33.
- 32. El-Bahrawy, A. F., & Morsy, T. A. (1990). The effect of some anticoagulants against three commensal rodents under laboratory conditions. *Journal of the Egyptian Society of Parasitology, 20*(1), 289–295.
- 33. El-Banhawy, M.A., S.M. Sanad, S.A. Sakr, I.A., El-Elaimy & H.A. Mahran, (1993). Histopathological studies on the effect of the anticoagulant rodenticide "Brodifacoum" on the liver of rat. *J Egypt Ger Soc Zool.*, 12 (C): 185–227.
- 34. Elliott, J. E., Rattner, B. A., Shore, R. F., & Van Den Brink, N. W. (2016). Paying the pipers: mitigating the impact of anticoagulant rodenticides on predators and scavengers. *Bioscience*, *66*(5), 401–407.
- 35. El–Zoghby, I. M. A. (2005). Pre and post hatching developmental studies of the quail's liver. Zag. *Vet. J., 33*(1): 185–193.

- 36. Erickson, W. A., & Urban, D. J. (2004). Potential risks of nine rodenticides to birds and nontarget mammals: a comparative approach (p. 225). Washington, DC: US Environmental Protection Agency, Office of Prevention, Pesticides and Toxic Substances
- 37. Evans, E. W., Beach, F. G., Moore, K. M., Jackwood, M. W., Glisson, J. R., & Harmon, B. G. (1995). Antimicrobial activity of chicken and turkey heterophil peptides CHP1, CHP2, THP1, and THP3. *Veterinary Microbiology*, *47*(3–4), 295–303.
- 38. Ezihe-Ejiofor, J. A., & Hutchinson, N. (2013). Anticlotting mechanisms 1: physiology and pathology. *Continuing Education in Anaesthesia, Critical Care & Pain, 13*(3), 87–92.
- 39. Farquhar, M.G., Wissig, S.L., & palade, G. E. (1999). Glomerular permeability I. ferritin transfer across the normal glomerular capillary wall. 1961. *Journal of the American Society of Nephrology: JASN, 10*(12), 2645–2662.
- 40. Ferland, G. (2012). Vitamin K, an emerging nutrient in brain function. *Biofactors*, *38*(2), 151–157.
- 41. Fisher, P. M. (2009). Residual concentrations and persistence of the anticoagulant rodenticides brodifacoum and diphacinone in fauna (Doctoral dissertation, Lincoln University).
- 42. Garcia, A. A., & Reitsma, P. H. (2008). VKORC1 and the vitamin K cycle. *Vitamins & Hormones, 78*, 23–33.
- 43. Gebauer, M. (2007). Synthesis and structure–activity relationships of novel warfarin derivatives. *Bioorganic & medicinal chemistry*, 15(6), 2414–2420

- 44. Gill, J. E. (1992). Laboratory evaluation of the toxicity of flocoumafen as a single-feed rodenticide to seven rodent species. *International biodeterioration & biodegradation*, 30(1), 65-76.
- 45. Godfrey, M. E. R., Laas, F. J., & Rammell, C. G. (1985). Acute toxicity of brodifacoum to sheep. *New Zealand journal of experimental agriculture,* 13(1), 23–25.
- 46. Godfrey, M. E. R., Reid, T. C., & McAllum, H. J. F. (1981). The oral toxicity of brodifacoum to rabbits. *New Zealand journal of experimental agriculture*, *9*(1), 23–25.
- 47. Goldny, B., Unterholzner, V., Taferner, B., Hofmann, K. J., Rehder, P., Strasak, A., & Petersen, J. (2009). Normal kidney size and its influencing factors—a 64–slice MDCT study of 1.040 asymptomatic patients. *BMC urology*, 9, 1–13.
- 48. Gómez-Canela, C., Vázquez-Chica, A., & Lacorte, S. (2014). Comprehensive characterization of rodenticides in wastewater by liquid chromatography-tandem mass spectrometry. *Analytical and bioanalytical chemistry*, 406(1), 345-358.
- 49. Grindem, C. B. (2011). Schalm's Veterinary Hematology, Editors: Douglas J. Weiss, K. Jane Wardrop. *Veterinary Clinical Pathology*, *2*(40), 270–270.
- 50. Gül, N., Yiğit, N., Saygılı, F., Demirel, E., & Geniş, C. (2016). Comparison of the effects of difenacoum and brodifacoum on the ultrastructure of rat liver cells. *Archives of Industrial Hygiene and Toxicology, 67*(3), 204–209.
- 51. Hadler, M. R.; Shadbolt, R. S. (1975): Novel 4-hydroxycoumarin anticoagulants active against resistant rats. *Nature 253*: 277-282.

- 52. Haines, B. (2008). Anticoagulant rodenticide ingestion and toxicity: a retrospective study of 252 canine cases. *Australian Veterinary Practitioner*, 38(2), 38-+.
- 53. Hansen, N., & Beck, C. (2003). Bilateral hydronephrosis secondary to anticoagulant rodenticide intoxication in a dog. *Journal of Veterinary Emergency and Critical Care, 13*(2), 103–107.
- 54. Hauck, Z. Z. (2017). *Tissue distribution, pharmacokinetics and metabolism of brodifacoum: a superwarfarin* (Doctoral dissertation, University of Illinois at Chicago).
- 55. Hristov, H., Viadova, D., Kostov, D., (2017). Gross Anatomy Of Some Digestive Organs Of The Domestic Bolitry . *Trakia J.Sci.15*(2).
- 56. Huckle, K. R., Hutson, D. H., & Warburton, P. A. (1988). Elimination and accumulation of the rodenticide flocoumafen in rats following repeated oral administration. *Xenobiotica*, 18(12), 1465–1479.
- 57. Ibrahim, R. Sh.; Hussein, A. A. and Al-Kelaby, W. J. A. (2016). Histomorphological study of the liver in Local Morrhen birds (Gallinula chloropus). *Kufa Journal for Veterinary Medical Sciences,* 7(2): 187–192.
- 58. Jacob, J., & Buckle, A. (2018). Use of anticoagulant rodenticides in different applications around the world. *In Anticoagulant rodenticides and wildlife* (pp. 11–43). Springer, Cham.
- 59. Jain, N. C. (1986). Schalms Veterinary Hematology Lea & Febiger, U.S.A., 267–282.
- 60. Jain, N.C. (1993). Essentials of veterinary hematology. Lea & Febiger, Philadelphia. 417.

- 61. James, S.B., Raphael, B.L. and Cook, R.A. 1998. Brodifacoum toxicity and treatment in a white-winged wood duck (Cairina scutulata). *J. Zoo. Wildl. Med. 29*, 324–327.
- 62. Jin, N. Z., & Gopinath, S. C. (2016). Potential blood clotting factors and anticoagulants. *Biomedicine & Pharmacotherapy*, 84, 356–365.
- 63. Johar, D., Roth, J. C., Bay, G. H., Walker, J. N., Kroczak, T. J., & Los, M. (2004). Inflammatory response, reactive oxygen species, programmed (necrotic-like and apoptotic) cell death and cancer. *Roczniki Akademii Medycznej w Bialymstoku, 49*, 31–39.
- 64. Kalinin, S., Marangoni, N., Kowal, K., Dey, A., Lis, K., Brodsky, S., ... & Feinstein, D. L. (2017). The long-lasting rodenticide brodifacoum induces neuropathology in adult male rats. *Toxicological Sciences, 159*(1), 224–237.
- 65. Kammerer, M., Pouliquen, H., Pinault, L., & Loyau, M. (1998). Residues depletion in egg after warfarin ingestion by laying hens. *Veterinary and human toxicology*, 40(5), 273–275.
- 66. Kataranovski, M., Vlaški, M., Kataranovski, D., Tošić, N., Mandić–Radić, S., & Todorović, V. (2003). Immunotoxicity of epicutaneously applied anticoagulant rodenticide warfarin: evaluation by contact hypersensitivity to DNCB in rats. *Toxicology*, *188*(1), 83–100
- 67. Katiyar, A. K., Vegad, J. L., & Awadhiya, R. P. (1992). Increased vascular permeability and leucocyte emigration in Escherichia coli endotoxin injury in the chicken skin. *Research in veterinary science*, *52*(2), 154–161.

- 68. Kaukeinen, D. E., & Rampaud, M. (1986). A review of brodifacoum efficacy in the US and worldwide. *In Proceedings of the Vertebrate Pest Conference* (Vol. 12, No. 12).
- 69. Kerr, M. G. (2008). Veterinary laboratory medicine: *Clinical biochemistry* and haematology. John Wiley & Sons.
- 70. Key, N. S., Makris, M., & Lillicrap, D. (Eds.). (2017). *Practical hemostasis and thrombosis*. John Wiley & Sons.
- 71. King, N., & Tran, M. H. (2015). Long-acting anticoagulant rodenticide (superwarfarin) poisoning: a review of its historical development, epidemiology, and clinical management. *Transfusion medicine reviews,* 29(4), 250–258.
- 72. Kogut, M. H., Lowry, V. K., Moyes, R. B., Bowden, L. L., Bowden, R., Genovese, K. E. N. N. E. T. H., & Deloach, J. R. (1998). Lymphokine–augmented activation of avian heterophils. *Poultry science*, *77*(7), 964–971.
- 73. Kohn, B., Weingart, C. and Giger, U. (2003). Haemorrhage in seven cats with suspected anticoagulant rodenticide intoxication. *J. Feline. Med. Surg. 5*, 295–304.
- 74. Kohtrula, H., G. Nakamura and M.A. Zumiyama. (1989). Biochemical basis of carbon tetrachloride induced toxicity. *J. Lab. Toxicol.*, 13, 35–45
- 75. Kruse, J. A., & Carlson, R. W. (1992). Fatal rodenticide poisoning with brodifacoum. *Annals of emergency medicine*, *21*(3), 331–336.
- 76. Kuhn, S. E., & Hendrix, D. V. (2013). Unilateral subconjunctival and retrobulbar hemorrhage secondary to brodifacoum toxicity in a dog. *Case Reports in Veterinary Medicine*, 2013.

- 77. Laas, F. J., Forss, D. A., & Godfreyi, M. E. R. (1985). Retention of brodifacoum in sheep tissues and excretion in faeces. *New Zealand journal of agricultural research*, *28*(3), 357–359.
- 78. Lambert, O., Pouliquen, H., Larhantec, M., Thorin, C., & L'Hostis, M. (2007). Exposure of raptors and waterbirds to anticoagulant rodenticides (difenacoum, bromadiolone, coumatetralyl, coumafen, brodifacoum): epidemiological survey in Loire Atlantique (France). *Bulletin of Environmental Contamination and Toxicology, 79*(1), 91–94.
- 79. Laszkowska-Lewko, M., Rybka, J., Zawadzki, M., Jurek, T., & Wróbel, T. (2017). Coagulation disorders caused by chronic poisoning with anticoagulant rodenticides—case report and review of literature.

 Hematology in Clinical Practice, 8(4), 289-292
- Lee, H. J., You, M. R., Moon, W. R., Sul, H., Chung, C. H., Park, C. Y.,
 & Park, S. G. (2014). Evaluation of risk factors in patients with vitamin
 K-dependent coagulopathy presumed to be caused by exposure to brodifacoum. *The Korean journal of internal medicine*, 29(4), 498.
- 81. Lefebvre, S., Fourel, I., Queffélec, S., Vodovar, D., Megarbane, B., Benoit, E., & Lattard, V. (2017). Poisoning by anticoagulant rodenticides in humans and animals: causes and consequences. *Poisoning—From Specifi c Toxic Agents to Novel Rapid and Simplifi ed Techniques for Analysis. IntechOpen*, 11–32.
- 82. Lichtman, M. A., Kaushansky, K., Kipps, T. J., Prchal, J. T., & Levi, M. M. (2011). *Williams Manual of Hematology*. McGraw-Hill.
- 83. Limón-Pacheco, J., & Gonsebatt, M. E. (2009). The role of antioxidants and antioxidant-related enzymes in protective responses to

- environmentally induced oxidative stress. *Mutation Research/Genetic Toxicology and Environmental Mutagenesis*, *674*(1–2), 137–147.
- 84. Lo, V. M., Ching, C. K., Chan, A. Y., & Mak, T. W. (2008). Bromadiolone toxicokinetics: diagnosis and treatment implications. *Clinical toxicology*, 46(8), 703–710
- 85. Maellaro, E., Del Bello, B., Casini, A. F., Comporti, M., Ceccarelli, D., Muscatello, U., & Masini, A. (1990). Early mitochondrial disfunction in bromobenzene treated mice: a possible factor of liver injury. *Biochemical pharmacology*, 40(7), 1491–1497.
- Marangoni, M. N., Martynowycz, M. W., Kuzmenko, I., Braun, D., Polak,
 P. E., Weinberg, G., ... & Feinstein, D. L. (2016). Membrane cholesterol
 modulates superwarfarin toxicity. *Biophysical journal*, 110(8), 1777–1788.
- 87. Marks, S. L., Gieger, T. L., & Williams, J. (2001). Presumptive intramural gastric hemorrhage secondary to rodenticide intoxication in a dog. *Journal of Veterinary Emergency and Critical Care, 11*(1), 27–31.
- 88. Maxwell, M. H. (1984). Histochemical identification of tissue eosinophils in the inflammatory response of the fowl (Gallus domesticus). *Research in veterinary science*, *37*(1), 7–11.
- 89. McEver, R. P. (2001). Adhesive interactions of leukocytes, platelets, and the vessel wall during hemostasis and inflammation. *Thrombosis and haemostasis*, *86*(09), 746–756.
- 90. Mendenhall, V. M., & Pank, L. F. (1980). Secondary poisoning of owls by anticoagulant rodenticides. *Wildlife Society Bulletin*, 311–315.
- 91. Mondal, S. K. (2017). *Manual of histological techniques*. JP Medical Ltd.

- 92. Morgan, B. W., Tomaszewski, C., & Rotker, I. (1996). Spontaneous hemoperitoneum from brodifacoum overdose. *The American journal of emergency medicine*, *14*(7), 656–659.
- 93. Murphy, M. J., Ray, A. C., Woody, B., & Reagor, J. C. (1985). Serum brodifacoum concentrations and coagulopathic effects in anticoagulant poisoned dogs treated with Vitamin K1. *Toxicologist*, *5*, 88.
- 94. Natt, M. P. and C. A. Herrick (1952). Anew blood diluents for counting the erythrocytes of chicken. *Poult.Sci.31*:735–738.
- 95. Neyrinck, A. J. B. M. A. R. M. B. (2004). Modulation of Kupffer cell activity: physio-pathological consequences on hepatic metabolism. *Bull Mem Acad R Med Belg, 159*(5-6), 358-66.
- 96. Nicpoń, J., Zawadzki, M., Niedźwiedź, A., Kubiak, K., Jankowski, M., & Magdalan, J. (2007). Anticoagulant rodenticides poisoning in dogs. *Medycyna Weterynaryjna, 63*(12), 1604–1606.
- 97. Oldenburg, J., Bevans, C. G., Müller, C. R., & Watzka, M. (2006). Vitamin K epoxide reductase complex subunit 1 (VKORC1): the key protein of the vitamin K cycle. *Antioxidants & redox signaling, 8*(3-4), 347-353.
- 98. Olmos, V., & López, C. M. (2007). Brodifacoum poisoning with toxicokinetic data. *Clinical toxicology*, *45*(5), 487–489.
- 99. Owen, R. P., Gong, L., Sagreiya, H., Klein, T. E., & Altman, R. B. (2010). VKORC1 pharmacogenomics summary. *Pharmacogenetics and genomics*, *20*(10), 642.
- 100. Pallister, C. J., & Watson, M. S. (2010). Haematology. Bloxham. *UK: Scion Publishing*, 334–336.

- 101. Palmer, R. B., Alakija, P., Baca, J. C., & Nolte, K. B. (1999). Fatal brodifacoum rodenticide poisoning: autopsy and toxicologic findings. *Journal of Forensic Science*, *44*(4), 851–855.
- 102. Park, C., Lim, C. Y., Kim, J. H., Jang, J. I., & Park, H. M. (2011). Successful therapy of coumatetralyl rodenticide induced pericardial effusion with pericardiocentesis in a dog. *The Canadian Veterinary Journal*, *52*(2), 165.
- 103. Petrus, D. J., & Henik, R. A. (1999). Pericardial effusion and cardiac tamponade secondary to brodifacoum toxicosis in a dog. *Journal of the American Veterinary Medical Association*, *215*(5), 647–648.
- 104. Petterino, C., & Paolo, B. (2001). Toxicology of various anticoagulant rodenticides in animals. *Veterinary and human toxicology, 43*(6), 353–360.
- 105. Pirmohamed, M. (2006). Warfarin: almost 60 years old and still causing problems. *British journal of clinical pharmacology, 62*(5), 509.
- 106. Radi, Z. A., & Thompson, L. J. (2004). Renal subcapsular hematoma associated with brodifacoum toxicosis in a dog. *Veterinary and human toxicology*, 46(2), 83-84.
- 107. Ragab, S. M., Sayed, Z. H., Wilson, M. B., Sayed, A., & Sayed, H. E. D. M.(2019) . Effects of Brodifacoum, Acetylsalicylic Acid and its Combination on Hemostatic, Hematological and Hepatic Markers of Wild Rat Rattus Rattus. *Assiut Univ. J. of Zoology.* 48(2), pp.60-86.
- 108. Rattner, B. A., Volker, S. F., Lankton, J. S., Bean, T. G., Lazarus, R. S.,& Horak, K. E. (2020). Brodifacoum toxicity in American kestrels (Falco sparverius) with evidence of increased hazard on subsequent

- anticoagulant rodenticide exposure. *Environmental Toxicology and Chemistry*, *39*(2), 468–481.
- 109. Robben, J. H., Mout, H. C., & Kuijpers, E. A. (1997). Anticoagulant rodenticide poisoning in dogs in the Netherlands. *Tijdschrift voor diergeneeskunde*, 122(17), 466–471.
- 110. Robben, J.H., Kuijpers, E.A. and Mout, H.C. (1998). Plasma superwarfarin levels and vitamin K1 treatment in dogs with anticoagulant rodenticide poisoning. *Vet. Q. 20*, 24–27.
- 111. Robertson, H. A., Colbourne, R. M., & Nieuwland, F. (1993). Survival of little spotted kiwi and other forest birds exposed to brodifacoum rat poison on Red Mercury Island. *Notornis*, 40(4), 253–262.
- 112. Saran, D. (2017). Morphological studies on the digestive system of Guinea fowl (Numidameleagris) with special reference to histomorphology and histochemistry of its stomach (Doctoral disserlation, Rajasthan University of Vet. Anim. Sci. Bikaner).
- 113. Schmidt, R. E.; Reavill, D. R. and Phalen, D. N. (2003). Pathology of pet and aviary bird. 1st ed. Ablack well publishing company, USA: 234.
- 114. Schnellmann, R. G., Ewell, F. P., Sgambati, M., & Mandel, L. J. (1987). Mitochondrial toxicity of 2-bromohydroquinone in rabbit renal proximal tubules. *Toxicology and applied pharmacology*, *90*(3), 420-426.
- 115. Schulman, S., & Furie, B. (2015). How I treat poisoning with vitamin K antagonists. Blood, *The Journal of the American Society of Hematology,* 125(3), 438–442.
- 116. Serieys, L. E., Lea, A. J., Epeldegui, M., Armenta, T. C., Moriarty, J., VandeWoude, S., & Uittenbogaart, C. H. (2018). Urbanization and anticoagulant poisons promote immune dysfunction in bobcats.

- Proceedings of the Royal Society B: Biological Sciences, 285(1871), 20172533.
- 117. Sheen, S. R., Spiller, H. A., & Grossman, D. (1994). Symptomatic brodifacoum ingestion requiring high-dose phytonadione therapy. *Veterinary and human toxicology, 36*(3), 216–217.
- 118. Sturkie, P. D., & Griminger, P. (1986). Body fluids: blood. *Avian physiology*, 102–129.
- 119. Sung, Y. J., Hotchkiss, J. H., Austic, R. E., & Dietert, R. R. (1991). L-arginine–dependent production of a reactive nitrogen intermediate by macrophages of a uricotelic species. *Journal of Leukocyte Biology, 50*(1), 49–56.
- Swieringa, F., Spronk, H. M., Heemskerk, J. W., & van der Meijden, P.
 E. (2018). Integrating platelet and coagulation activation in fibrin clot formation. *Research and practice in thrombosis and haemostasis*, 2(3), 450–460.
- 121. Talcott, P. A., & Peterson, M. E. (2012). Small animal toxicology. *Elsevier Health Sciences*.
- 122. Talebi, A., Asri-Rezaei, S., Rozeh-Chai, R., & Sahraei, R. (2005). Comparative studies on haematological values of broiler strains (Ross, Cobb, Arbor-acres and Arian). *International journal of poultry science,* 4(8), 573-579.
- 123. Thomas, P. J., Mineau, P., Shore, R. F., Champoux, L., Martin, P. A., Wilson, L. K., ... & Elliott, J. E. (2011). Second generation anticoagulant rodenticides in predatory birds: probabilistic characterisation of toxic liver concentrations and implications for predatory bird populations in Canada. *Environment international, 37*(5), 914–920.

- 124. Tie, J. K., & Stafford, D. W. (2008). Structure and function of vitamin K epoxide reductase. *Vitamins & Hormones, 78*, 103–130.
- 125. Treinen-Moslen, M. (2001). Toxic responses of the liver. Casarett & Doull's Toxicology: *The basic science of poisons.*
- 126. Valchev, I., Binev, R., Yordanova, V., & Nikolov, Y. (2008). Anticoagulant rodenticide intoxication in animals—a review. *Turkish journal of veterinary and animal Sciences*, *32*(4), 237–243.
- 127. Vandenbroucke, V., Bousquet-mélou, A., De Backer, P., & Croubels, S. (2008). Pharmacokinetics of eight anticoagulant rodenticides in mice after single oral administration. *Journal of veterinary pharmacology and therapeutics*, 31(5), 437–445.
- 128. Ware, K. M., Feinstein, D. L., Rubinstein, I., Weinberg, G., Rovin, B. H., Hebert, L., ... & Brodsky, S. V. (2015). Brodifacoum induces early hemoglobinuria and late hematuria in rats: novel rapid biomarkers of poisoning. *American journal of nephrology*, 41(4–5), 392–399.
- 129. Ware, K., Qamri, Z., Ozcan, A., Satoskar, A. A., Nadasdy, G., Rovin, B. H., & Brodsky, S. V. (2013). N-acetylcysteine ameliorates acute kidney injury but not glomerular hemorrhage in an animal model of warfarin-related nephropathy. *American Journal of physiology-Renal physiology*, 304(12), F1421-F1427.
- 130. Watt, B. E., Proudfoot, A. T., Bradberry, S. M., & Vale, J. A. (2005). Anticoagulant rodenticides. *Toxicological reviews*, *24*(4), 259–269.
- 131. Weitz, J. I. (2011). Blood coagulation and anticoagulant, fibrinolytic, and antiplatelet drugs. *Goodman & Gilman's: The Pharmacological Basis of Therapeutics*. *12th ed. New York, New York*: McGraw-Hill Medical

- 132. Whittow, G. C. (2000). Gastrointestinal Anatomy and physiology (Avian physiology) 5th ed. Academic press. Honoiula., Hawaii: pp 704.
- 133. Woody, B. J., Murphy, M. J., Ray, A. C., & Green, R. A. (1992). Coagulopathic effects and therapy of brodifacoum toxicosis in dogs. *Journal of Veterinary Internal Medicine, 6*(1), 23–28.
- 134. Worthing, C. R. (1991). The Pesticide Manual A World Compendium 9TH ed. Worthing, CR (Ed.). The Pesticide Manual: A World Compendium, 9th Edition. XIvii+ 1141p. British Crop Protection Council: Farnham, England, Uk. Illus. Isbn 0-948404-42-6.; 0 (0). 1991. XIvii+ 1141p., 6.
- 135. Yan, H., Qiao, Z., Shen, B., Xiang, P., & Shen, M. (2016). Plasma metabolic profiling analysis of toxicity induced by brodifacoum using metabonomics coupled with multivariate data analysis. *Forensic science international*, 267, 129–135.
- 136. Zager, R. A. (1997). Pathogenetic mechanisms in nephrotoxic acute renal failure. *Semin. Nephrol.* 17, 3–14.
- 137. Zawadzki, M., & Szpot, P. (2019). Anticoagulant Rodenticides Poisonings in Humans and Animals–Short Review.
- 138. Zawadzki, M., Magdalan, J., & Niedźwiedź, A. (2007). Poisonings with anticoagulant rodenticides. *Archiwum Medycyny Sadowej i Kryminologii,* 57(4), 427–429.
- 139. Zowail, M. E., El-Balshy, R. M., Asran, A. E. M. A., Khidr, F. K., & Zaki, G. G. (2019). Effect of ginger against the toxicity of brodifacoum on albino male mice. *The Egyptian journal of experimental biology (Zoology)*, 15(2), 253–253.

Macroscopic pathological changes in the kidneys manifested as enlargement especially the Cranial lobes, bleeding, congestion in the third and fourth groups after 24 hours, and it appeared in a pale color in the third and fourth groups of administration. On the last day of the experiment, enlargement and bleeding increased in the Cranial lobes of the kidneys in all birds.

The histopathological changes were represented by congestion of blood vessels, hydropic degeneration and necrosis (in epithelium of the renal tubules, glomeruli and collecting ducts), in addition to hemorrhage within the lumen of proximal and distal renal tubules and collecting ducts at the groups that had high doses in the fifth and ninth days of administration. The inflammatory reaction was represented by the infiltration of the heterophils and lymphocytes. Changes in the rate of blood parameters were recorded a significant decrease ($P \le 0.05$) in the total number of red blood cells, platelets, hematocrit, and showed a significant increase ($P \le 0.05$) in the total number of white blood cells, Lymphocytes and Heterophils, and the time of clotting, 24 hours after administration the brodifacoum and continued until the end of the experiment on the ninth day.

Our microscopic results abreast with hematological parameters indicate a toxic effect of brodifacoum on broilers, and the pathological changes increased in severity with increasing dose and over time, peaking in group fourth birds that received the highest dose of brodifacoum.

Keywords: Rodenticides – Brodifacoum – Pathological changes – Liver – Kidney – Blood picture – Broiler Chicken

Abstract

This research aims at studying macroscopic and microscopic pathological changes in liver and kidney tissues, and blood picture caused by brodifacoum in broiler chickens.

The experiment was conducted on (48) broiler chickens two weeks old and lasted 9 days, divided into four groups, each of which includes (12) birds. Then the birds were given a single oral dose of brodifacoum 0.005% (2.25-4.5-9) mg/kg respectively except the control group who were not given such doses. Clinical symptoms and mortality were recorded. Blood samples of four birds from each group were collected randomly after 24 hours, on the fifth and ninth days of administration, then the birds were slaughtered, macroscopic lesions were recorded. liver and kidney tissue samples were collected to study histopathological changes.

The results showed neurological disorders and bleeding was observed in the eyes, ears and subcutaneous layers.

Macroscopic pathological changes in the liver were observed as congestion, jaundice, subcapsular hemorrhage, and hepatomegaly. Histopathological changes were in the form of congestion of the blood sinusoids and central veins, and the appearance of cloudy swelling and hydropic degeneration in the cells after 24 hours of administration. Fatty degeneration and necrosis appeared in hepatocytes on the fifth and ninth days of administration.

These changes were accompanied by inflammatory reactions represented by Increased infiltration of Kupffer cells, heterophils, macrophages and lymphocytes around the portal spaces and near the central veins.

Syrian Arab Republic

Hama University

Faculty of Veterinary Medicine

Department of Pathology



The Toxic Effects of Brodifacoum on the Tissues of Liver, Kidneys and Bloody Picture of Broiler Chicken

Thesis Presented by Haneen Mahmoud Al Rashid D.V.M

For M. sc. Degree in Vet. Med. Sc Forensic medicine specialty

Under the Supervision

Dr. Wasef Al Wassouf Pro. Dr. Sameer Hammod